## (19) **日本国特許庁(JP)**

# (12) 特許公報(**B2)**

(11)特許番号

特許第3926153号 (P3926153)

# (45) 発行日 平成19年6月6日(2007.6.6)

(24) 登録日 平成19年3月9日(2007.3.9)

(51) Int.C1.	F I	
C 1 2 N 15/09	(2006.01) C 1 2 N	15/00 Z N A A
CO7K 16/28	(2006.01) CO7K	16/28
CO7K 19/00	(2006.01) CO7K	19/00
C 1 2 N 5/10	( <b>2006.01</b> ) C 1 2 N	5/00 B
C12Q 1/02	(2006.01) C 1 2 Q	1/02
		請求項の数 45 (全 56 頁) 最終頁に続
(21) 出願番号	特願2001-564247 (P2001-564247)	(73) 特許権者 000001029
(86) (22) 出願日	平成13年3月2日 (2001.3.2)	協和醗酵工業株式会社
(86) 国際出願番号	PCT/JP2001/001656	東京都千代田区大手町1丁目6番1号
(87) 国際公開番号	W02001/064754	(74) 代理人 100105647
(87) 国際公開日	平成13年9月7日(2001.9.7)	弁理士 小栗 昌平
審查請求日	平成17年6月14日 (2005.6.14)	(74) 代理人 100105474
(31) 優先権主張番号	特願2000-59508 (P2000-59508)	弁理士 本多 弘徳
(32) 優先日	平成12年3月3日(2000.3.3)	(74) 代理人 100108589
(33) 優先権主張国	日本国(JP)	弁理士 市川 利光
(31) 優先権主張番号	特願2000-401563 (P2000-401563)	(74) 代理人 100115107
(32) 優先日	平成12年12月28日 (2000.12.28)	弁理士 高松 猛
(33) 優先権主張国	日本国(JP)	(72) 発明者 設楽 研也
		東京都町田市旭町三丁目6番6号 協和
微生物の受託番号 F	ERM BP-7054	酵工業株式会社 東京研究所内
早期審査対象出願		最終頁に続く

(54) 【発明の名称】遺伝子組換え抗体およびその抗体断片

# (57)【特許請求の範囲】

### 【請求項1】

形質転換体FERM BP-7054により生産されるモノクローナル抗体KM276 0により認識される、配列番号17で示されるアミノ酸配列の2~29番目に存在するエ ピトープに特異的に結合し、かつCCR4発現細胞に対し細胞傷害活性を有し、ヒトCC R4の細胞外領域に対して特異的に反応する、遺伝子組換え抗体またはその抗体断片。

### 【請求項2】

細胞外領域が、配列番号17で示されるアミノ酸配列の1~39、98~112、17 6~206および271~284番目からなる群から選ばれる細胞外領域である請求の範 囲1記載の遺伝子組換え抗体またはその抗体断片。

# 【請求項3】

CCR4発現細胞に特異的に反応する請求の範囲1または2に記載の遺伝子組換え抗体 またはその抗体断片。

### 【請求項4】

CCR4発現細胞に対し、非ヒト動物由来ハイブリドーマが生産するモノクローナル抗 体よりも高い細胞傷害活性を示す請求の範囲1記載の遺伝子組換え抗体またはその抗体断 片。

## 【請求項5】

細胞傷害活性が抗体依存性細胞傷害(ADCC)活性である請求の範囲1記載の遺伝子 組換え抗体またはその抗体断片。

### 【請求項6】

抗体依存性細胞傷害活性がTh2細胞のアポトーシスを誘導することによるものである、請求の範囲5記載の遺伝子組換え抗体またはその抗体断片。

# 【請求項7】

Th2細胞を除去する作用を示す抗体である請求の範囲1~<u>6</u>のいずれか1項に記載の遺伝子組換え抗体またはその抗体断片。

### 【請求項8】

Th2サイトカイン産生抑制活性を示す請求の範囲1~<u>7</u>のいずれか1項に記載の遺伝子組換え抗体またはその抗体断片。

### 【請求項9】

Th2サイトカインが、IL-4、IL-5、またはIL-13である請求の範囲<u>8</u>記載の遺伝子組換え抗体またはその抗体断片。

### 【請求項10】

遺伝子組換え抗体が、ヒト化抗体またはヒト抗体から選ばれる請求の範囲 1 ~ <u>9</u>のいずれかに記載の遺伝子組換え抗体。

### 【請求項11】

ヒト化抗体が、ヒト型キメラ抗体またはヒト型 CDR移植抗体である請求の範囲 <u>10</u>記載の遺伝子組換え抗体。

# 【請求項12】

ヒト抗体 I g G 型に属する請求の範囲 1 ~ <u>1 1</u>のいずれか 1 項に記載の遺伝子組換え抗体。

### 【請求項13】

ヒト化抗体が、それぞれ配列番号 5 、 6 、 7 で示されるアミノ酸配列からなる抗体重鎖 ( H 鎖 ) 可変領域 ( V 領域 ) の相補性決定領域 ( C D R ) 1 、 C D R 2 、 C D R 3 、およびそれぞれ配列番号 8 、 9 、 1 0 で示されるアミノ酸配列からなる抗体軽鎖 ( L 鎖 ) V 領域の C D R 1 、 C D R 2 、 C D R 3 を含む請求の範囲 1 0 記載の遺伝子組換え抗体。

## 【請求項14】

ヒト型キメラ抗体が、CCR4に特異的に反応するモノクローナル抗体の抗体重鎖(H鎖)可変領域(V領域)と抗体軽鎖(L鎖)V領域と、ヒト抗体のH鎖定常領域(C領域)とL鎖C領域からなる請求の範囲11記載の遺伝子組換え抗体。

### 【請求項15】

ヒト型キメラ抗体が、それぞれ配列番号 5 、 6 、 7 で示されるアミノ酸配列からなる H 鎖 V 領域の相補性決定領域(CDR) 1 、CDR 2 、CDR 3 、およびそれぞれ配列番号 8 、 9 、 1 0 で示されるアミノ酸配列からなる L 鎖 V 領域の CDR 1 、 CDR 2 、 CDR 3 を含む請求の範囲 1 1 記載の遺伝子組換え抗体。

## 【請求項16】

ヒト型キメラ抗体が、配列番号 1 5 で示されるアミノ酸配列の 2 0 ~ 1 3 8 番目からなる H 鎖 V 領域、および配列番号 1 6 で示されるアミノ酸配列の 2 0 ~ 1 3 2 番目からなる L 鎖 V 領域を含む請求の範囲 1 1 記載の遺伝子組換え抗体。

### 【請求項17】

ヒト型キメラ抗体が、形質転換体 K M 2 7 6 0 ( F E R M B P - 7 0 5 4 ) が生産する、抗体 H 鎖 C 領域がヒト I g G 1 サブクラスである、抗体 K M 2 7 6 0 である請求の範囲 1 1 記載の遺伝子組換え抗体。

## 【請求項18】

ヒト型 C D R 移植抗体が、 C C R 4 に特異的に反応するモノクローナル抗体の抗体重鎖 ( H 鎖 ) 可変領域 ( V 領域 ) と抗体軽鎖 ( L 鎖 ) V 領域の相補性決定領域 ( C D R ) と、ヒト抗体の H 鎖および L 鎖の C 領域および V 領域フレームワーク領域からなる請求の範囲 1 1 記載の遺伝子組換え抗体。

## 【請求項19】

ヒト型CDR移植抗体が、それぞれ配列番号5、6、7で示されるアミノ酸配列からな

10

20

30

40

るH鎖V領域のCDR1、CDR2、CDR3、およびそれぞれ配列番号8、9、10で示されるアミノ酸配列からなるL鎖V領域のCDR1、CDR2、CDR3を含む請求の範囲18記載の遺伝子組換え抗体。

### 【請求項20】

請求の範囲 1 ~ <u>1 9</u> のいずれか 1 項に記載の遺伝子組換え抗体またはその抗体断片をコードする D N A。

## 【請求項21】

請求の範囲<u>20</u>記載のDNAとタンデム型ヒト化抗体発現用ベクターを含む組換えベクター。

#### 【請求項22】

請求の範囲21記載の組換えベクターが宿主細胞に導入された形質転換体。

### 【請求項23】

形質転換体が K M 2 7 6 0 ( F E R M B P - 7 0 5 4 ) である請求の範囲 <u>2 2</u>記載の 形質転換体。

## 【請求項24】

請求の範囲<u>22</u>または<u>23</u>記載の形質転換体を培養して培養液中に遺伝子組換え抗体またはその抗体断片を生成・蓄積させ、該培養液から該抗体またはその抗体断片を回収する、遺伝子組換え抗体またはその抗体断片の製造方法。

# 【請求項25】

ヒト抗体が、抗体の抗体重鎖(H鎖)可変領域(V領域)と抗体軽鎖(L鎖)V領域を含む請求の範囲10記載の遺伝子組換え抗体。

#### 【請求項26】

ヒト抗体のH鎖V領域およびL鎖V領域の相補性決定領域(CDR)が、それぞれCCR4に特異的に反応するモノクローナル抗体のH鎖V領域およびL鎖V領域のCDRのアミノ酸配列と同じアミノ酸配列を含む請求の範囲25記載の遺伝子組換え抗体。

## 【請求項27】

ヒト抗体が、それぞれ配列番号 5 、 6 、 7 で示されるアミノ酸配列からなる H 鎖 V 領域の C D R 1 、 C D R 2 、 C D R 3 、およびそれぞれ配列番号 8 、 9 、 1 0 で示されるアミノ酸配列からなる L 鎖 V 領域の C D R 1 、 C D R 2 、 C D R 3 を含む請求の範囲 2 6 記載の遺伝子組換え抗体。

### 【請求項28】

ヒト抗体のH鎖V領域およびL鎖V領域が、それぞれCCR4に特異的に反応するモノクローナル抗体のH鎖V領域およびL鎖V領域のアミノ酸配列と同じアミノ酸配列を含む請求の範囲25記載の遺伝子組換え抗体。

# 【請求項29】

ヒト抗体が、配列番号 1 5 で示されるアミノ酸配列の 2 0 ~ 1 3 8 番目からなる H 鎖 V 領域、または配列番号 1 6 で示されるアミノ酸配列の 2 0 ~ 1 3 2 番目からなる L 鎖 V 領域を含む請求の範囲 2 8 記載の遺伝子組換え抗体。

# 【請求項30】

ヒト抗体が、ヒト抗体ファージライブラリーまたはヒト抗体産生トランスジェニック動 40 物から得られる抗体である請求の範囲 <u>25</u>~<u>29</u>のいずれか 1 項に記載の遺伝子組換え抗

## 【請求項31】

抗体断片が、Fab、Fab、 $F(ab)_2$ 、一本鎖抗体、ジスルフィド安定化V領域断片、または抗体の相補性決定領域(CDR)を含むペプチドである請求の範囲 1~9のいずれか 1 項に記載の抗体断片。

### 【請求項32】

抗体断片が、抗体の抗体重鎖(H鎖)可変領域(V領域)と抗体軽鎖(L鎖)V領域を含む請求の範囲31記載の抗体断片。

# 【請求項33】

10

20

抗体断片のH鎖V領域およびL鎖V領域の相補性決定領域(CDR)が、それぞれCCR4に特異的に反応するモノクローナル抗体のH鎖V領域およびL鎖V領域のCDRのアミノ酸配列と同じアミノ酸配列を含む請求の範囲32記載の抗体断片。

### 【請求項34】

抗体断片が、それぞれ配列番号 5 、 6 、 7 で示されるアミノ酸配列からなる H 鎖 V 領域の C D R 1 、 C D R 2 、 C D R 3 、およびそれぞれ配列番号 8 、 9 、 1 0 で示されるアミノ酸配列からなる L 鎖 V 領域の C D R 1 、 C D R 2 、 C D R 3 を含む請求の範囲 3 3 記載の抗体断片。

### 【請求項35】

抗体断片のH鎖V領域およびL鎖V領域が、それぞれCCR4に特異的に反応するモノクローナル抗体のH鎖V領域およびL鎖V領域のアミノ酸配列と同じアミノ酸配列を含む請求の範囲32記載の抗体断片。

### 【請求項36】

抗体断片が、配列番号15で示されるアミノ酸配列の20~138番目からなるH鎖V領域、および配列番号16で示されるアミノ酸配列の20~132番目からなるL鎖V領域を含む請求の範囲35記載の抗体断片。

## 【請求項37】

請求の範囲 1 ~ <u>1 9</u>、 <u>2 5</u> ~ <u>3 6</u> のいずれか 1 項に記載された遺伝子組換え抗体またはその抗体断片が、放射性同位元素、蛋白質または薬剤と化学的または遺伝子工学的に結合している遺伝子組換え抗体または抗体断片。

### 【請求項38】

請求の範囲  $1 \sim 19$ 、  $25 \sim 37$  のいずれか 1 項に記載の遺伝子組換え抗体またはその抗体断片を用いて、 CCR4 を免疫学的に検出する方法。

### 【請求項39】

請求の範囲 1 ~ <u>1 9</u>、 <u>2 5</u> ~ <u>3 7</u>のいずれか 1 項に記載の遺伝子組換え抗体またはその 抗体断片を用いて、CCR 4 を細胞表面に発現した細胞を免疫学的に検出する方法。

## 【請求項40】

請求の範囲  $1 \sim 19$ 、  $25 \sim 37$  のいずれか 1 項に記載の遺伝子組換え抗体またはその抗体断片を有効成分とする CCR4 を細胞表面に発現した細胞の減少または除去剤。

### 【請求項41】

請求の範囲 1 ~  $\underline{19}$  、  $\underline{25}$  ~  $\underline{37}$  のいずれか 1 項に記載の遺伝子組換え抗体またはその抗体断片を有効成分とする T h 2 サイトカインの産生抑制剤。

### 【請求項42】

請求の範囲  $1 \sim 19$ 、  $25 \sim 37$  のいずれか 1 項に記載の遺伝子組換え抗体またはその抗体断片を有効成分とする医薬。

## 【請求項43】

請求の範囲  $1 \sim 19$ 、  $25 \sim 37$ のいずれか 1 項に記載の遺伝子組換え抗体またはその抗体断片を有効成分とする T h 2 介在性免疫疾患の治療または診断剤。

### 【請求頃44】

請求の範囲 1 ~ <u>1 9</u>、 <u>2 5</u> ~ <u>3 7</u>のいずれか 1 項に記載の遺伝子組換え抗体またはその 40 抗体断片を有効成分とする血液癌の治療剤。

### 【請求項45】

血液癌が白血病である請求の範囲44記載の治療剤。

# 【発明の詳細な説明】

## 【技術分野】

# [0001]

本発明は、ヒトのCCケモカイン受容体4(以下、CCR4と表記する)の細胞外領域に対して、特異的に反応する遺伝子組換え抗体およびその抗体断片に関する。さらに、本発明は、細胞傷害活性、Th2細胞によるサイトカイン産生抑制活性を示し、特定の相補性決定領域(以下、CDRと表記する)を含むヒト化抗体、ヒト抗体等のCCR4に特異

20

30

20

30

40

50

的に反応する遺伝子組換え抗体およびその抗体断片に関する。さらに、本発明は、上記の抗体をコードするDNAに関する。さらに、本発明は、該DNAを含むベクターおよび該ベクターにより形質転換された形質転換体に関する。さらに、本発明は、該形質転換体を用いた上記の抗体の製造方法、ならびに該抗体を用いるアレルギー性疾患を始めとするTh2介在性免疫疾患の治療または診断剤等の医薬に関する。さらに、本発明は、該抗体を用いる白血病のような血液癌を始めとする癌疾患の治療または診断剤等の医薬に関する。

# 【背景技術】 【0002】

気管支喘息を始めとするアレルギー疾患には好酸球や肥満細胞、 I g E など様々な因子が関与している。好酸球は炎症局所に浸潤し、脱顆粒により M B P (m a j o r b a s i c p r o t e i n )等の細胞傷害性塩基性蛋白質を放出して周囲の組織傷害を誘発する。肥満細胞は B 細胞から産生された I g E と抗原との免疫複合体と結合することでであり、即時型アレルギー反応を誘発する。これらをコントロールしているのはサイトカイン・ケモカイン等の生体機能分子であり、細胞間の情報伝達を担っている。好酸球は I L - 5 によって分化誘導・寿命延長を受け、さらに脱顆粒が誘発される。 I g E は I L - 4 によって活性化された B 細胞から産生され、抗原との免疫複合体となり肥満細胞の脱顆粒を促す。また肥満細胞からも I L - 4、 I L - 13 などが産生され、B 細胞からの I g E 産生に寄与することが判明しており、アレルギーの増強ループの存在が確認されている(A m . J . R e s p i r . C r i t . C a r e M e d . , 152, 2059(1995)、I m m u n o l . T o d a y , 15, 19 (1994))。このように炎症性細胞間には巧妙なサイトカイン・ケモカインネットワークが存在し、複雑にバランスを保っている。

# [0003]

これらサイトカイン・ケモカインを産生するのは、細胞表面にCD4を発現しているヘルパーT細胞(以下、CD4+Th細胞と表記する)である。実際に、気管支喘息患者の気道炎症局所にはヘルパーT細胞の浸潤が顕著に見られること、そのうちのかなりのT細胞は活性化していること、喘息の重症度や気道過敏性の程度と活性化T細胞数とが相関すること、さらに末梢血中にも活性化T細胞が増加していることなどが明らかにされている(Am.Rev.Respir.Dis.,145,S22(1992))。

ヘルパーT細胞は、産生されるサイトカインによってTh1細胞とTh2細胞に分類される(Annu.Rev.Immunol., $\underline{7}$ ,145(1989))。Th2が産生するサイトカインとして、IL-4、IL-5およびIL-13などがあげられる。

## [0004]

アトピー性疾患患者より分離した抗原特異的T細胞クローンは、イン・ビトロ(in vitro)で刺激するとTh2サイトカインを放出し(Proc.Natl.Acad . S c i . , U . S . A , , <u>8 8</u> , 4 5 3 8 ( 1 9 9 1 ) ) 、喘息患者の気管支肺胞洗浄 液(bronchoalveolar lavage fluid:以下BALと表記す る)や気道粘膜にはTh2細胞が存在することも判明している(N.Eng1.J.Me d.,326,298(1992)、Eur.J.Immunol.,23,1445( 1993))。アレルギー性炎症動物モデルでのBAL中細胞のmRNA発現を調べると 、Th2サイトカインであるIL-4、IL-5が上昇している(Clin.Immun ol, Immunopathol., 75, 75(1995))。さらに、マウスに誘導 したTh2細胞を静脈内および鼻腔内に投与した場合、肺に抗原特異的な喘息様炎症症状 が誘導され(J.Exp.Med.,186,1737(1997)、J.Immuno 1 . , 1 6 0 , 1 3 7 8 ( 1 9 9 8 ) ) 、好酸球増多症を引き起こす ( J . I m m u n o 1 . , 1 6 1 , 3 1 2 8 ( 1 9 9 8 ) ) 。喘息患者の気道粘膜組織、アトピー性皮膚炎患 者の病変部においてはIL-5の発現が認められ(J.Clin.Invest.,87 , 1 5 4 1 ( 1 9 9 1 )、J. Exp. Med., <u>1 7 3</u>, 7 7 5 ( 1 9 9 1 ))、通年 性鼻アレルギー患者粘膜のIL-13の発現強度と血清総IgE値、抗原特異的IgE値 とはよく相関する(治療学, <u>32</u>, 19(1998))。

20

30

40

50

## [0005]

ヒトCCR4は、ヒト未熟好塩基球細胞株KU-812からK5-5としてクローニン グされた、G蛋白質共役型の7回膜貫通型受容体であり、配列番号17で示されるアミノ 酸配列を有する。CCR4の膜貫通領域は40~67番目、78~97番目、113~1 3 3 番目、151~175番目、207~226番目、243~270番目、285~3 08番目と推定されるので、細胞外領域は、アミノ酸配列1~39番目、98~112番 目、176~206番目、271~284番目であり、細胞内領域は68~77番目、1 3 4 ~ 1 5 0 番目、 2 2 7 ~ 2 4 2 番目、 3 0 9 ~ 3 6 0 番目であると推定される( J. Biol. Chem., <u>270</u>, 19495 (1995))。クローニング当時はCCR 4のリガンドがMIP-1 (macrophage inflammatory pr otein-1 )、RANTES (regulated on activation normal T-cell expressed and secreted)、ま たはMCP-1 (monocyte chemotactic protein)である と報告されていた(Biochem.Biophys.Res.Commun., 218 ,337(1996)、WO96/23068)。しかし、その後刺激したヒト末梢血単 核球(peripheral blood mononuclear cells(以下 、PBMCと表記する))や胸腺細胞から産生されるTARC(thymus and activation-regulated chemokine) (J. Biol. C h e m . , <u>2 7 1</u> , 2 1 5 1 4 ( 1 9 9 6 ) ) が C C R 4 に特異的に結合することが判明 した(J.Biol.Chem., 272, 15036(1997))。さらに、マクロ ファージから単離されたMDC (macrophage-derived chemok ine)(J.Exp.Med., <u>185</u>, 1595(1997))、別名STCP-1 (stimulated T cell chemotactic protein-1 ) (J.Biol.Chem., <u>272</u>, 25229 (1997)) がTARCよりも強 くCCR4に結合することも報告されている(J.Biol.Chem.,273,17 64(1998))。

# [0007]

サイトカイン・ケモカイン産生能を持つ C D 4 + T h 細胞に C C R 4 が発現していることが示され(J.Biol. C h e m.,272,15036(1997))、さらに C D 4 + T h 細胞の中でも T h 2 細胞に選択的に発現していることが報告された(J.E x p.M e d.,187,129(1998)、J.Immunol.,161,5111(1998))。さらに、エフェクター / メモリー T 細胞(C D 4 + / C D 4 5 R O + )集団中に C C R 4 + 細胞が確認され、C C R 4 + 細胞を刺激すると I L - 4、 I L - 5を産生するが I F N - は産生されない(I n t.I m m u n o l.,11,81(1999))。またメモリー T 細胞中の C L A(c u t a n e o u s l y m p h o c y t e a n t i g e n)陽性、 4 8 インテグリン陰性集団に C C R 4 + 細胞が属しており、C C R 4 は腸管免疫ではなく皮膚などの全身性免疫に関わるメモリー T 細胞に発現しており、C C R 4 は腸管免疫ではなく皮膚などの全身性免疫に関わるメモリー T 細胞に発現しており、 炎症が弱発された場合に活性化を受けるメモリー T 細胞は C C R 4 を発現し、そのリガンドである M D C や T A R C によって炎症局所に遊走して他の炎症性細胞の活性化を促す可能性が強く示唆される。

## [00008]

現在のTh2介在性免疫疾患に対する治療法としては、(1)サイトカイン・ケモカイン

20

30

40

50

に対する拮抗剤/ヒト化抗IL-5抗体(SB-240563:スミス・クラインビーチ ャム社、Sch - 5 5 7 0 0 (CDP - 8 3 5):シェーリング・プラウ / セルテック社 )、ヒト化抗IL-4抗体(US Patent No.5,914,110)、可溶性 ケモカイン受容体(J.Immunol.,<u>160</u>,624(1998))など、(2)サ イトカイン・ケモカイン産生抑制剤/IL-5産生阻害剤(特開平8-53355)、レ チノイドアンタゴニスト(WO99/24024)、トシル酸スプラタスト(IPD-1 151T、大鵬薬品工業社製)など、(3)好酸球や肥満細胞などの最終的な炎症性細胞を 対象としたもの/ヒト化抗IL-5受容体抗体(WO97/10354)、CCケモカイ ン受容体 3 ( C C R 3 ) 拮抗剤(特開平 1 1 - 1 4 7 8 7 2 ) など、(4)炎症性生体機能 分子阻害剤/ヒト化抗IgE抗体(Am.J.Respir.Crit.Care d . , 1 5 7 , 1 4 2 9 ( 1 9 9 8 ) ) など、が開発されているが、これらは複雑なサイ トカイン・ケモカイン・炎症性細胞間のネットワークの一部を阻害するだけであり、根治 的ではない。T細胞を制御するものとしては抗CD4抗体があり、重度のステロイド依存 性喘息に効果をあげている。しかしCD4分子は免疫担当細胞に広く発現しているため、 特異性に欠け、かつ、強い免疫抑制作用を伴うという欠点を有する(Int.Arch. Aller. Immunol., <u>118</u>, 133 (1999))。

### [0009]

このことから、これらすべてを抑制するためには、アレルギー反応の上流部、すなわち Th2細胞の制御が必要となる。

現在の重度のTh2介在性免疫疾患患者に対する主な治療法はステロイド投与であるが、ステロイドによる副作用を免れることは出来ない。また、ステロイド投与を中止した場合には、患者の病態はまた元に戻り、長期間のステロイド投与は耐性を獲得するなどの欠点を有する。

これまで、CCR4を発現している細胞を検出でき、かつ、CCR4発現細胞に対して細胞傷害性を有するモノクローナル抗体は確立されていない。さらに、Th2サイトカインの産生を抑制する治療薬はこれまでに知られていない。

白血病においてもCCR4が発現していることが報告されているが(Blood,<u>96</u>,685(2000))、それら白血病細胞を<u>傷</u>害するような治療薬はこれまでに報告されていない。

### [0010]

一般にヒト以外の動物の抗体、例えば、マウス抗体をヒトに投与すると、異物として認識されることにより、ヒト体内にマウス抗体に対するヒト抗体(Human AntiMouse Antibody:以下、HAMAと表記する)が誘導されることが知られている。HAMAは投与されたマウス抗体と反応し、副作用を引き起こしたり(J.Clin.Oncol.,2,881(1984)、Blood,65,1349(1985)、J.Natl.Cancer Inst.,80,932(1988)、Proc.Natl.Acad.Sci.,U.S.A.,82,1242(1985))、投与されたマウス抗体の体内からの消失を速め(J.Nucl.Med.,26,1011(1985)、Blood,65,1349(1985)、J.Natl.Cancer Inst.,80,937(1988))、マウス抗体の治療効果を減じてしまうことが知られている(J.Immunol.,135,1530(1985)、Cancer Res.,46,6489(1986))。

## [0011]

これらの問題点を解決するため、遺伝子組換え技術を利用してヒト以外の動物の抗体をヒト型キメラ抗体あるいはヒト型相補性決定領域(Complementarity Determining Region:以下、CDRと表記する)移植抗体などのヒト化抗体にすることが試みられている。ヒト型キメラ抗体とは、抗体可変領域(以下、V領域と表記する)がヒト以外の動物の抗体で、定常領域(以下、C領域と表記する)がヒト抗体である抗体であり(Proc.Natl.Acad.Sci.,U.S.A.,<u>81</u>,6851(1984)、ヒト型CDR移植抗体とは、ヒト以外の動物の抗体のV領域中

30

40

50

のCDRのアミノ酸配列をヒト抗体の適切な位置に移植した抗体である(Nature, 3 2 1 , 5 2 2 ( 1 9 8 6 ) )。これらのヒト化抗体は、マウス抗体等のヒト以外の動物 の抗体に比較してヒトへの臨床応用上、様々な利点を有している。例えば、免疫原性およ び血中での安定性に関しては、ヒト型キメラ抗体では、ヒトに投与した場合、マウス抗体 に比べて血中半減期が約6倍伸びたことが報告されている(Proc.Nat1.Aca d . S c i . , U . S . A . , <u>8 6</u> , 4 2 2 0 ( 1 9 8 9 ) )。ヒト型 C D R 移植抗体で は、サルを用いた実験でマウス抗体に比べ免疫原性が低下し、血中半減期が4~5倍伸び たことが報告されている(J.Immunol., <u>147</u>, 1352(1991))。即 ち、ヒト化抗体は、ヒト以外の動物の抗体に比べ、副作用が少なく、その治療効果が長期 間持続することが期待される。また、特にCCR4発現細胞数を減少させる治療において は、抗体のFc領域(抗体重鎖のヒンジ領域以降の領域)を介した補体依存性細胞傷害活 性(以下、CDC活性と表記する)や抗体依存性細胞傷害活性(以下、ADCC活性と表 記する)等の細胞傷害活性の高さがその治療効果に重要であるが、こうした細胞傷害活性 に関しても、ヒトにおいてはヒト以外の動物の抗体のFc領域よりも、ヒト抗体のFc領 域の方がヒト補体成分や、単核球、マクロファージ、豆細胞等の様なFc受容体を細胞表 面に有するヒトエフェクター細胞をより効率的に活性化できる為、より優れていることが 報告されている。例えば、GD2に対するマウス抗体のFc領域をヒト抗体のFc領域に 変換したヒト型キメラ抗体は、ヒトエフェクター細胞による腫瘍細胞傷害活性が上昇する ことが報告されており(J.Immunol.,<u>1 4 4</u>,1382(1990))、また 、CAMPATH-1抗原に対するヒト型CDR移植抗体についても同様の結果が報告さ れている(Nature, 332, 323(1988))。

(8)

#### [0012]

以上の結果は、ヒトへの臨床応用に用いる抗体としては、ヒト化抗体の方がマウス抗体 等のヒト以外の動物の抗体より望ましいことを明確に示している。

更に、最近の蛋白質工学、遺伝子工学の進歩により、Fab、Fab、Fab, Fab, Fab, Pab, Pab

### [0013]

これまで述べてきたように、ヒト化抗体およびその断片は、単独の使用によっても診断および治療の効果が期待されるが、更に他の分子との併用により、その効果をより高めることが検討されている。例えば、それら分子の一つとしてサイトカインが用いられている。サイトカインは免疫反応における細胞間相互作用を司る種々の液性因子の総称である。抗体の細胞傷害活性には、CDC活性やADCC活性等が知られているが、ADCC活性は、単核球、マクロファージ、NK細胞の様なFc受容体を細胞表面に有するエフェクター細胞によって担われている(J.Immunol.,138,1992(1987))。種々のサイトカインはこれらのエフェクター細胞を活性化することから、抗体のADCC活性等を高める目的で、抗体と組み合わせて投与することが行われている。

## 【発明の開示】

【発明が解決しようとする課題】

### [0014]

抗体は重鎖(以下、H鎖と表記する)および軽鎖(以下、L鎖と表記する)のV領域のCDRを介して抗原に結合し、CDRのアミノ酸配列が抗体の結合反応性、結合特異性を規定している(J.Exp.Med., 132,211(1970))。従って、特にCDRが新規なアミノ酸配列を有し、公知の抗CCR4抗体とは異なる結合反応性、細胞傷害活性等を有するヒトCCR4に特異的に結合する抗CCR4抗体が求められている。ま

た、サイトカイン産生細胞である C C R 4 発現 T h 2 細胞を選択的に除去できる抗体、 T h 2 サイトカインの産生を抑制する抗体、該抗体を用いる診断薬および治療薬が求められている。 さらに、造血系細胞が腫瘍化した疾患である白血病等の血液癌を診断および治療するための有用な方法が求められている。

## 【課題を解決するための手段】

### [0015]

本発明者らは、IgG1クラスに属するCCR4に対するマウスモノクローナル抗体を生産するハイブリドーマKM2160より抗体H鎖cDNAおよびL鎖cDNAを取得し、それらのV領域のCDRが新規なアミノ酸配列を有することを見出し、該新規CDRを有するH鎖V領域およびL鎖V領域をコードするcDNAを、ヒト抗体H鎖C領域およびヒト抗体L鎖C領域をコードするcDNAを、ヒト抗体H鎖C領域およびヒト抗体L鎖C領域をコードするcDNAを有する動物細胞用発現ベクターにクローニングしてヒト化抗体発現ベクターを構築し、該発現ベクターを動物細胞へ導入することにより抗CCR4キメラ抗体KM2760を発現、精製した。該抗体がヒトCCR4に特異的に反応し、かつ抗原陽性細胞株に対して強い細胞傷害活性を示すことでその細胞数の減少を証明し、該抗体のヒト生体内での使用における有用性を示し、本発明を完成させた。

さらに、本発明者らは、CCR4に対する遺伝子組換え抗体が白血病細胞、特にT細胞系白血病細胞に高率に反応し、かつCCR4陽性白血病細胞に対する強い細胞傷害活性を示すことでその細胞数の減少を証明し、該抗体のヒト白血病等の血液癌の診断、治療における有用性を示し、本発明を完成させた。

### [0016]

本発明は、以下の(1)~(46)に関する。

- (1)形質転換体FERM BP-7054により生産されるモノクローナル抗体 KM2760により認識されるエピトープに特異的に結合し、かつCCR4発現細胞に対し細胞傷害活性を有すし、ヒトCCR4の細胞外領域に対して、特異的に反応する遺伝子組換え抗体またはその抗体断片。
- (<u>2</u>) 細胞外領域が、配列番号17で示されるアミノ酸配列の1~39、98~11 2、176~206および271~284番目からなる群から選ばれる細胞外領域である 上記(1)記載の遺伝子組換え抗体またはその抗体断片。
- (3) 配列番号 1 7 で示されるアミノ酸配列の 2 ~ 2 9 番目に存在するエピトープを認識する上記 (1) <u>または (2)</u>記載の遺伝子組換え抗体またはその抗体断片。
- (<u>4</u>) CCR4発現細胞に特異的に反応する上記(1)~(<u>3</u>)のいずれか1項に記載の遺伝子組換え抗体またはその抗体断片<u>。</u>

細胞傷害活性としては、CDC活性、ADCC活性などがあげられる。

## [0017]

(<u>5</u>) CCR4発現細胞に対し、非ヒト動物由来ハイブリドーマが生産するモノクローナル抗体よりも高い細胞傷害活性を示す上記(<u>1</u>)記載の遺伝子組換え抗体またはその抗体断片。

非ヒト動物由来ハイブリドーマが生産するモノクローナル抗体よりも高い細胞傷害活性とは、後述する遺伝子組換え抗体を作製する際に用いたCCR4に特異的に反応するヒト以外の動物由来ハイブリドーマが生産するモノクローナル抗体よりも得られた遺伝子組換え抗体が有する細胞傷害活性のほうが高いことを意味する。

### [0018]

- (<u>6</u>) 細胞傷害活性が抗体依存性細胞傷害(ADCC)活性である上記(<u>1</u>)記載の遺伝子組換え抗体またはその抗体断片。
- ( $\underline{7}$ ) 抗体依存性細胞傷害活性が Th2細胞のアポトーシスを誘導することによるものである、上記(6)記載の遺伝子組換え抗体またはその抗体断片。
- (8) Th2細胞を除去する作用を示す抗体である上記(1)~( $\underline{7}$ )のいずれか1項に記載の遺伝子組換え抗体またはその抗体断片。
- (9) Th2サイトカイン産生抑制活性を示す上記(1)~(8)のいずれか1項に記載の遺伝子組換え抗体またはその抗体断片。

20

30

40

30

50

- (10) Th2サイトカインが、IL-4、IL-5、またはIL-13である上記(9)記載の遺伝子組換え抗体またはその抗体断片。
- (<u>11</u>) 遺伝子組換え抗体が、ヒト化抗体またはヒト抗体から選ばれる上記(1)~ (10)のいずれかに記載の遺伝子組換え抗体。
- (<u>12</u>) ヒト化抗体が、ヒト型キメラ抗体またはヒト型 CDR移植抗体である上記( 11)記載の遺伝子組換え抗体。
- (13) ヒト抗体 IgG型に属する上記(1)~(12) のいずれか 1 項に記載の遺伝子組換え抗体。

### [0019]

- (14) ヒト化抗体が、それぞれ配列番号 5、6、7で示されるアミノ酸配列からなる抗体重鎖(H鎖)可変領域(V領域)の相補性決定領域(CDR)1、CDR2、CDR3、およびそれぞれ配列番号 8、9、10で示されるアミノ酸配列からなる抗体軽鎖(L鎖)V領域のCDR1、CDR2、CDR3を含む上記(11)記載の遺伝子組換え抗体。
- (15) ヒト型キメラ抗体が、CCR4に特異的に反応するモノクローナル抗体の抗体重鎖(H鎖)可変領域(V領域)と抗体軽鎖(L鎖)V領域と、ヒト抗体のH鎖定常領域(C領域)とL鎖C領域からなる上記(12)記載の遺伝子組換え抗体。
- ( <u>1 6</u> ) ヒト型キメラ抗体が、それぞれ配列番号 5 、 6 、 7 で示されるアミノ酸配列からなる H 鎖 V 領域の相補性決定領域(C D R ) 1 、 C D R 2 、 C D R 3 、およびそれぞれ配列番号 8 、 9 、 1 0 で示されるアミノ酸配列からなる L 鎖 V 領域の C D R 1 、 C D R 2 、 C D R 3 を含む上記(15)記載の遺伝子組換え抗体。
- (<u>17</u>) ヒト型キメラ抗体が、配列番号15で示されるアミノ酸配列の20~138番目からなるH鎖V領域、および配列番号16で示されるアミノ酸配列の20~132番目からなるL鎖V領域を含む上記(12)記載の遺伝子組換え抗体。

## [0020]

- (18)ヒト型キメラ抗体が、形質転換体 K M 2 7 6 0 ( F E R M B P 7 0 5 4 ) が生産する、抗体 H 鎖 C 領域がヒト I g G 1 サブクラスである、抗体 K M 2 7 6 0 である上記 (12) 記載の遺伝子組換え抗体。
- (19) ヒト型CDR移植抗体が、CCR4に特異的に反応するモノクローナル抗体の抗体重鎖(H鎖)可変領域(V領域)と抗体軽鎖(L鎖)V領域の相補性決定領域(CDR)と、ヒト抗体のH鎖およびL鎖のC領域およびV領域フレームワーク領域からなる上記(12)記載の遺伝子組換え抗体。
- (20) ヒト型 C D R 移植抗体が、それぞれ配列番号 5、6、7 で示されるアミノ酸配列からなる H 鎖 V 領域の C D R 1、 C D R 2、 C D R 3、およびそれぞれ配列番号 8、9、10で示されるアミノ酸配列からなる L 鎖 V 領域の C D R 1、 C D R 2、 C D R 3を含む上記(19)記載の遺伝子組換え抗体。

### [0021]

- (  $\underline{21}$  ) 上記(1) ~ ( $\underline{20}$  ) のいずれか1項に記載の遺伝子組換え抗体またはその抗体断片をコードするDNA。
- (<u>22</u>) 上記(<u>21</u>)記載のDNAとタンデム型ヒト化抗体発現用ベクターを含む組 40 換えベクター。
  - (23) 上記(22)記載の組換えベクターが宿主細胞に導入された形質転換体。
- (<u>24</u>) 形質転換体が K M 2 7 6 0 ( F E R M B P 7 0 5 4 ) である上記(<u>23</u>) 記載の形質転換体。
- (<u>25</u>) 上記(<u>23</u>)または(<u>24</u>)記載の形質転換体を培養して培養液中に遺伝子組換え抗体またはその抗体断片を生成・蓄積させ、該培養液から該抗体またはその抗体断片を回収する、遺伝子組換え抗体またはその抗体断片の製造方法。

## [0022]

(<u>26</u>) ヒト抗体が、抗体の抗体重鎖(H鎖)可変領域(V領域)と抗体軽鎖(L鎖)V領域を含む上記(<u>11</u>)記載の遺伝子組換え抗体。

20

30

40

50

(27) ヒト抗体のH鎖V領域およびL鎖V領域の相補性決定領域(CDR)が、それぞれCCR4に特異的に反応するモノクローナル抗体のH鎖V領域およびL鎖V領域のCDRのアミノ酸配列と同じアミノ酸配列を含む上記(26)記載の遺伝子組換え抗体。

(28) ヒト抗体が、それぞれ配列番号 5、 6、 7 で示されるアミノ酸配列からなる H鎖 V 領域の C D R 1、 C D R 2、 C D R 3、およびそれぞれ配列番号 8、 9、 10 で示されるアミノ酸配列からなる L鎖 V 領域の C D R 1、 C D R 2、 C D R 3を含む上記( $\underline{2}$ 7)記載の遺伝子組換え抗体。

(29) ヒト抗体のH鎖V領域およびL鎖V領域が、それぞれCCR4に特異的に反応するモノクローナル抗体のH鎖V領域およびL鎖V領域のアミノ酸配列と同じアミノ酸配列を含む上記(26)記載の遺伝子組換え抗体。

(  $\underline{30}$  ) ヒト抗体が、配列番号 1 5 で示されるアミノ酸配列の 2 0 ~ 1 3 8 番目からなる H 鎖 V 領域、または配列番号 1 6 で示されるアミノ酸配列の 2 0 ~ 1 3 2 番目からなる L 鎖 V 領域を含む上記(2 9)記載の遺伝子組換え抗体。

(<u>31</u>) ヒト抗体が、ヒト抗体ファージライブラリーまたはヒト抗体産生トランスジェニック動物から得られる抗体である上記(<u>26</u>)~(<u>30</u>)のいずれか 1 項に記載の遺伝子組換え抗体。

# [0023]

(32) 抗体断片が、Fab、Fab、F(ab') 2、一本鎖抗体、ジスルフィド安定化 V 領域断片、または抗体の相補性決定領域(CDR)を含むペプチドである上記(1)~(10)のいずれか 1 項に記載の抗体断片。

(<u>33</u>) 抗体断片が、抗体の抗体重鎖(H鎖)可変領域(V領域)と抗体軽鎖(L鎖)V領域を含む上記(32)記載の抗体断片。

(<u>34</u>) 抗体断片のH鎖V領域およびL鎖V領域の相補性決定領域(CDR)が、それぞれCCR4に特異的に反応するモノクローナル抗体のH鎖V領域およびL鎖V領域のCDRのアミノ酸配列と同じアミノ酸配列を含む上記(33)記載の抗体断片。

(35) 抗体断片が、それぞれ配列番号 5、 6、 7 で示されるアミノ酸配列からなる H鎖 V 領域の C D R 1、 C D R 2、 C D R 3、およびそれぞれ配列番号 8、 9、 10 で示されるアミノ酸配列からなる L鎖 V 領域の C D R 1、 C D R 2、 C D R 3を含む上記(3 4) 記載の抗体断片。

# [0024]

(36) 抗体断片のH鎖V領域およびL鎖V領域が、それぞれCCR4に特異的に反応するモノクローナル抗体のH鎖V領域およびL鎖V領域のアミノ酸配列と同じアミノ酸配列を含む上記(33)記載の抗体断片。

( 37 ) 抗体断片が、配列番号 1 5 で示されるアミノ酸配列の 2 0 ~ 1 3 8 番目からなる H 鎖 V 領域、および配列番号 1 6 で示されるアミノ酸配列の 2 0 ~ 1 3 2 番目からなる L 鎖 V 領域を含む上記 ( 3 6 ) 記載の抗体断片。

( $\underline{38}$ ) 上記(1)~( $\underline{20}$ )、( $\underline{26}$ )~( $\underline{37}$ )のいずれか1項に記載された遺伝子組換え抗体またはその抗体断片が、放射性同位元素、蛋白質または薬剤と化学的または遺伝子工学的に結合している遺伝子組換え抗体または抗体断片。

## [0025]

(39) 上記(1) ~ (20)、(26) ~ (38) のいずれか 1 項に記載の遺伝子組換え抗体またはその抗体断片を用いて、CCR4を免疫学的に検出する方法。

例えば、遺伝子組換え抗体またはその抗体断片と検体を接触させることにより、検体中の C C R 4 を免疫学的に検出することができる。

(40) 上記(1)~(<u>20</u>)、(<u>26</u>)~(<u>38</u>)のいずれか1項に記載の遺伝子組換え抗体またはその抗体断片を用いて、CCR4を細胞表面に発現した細胞を免疫学的に検出する方法。

例えば、遺伝子組換え抗体またはその抗体断片と細胞を接触させることにより、 C C R 4 を細胞表面に発現した細胞を免疫学的に検出することができる。

 $(\underline{41})$  上記 (1) ~  $(\underline{20})$  、  $(\underline{26})$  ~  $(\underline{38})$  のいずれか 1 項に記載の遺伝子

30

40

50

組換え抗体またはその抗体断片を<u>有効成分とする</u> C C R 4 を細胞表面に発現した細胞<u>の</u>減少または除去剤。

例えば、遺伝子組換え抗体またはその抗体断片の有効量をヒトまたは動物に投与することにより、CCR4を細胞表面に発現した細胞を減少または除去することができる。

 $(\underline{42})$  上記 (1) ~  $(\underline{20})$  、  $(\underline{26})$  ~  $(\underline{38})$  のいずれか 1 項に記載の遺伝子組換え抗体またはその抗体断片を<u>有効成分とする</u> T h 2 サイトカインの<u>産生抑制剤</u>。

例えば、遺伝子組換え抗体またはその抗体断片の有効量をヒトまたは動物に投与することにより、Th2サイトカインの産生を抑制することができる。

### [0026]

 $(\underline{43})$  上記(1)~( $\underline{20}$ )、( $\underline{26}$ )~( $\underline{38}$ )のいずれか1項に記載の遺伝子 組換え抗体またはその抗体断片を有効成分とする医薬。

 $(\underline{44})$  上記(1)~( $\underline{20}$ )、( $\underline{26}$ )~( $\underline{38}$ )のいずれか1項に記載の遺伝子組換え抗体またはその抗体断片を有効成分とするTh2介在性免疫疾患の治療または診断剤。

例えば、遺伝子組換え抗体またはその抗体断片の有効量をヒトまたは動物に投与することにより、Th2介在性免疫疾患を治療することができ、遺伝子組換え抗体またはその抗体断片と検体を接触させることにより、Th2介在性免疫疾患を診断することができる。

 $(\underline{45})$  上記(1)~( $\underline{20}$ )、( $\underline{26}$ )~( $\underline{38}$ )のいずれか1項に記載の遺伝子組換え抗体またはその抗体断片を有効成分とする血液癌の治療剤。

例えば、遺伝子組換え抗体またはその抗体断片の有効量をヒトまたは動物に投与することにより、血液癌を治療することができ、遺伝子組換え抗体またはその抗体断片と検体を接触させることにより、血液癌を診断することができる。

(46) 血液癌が白血病である上記(45)記載の治療剤。

本発明のTh2介在性免疫疾患としては、急性あるいは慢性の気道過敏性または気管支喘息、アトピー性皮膚炎を含むアトピー性皮膚疾患、アレルギー性鼻炎または花粉症などを包含する。

## [0027]

本発明の癌疾患としては、血液癌、特に白血病があげられる。

本発明における遺伝子組換え抗体およびその抗体断片(以下、本発明の抗体と表記する)は、ヒトCCR4の細胞外領域に特異的に反応すればいかなるものでもよい。好ましくは、配列番号17で示されるアミノ酸配列の1~39、98~112、176~206または271~284番目を含む領域に特異的に反応する抗体があげられる。さらに好ましくは、それぞれ配列番号5、6、7で示されるアミノ酸配列からなるH鎖V領域のCDR1、CDR2、CDR3、およびそれぞれ配列番号8、9、10で示されるアミノ酸配列からなるL鎖V領域のCDR1、CDR2、CDR3を含む抗体、ならびに配列番号15で示されるアミノ酸配列の20~138番目からなるL鎖V領域、および配列番号16で示されるアミノ酸配列の20~132番目からなるL鎖V領域を含む抗体があげられる。これらのアミノ酸配列において、1以上のアミノ酸が欠失、付加、置換または挿入され、且つCCR4と特異的に反応する抗体または抗体断片も本発明の範囲に包含される。

### [0028]

本発明のアミノ酸配列において1以上のアミノ酸残基が欠失、置換、挿入または付加されたとは、同一配列中の任意かつ1もしくは複数のアミノ酸配列中の位置において、1または複数のアミノ酸残基の欠失、置換、挿入または付加があることを意味し、欠失、置換、挿入または付加が同時に生じてもよく、置換、挿入または付加されるアミノ酸残基は天然型と非天然型とを問わない。天然型アミノ酸残基としては、L-アラニン、L-アスパラギン、L-グルタミン、L-グルタミン酸、グリシン、L-ヒスチジン、L-イソロイシン、L-ロイシン、L-リジン、L-メチオニン、L-フェニルアラニン、L-プロリン、L-セリン、L-スレオニン、L-トリプトファン、L-チロシン、L-バリン、L-システインなどがあげられる。

以下に、相互に置換可能なアミノ酸残基の好ましい例を示す。同一群に含まれるアミノ

酸残基は相互に置換可能である。

# [0029]

A 群: ロイシン、イソロイシン、ノルロイシン、バリン、ノルバリン、アラニン、2 - アミノブタン酸、メチオニン、O - メチルセリン、 t - ブチルグリシン、 t - ブチルアラニン、シクロヘキシルアラニン

B群:アスパラギン酸、グルタミン酸、イソアスパラギン酸、イソグルタミン酸、2-アミノアジピン酸、2-アミノスベリン酸

C 群: アスパラギン、グルタミン

D群:リジン、アルギニン、オルニチン、2,4-ジアミノブタン酸、2,3-ジアミ ノプロピオン酸

Ε群: プロリン、3 - ヒドロキシプロリン、4 - ヒドロキシプロリン

F 群: セリン、スレオニン、ホモセリン

G群:フェニルアラニン、チロシン

## [0030]

具体的な本発明の抗体としては、以下に述べるヒト化抗体、ヒト抗体およびそれらの抗体断片などがあげられる。

ヒト化抗体としては、ヒト型キメラ抗体、ヒト型CDR移植抗体などがあげられる。

ヒト型キメラ抗体は、ヒト以外の動物の抗体日鎖V領域(以下、VHとも表記する)および抗体L鎖V領域(以下、VLとも表記する)とヒト抗体の日鎖C領域(以下、CHとも表記する)およびヒト抗体のL鎖C領域(以下、CLとも表記する)とからなる抗体を意味する。ヒト以外の動物としては、マウス、ラット、ハムスター、ラビット等、ハイブリドーマを作製することが可能であれば、いかなるものも用いることができる。

本発明のヒト型キメラ抗体は、CCR4に特異的に反応するモノクローナル抗体を生産するハイブリドーマより、VHおよびVLをコードするCDNAを取得し、ヒト抗体CHおよびヒト抗体CLをコードする遺伝子を有する動物細胞用発現ベクターにそれぞれ挿入してヒト型キメラ抗体発現ベクターを構築し、動物細胞へ導入することにより発現させ、製造することができる。

### [0031]

ヒト型キメラ抗体のCHとしては、ヒトイムノグロブリン(以下、hIgと表記する)に属すればいかなるものでもよいが、hIgGクラスのものが好適であり、更にhIgGクラスに属するhIgG1、hIgG2、hIgG3、hIgG4といったサブクラスのいずれも用いることができる。また、ヒト型キメラ抗体のCLとしては、hIgに属すればいかなるものでもよく、 クラスあるいは クラスのものを用いることができる。

抗CCR4キメラ抗体の具体例としては、抗体のVHが配列番号15で示されるアミノ酸配列の20~138番目のアミノ酸配列、CHがhIgG1サブクラスのアミノ酸配列を有し、抗体のVLが配列番号16で示されるアミノ酸配列の20~132番目のアミノ酸配列、CLがヒト抗体 クラスのアミノ酸配列を有する抗体KM2760があげられる

ヒト型 C D R 移植抗体は、ヒト以外の動物の抗体の V H および V L の C D R のアミノ酸配列をヒト抗体の V H および V L の適切な位置に移植した抗体を意味する。

# [0032]

本発明のヒト型CDR移植抗体は、CCR4に特異的に反応するヒト以外の動物の抗体のVHおよびVLのCDR配列を任意のヒト抗体のVHおよびVLのCDR配列に移植したV領域をコードするCDNAを構築し、ヒト抗体のCHおよびヒト抗体のCLをコードする遺伝子を有する動物細胞用発現ベクターにそれぞれ挿入してヒト型CDR移植抗体発現ベクターを構築し、該発現ベクターを動物細胞へ導入することによりヒト型CDR移植抗体を発現させ、製造することができる。

ヒト型CDR移植抗体のCHとしては、hIgに属すればいかなるものでもよいが、hIgGクラスのものが好適であり、更にhIgGクラスに属するhIgG1、hIgG2、hIgG3、hIgG4といったサブクラスのいずれも用いることができる。また、ヒ

10

20

30

40

ト型 CDR 移植抗体の CL としては、 hIgに属すればいかなるものでもよく、 クラスあるいは クラスのものを用いることができる。

ヒト抗体は、元来、ヒト体内に天然に存在する抗体を意味するが、最近の遺伝子工学的、細胞工学的、発生工学的な技術の進歩により作製されたヒト抗体ファージライブラリーおよびヒト抗体産生トランスジェニック動物から得られる抗体等も含まれる。

### [0033]

ヒト体内に存在する抗体は、例えば、ヒト末梢血リンパ球を単離し、EBウイルス等を 感染させ不死化、クローニングすることにより、該抗体を産生するリンパ球を培養でき、 培養物中より該抗体を精製することができる。

ヒト抗体ファージライブラリーは、ヒトB細胞から調製した抗体遺伝子をファージ遺伝子に挿入することによりFab、scFv等の抗体断片をファージ表面に発現させたライブラリーである。該ライブラリーより、抗原を固定化した基質に対する結合活性を指標として所望の抗原結合活性を有する抗体断片を発現しているファージを回収することができる。該抗体断片は、更に遺伝子工学的手法により、2本の完全なH鎖および2本の完全なL鎖からなるヒト抗体分子へも変換することができる。

ヒト抗体産生トランスジェニック動物は、ヒト抗体遺伝子が細胞内に組込まれた動物を意味する。具体的には、マウスES細胞へヒト抗体遺伝子を導入し、該ES細胞を他のマウスの初期胚へ移植後、発生させることによりヒト抗体産生トランスジェニック動物を作製することができる。ヒト抗体産生トランスジェニック動物からのヒト抗体の作製方法は、通常のヒト以外の哺乳動物で行われているハイブリドーマ作製方法によりヒト抗体産生ハイブリドーマを得、培養することで培養物中にヒト抗体を産生蓄積させることができる

# [0034]

抗体断片としては、Fab、Fab'、F(ab') $_2$ 、scFv、dsFv、およびCDRを含むペプチドなどがあげられる。

Fabは、IgGを蛋白質分解酵素パパインで処理して得られる断片のうち(H鎖の224番目のアミノ酸残基で切断される)、H鎖のN末端側約半分とL鎖全体がジスルフィド結合で結合した分子量約5万の抗原結合活性を有する抗体断片である。

本発明のFabは、CCR4に特異的に反応する抗体を蛋白質分解酵素パパインで処理して得ることができる。または、該抗体のFabをコードするDNAを原核生物用発現ベクターあるいは真核生物用発現ベクターに挿入し、該ベクターを原核生物あるいは真核生物へ導入することにより発現させ、Fabを製造することができる。

F(ab')  $_2$  は、IgGを蛋白質分解酵素ペプシンで処理して得られる断片のうち(H鎖の234番目のアミノ酸残基で切断される)、Fabがヒンジ領域のジスルフィド結合を介して結合されたものよりやや大きい、分子量約10万の抗原結合活性を有する抗体断片である。

# [0035]

本発明のF(a b ' )  $_2$  は、C C R 4 に特異的に反応する抗体を蛋白質分解酵素ペプシンで処理して得ることができる。または、下記のF a b ' をチオエーテル結合あるいはジスルフィド結合させ、作製することができる。

Fab'は、上記F(ab')<sub>2</sub>のヒンジ領域のジスルフィド結合を切断した分子量約5万の抗原結合活性を有する抗体断片である。

本発明の Fab 'は、 CCR4 に特異的に反応する F(ab ')  $_2$  を還元剤ジチオスレイトール処理して得ることができる。または、該抗体の Fab '断片をコードする DNA を原核生物用発現ベクターあるいは真核生物用発現ベクターに挿入し、該ベクターを原核生物あるいは真核生物へ導入することにより Fab 'を発現させ、製造することができる

s c F v は、一本の V H と一本の V L とを適当なペプチドリンカー(以下、 P と表記する)を用いて連結した、 V H - P - V L ないしは V L - P - V H ポリペプチドを示す。本発明の s c F v に含まれる V H および V L は、本発明の C C R 4 に特異的に反応する抗体

10

20

30

40

、例えば、ヒト化抗体、ヒト抗体のいずれをも用いることができる。

## [0036]

本発明のscFvは、CCR4に特異的に反応する抗体のVHおよびVLをコードするcDNAを取得し、scFvをコードするDNAを構築し、該DNAを原核生物用発現ベクターあるいは真核生物用発現ベクターに挿入し、該発現ベクターを原核生物あるいは真核生物へ導入することにより発現させ、scFvを製造することができる。

dsFvは、VHおよびVL中のそれぞれ1アミノ酸残基をシステイン残基に置換したポリペプチドを該システイン残基間のジスルフィド結合を介して結合させたものをいう。システイン残基に置換するアミノ酸残基はReiterらにより示された方法(Protein Engineering,7,697(1994))に従って、抗体の立体構造予測に基づいて選択することができる。本発明のdsFvに含まれるVHおよびVLは本発明のCCR4に特異的に反応する抗体、例えば、ヒト化抗体、ヒト抗体のいずれをも用いることができる。

# [0037]

本発明のdsFvは、CCR4に特異的に反応する抗体のVHおよびVLをコードする cDNAを取得し、dsFvをコードするDNAを構築し、該DNAを原核生物用発現ベクターあるいは真核生物用発現ベクターに挿入し、該発現ベクターを原核生物あるいは真核生物へ導入することにより発現させ、dsFvを製造することができる。

CDRを含むペプチドは、H鎖またはL鎖CDRの少なくとも1領域以上を含んで構成される。複数のCDRは、直接または適当なペプチドリンカーを介して結合させることができる。

本発明のCDRを含むペプチドは、CCR4に特異的に反応する抗体のVHおよびVLをコードするCDNAを取得した後、CDRをコードするDNAを構築し、該DNAを原核生物用発現ベクターあるいは真核生物用発現ベクターに挿入し、該発現ベクターを原核生物あるいは真核生物へ導入することにより発現させ、CDRを含むペプチドを製造することができる。

また、 C D R を含むペプチドは、 F m o c 法 ( フルオレニルメチルオキシカルボニル法 ) 、 t B o c 法 ( t - ブチルオキシカルボニル法 ) 等の化学合成法によって製造することもできる。

# [0038]

本発明の抗体は、本発明のCCR4に特異的に反応する抗体、例えば、ヒト化抗体、ヒト抗体またはそれらの抗体断片に放射性同位元素、蛋白質または薬剤などを化学的にあるいは遺伝子工学的に結合させた抗体の誘導体を包含する。

本発明の抗体の誘導体は、CCR4に特異的に反応する抗体または抗体断片のH鎖或いはL鎖のN末端側或いはC末端側、抗体または抗体断片中の適当な置換基あるいは側鎖、さらには抗体または抗体断片中の糖鎖に放射性同位元素、蛋白質あるいは薬剤などを化学的手法(抗体工学入門、金光修著、(株)地人書館(1994))により結合させることにより製造することができる。

または、CCR4に特異的に反応する抗体または抗体断片をコードするDNAと、結合させたい蛋白質をコードするDNAを連結させて発現ベクターに挿入し、該発現ベクターを宿主細胞へ導入する。以上のような遺伝子工学的手法によっても製造することができる

放射性同位元素としては、 $^{1}$   $^{3}$   $^{1}$   $^{1}$   $^{2}$   $^{5}$   $^{1}$  等があげられ、例えば、クロラミンT法等により、抗体に結合させることができる。

## [0039]

薬剤としては、低分子のものが好ましく、ナイトロジェン・マスタード、サイクロフォスファミドなどのアルキル化剤、5・フルオロウラシル、メソトレキセートなどの代謝拮抗剤、ダウノマイシン、ブレオマイシン、マイトマイシンC、ダウノルビシン、ドキソルビシンなどの抗生物質、ビンクリスチン、ビンブラスチン、ビンデシンのような植物アルカロイド、タモキシフェン、デキサメタソンなどのホルモン剤等の抗癌剤(臨床腫瘍学、

10

20

30

40

日本臨床腫瘍研究会編、癌と化学療法社(1996))、またはハイドロコーチゾン、プレドニゾンなどのステロイド剤、アスピリン、インドメタシンなどの非ステロイド剤、金チオマレート、ペニシラミンなどの免疫調節剤、サイクロフォスファミド、アザチオプリンなどの免疫抑制剤、マレイン酸クロルフェニラミン、クレマシチンのような抗ヒスタミン剤等の抗炎症剤(炎症と抗炎症療法、医歯薬出版株式会社(1982))などがあげられる。例えば、ダウノマイシンと抗体を結合させる方法としては、グルタールアルデヒドを介してダウノマイシンと抗体のアミノ基間を結合させる方法、水溶性カルボジイミドを介してダウノマイシンのアミノ基と抗体のカルボキシル基を結合させる方法等があげられる。

### [0040]

蛋白質としては、免疫担当細胞を活性化するサイトカインが好適であり、例えば、ヒトインターロイキン2(以下、hIL-2と表記する)、ヒトマクロファージコロニー刺激因子(以下、hGM-CSFと表記する)、ヒトマクロファージコロニー刺激因子(以下、hM-CSFと表記する)、ヒトインターロイキン12(以下、hIL-12と表記する)等があげられる。また、癌細胞を直接傷害するため、リシンやジフテリア毒素などの毒素を用いることができる。例えば、蛋白質との融合抗体ついては、抗体または抗体断片をコードするcDNAに蛋白質をコードするcDNAを連結させ、融合抗体をコードするDNAを構築し、該DNAを原核生物あるいは真核生物用発現ベクターに挿入し、該発現ベクターを原核生物あるいは真核生物用発現ベクターに挿入し、該発現ベクターを原核生物あるいは真核生物へ導入することにより発現させ、融合抗体を製造することができる。

## [0041]

以下に、CCR4に特異的に反応し、かつH鎖およびL鎖のV領域に新規のアミノ酸配列を有するヒト型キメラ抗体の作製方法を例に挙げて説明する。

1 . ハイブリドーマ産生抗CCR4モノクローナル抗体の作製

### (1)抗原の調製

CCR4をコードするCDNAを含む発現ベクターを大腸菌、酵母、昆虫細胞、動物細胞等に導入してリコンビナントCCR4蛋白質を得る。あるいはCCR4を発現した培養腫瘍細胞もしくは該細胞より精製して得たCCR4蛋白質、あるいは、CCR4部分配列を有する合成ペプチドを抗原に用いることもできる。

抗原用部分ペプチドとしては、5~30残基程度の蛋白質部分配列が選択される。変性していない天然の構造を有している状態の該蛋白質を認識する抗体を取得するためには、立体構造上蛋白質の表面に存在している部分配列を抗原ペプチドとして選択する必要がある。立体構造上蛋白質表面に存在する部分は、Genetyx Macなど市販の蛋白質配列解析ソフトを用い、親水性の高い部分配列を予測することで推測することができる。即ち、一般的に親水性の低い部分は立体構造上蛋白質の内部に存在する場合が多く、親水性の高い部分は蛋白質表面に存在する場合が多いためである。また、蛋白質のN末端、C末端は蛋白質表面に存在する場合が多い。しかしながら、このように選択した部分ペプチドが目的通りの抗体を確立する抗原となるとは限らない。

## [0042]

部分ペプチドには蛋白質と架橋するために、システインを末端に付加する。蛋白質の内 40 部配列を選択した場合には、必要に応じペプチドのN末端はアセチル化、C末端はアミド 化する.

部分ペプチドは一般的な液相、固相ペプチド合成法およびそれらを適宜組み合わせる方法、またはそれらに準じる方法によって合成することができる(The Peptides, Analysis, Synthesis, Biology, vol. 1、Erhard GrossおよびJohannes Meinhofer編、Academic Press(1979)、第2巻(1980)、第3巻(1981);ペプチド合成の基礎と実験、泉屋信夫ら、丸善(1985);続医薬品の開発、第14巻、ペプチド合成、矢島治明監修、廣川書店(1991);International Journal of Peptide Protein Research、35、161(1990)

10

20

30

# [0043]

また、自動ペプチド合成機を用いることもできる。ペプチド合成機によるペプチドの合成は、島津製作所製ペプチド合成機、Applied Biosystems,Inc.,USA社製(以下、ABI社と表記する)ペプチド合成機、Advanced ChemTech Inc.,USA社製(以下、ACT社と表記する)ペプチド合成機等の市販のペプチド合成機上で、適当に側鎖を保護したN -Fmoc-アミノ酸あるいはN-Boc-アミノ酸等を用い、それぞれの合成プログラムに従って実施することができる

### [0044]

原料となる保護アミノ酸および担体樹脂は、ABI社、島津製作所、国産化学(株)、ノバ・バイオケム社(Nova Biochem)、渡辺化学(株)、ACT社、またはペプチド研究所(株)等から入手することができる。また、原料となる保護アミノ酸、保護有機酸、保護有機アミンは報告されている合成法に従って、あるいはそれに準じて合成することができる(The Peptides,Analysis,Synthesis,Biology,vol.1、Erhard GrossおよびJohannes Meinhofer編、Academic Press(1979)、第2巻(1980)、第3巻(1981);ペプチド合成の基礎と実験、泉屋信夫ら、丸善(1985);続医薬品の開発、第14巻、ペプチド合成、矢島治明監修、廣川書店(1991);International Journal of Peptide Protein Research、<u>35</u>、161(1990))。

## [0045]

# (2)動物の免疫と抗体産生細胞の調製

免疫に用いる動物としては、マウス、ラット、ハムスター、ラビットなどハイブリドーマを作製することが可能であれば、いかなるものでもよい。下記に、マウスおよびラットを用いる例を説明する。

3~20週令のマウスまたはラットに、上記1(1)で調製した抗原を免疫し、その動

[0046]

# (3)骨髄腫細胞の調製

骨髄腫細胞としては、マウスから得られた株化細胞である、8-アザグアニン耐性マウス(BALB/c由来)骨髄腫細胞株P3-X63Ag8-U1(P3-U1)(Euro.J.Immunol.,<u>6</u>,511(1976))、SP2/0-Ag14(SP-2)(Nature,<u>276</u>,269(1978))、P3-X63-Ag8653(653)(J.Immunol.,<u>123</u>,1548(1979))、P3-X63-Ag8653(653)(Nature,<u>256</u>,495(1975))など、in vitroで増殖可能な骨髄腫細胞であればいかなるものでもよい。これらの細胞株の培養および継代

10

20

30

40

については公知の方法(Antibodies-A Laboratory Manua l Cold Spring Harbor Laboratory(1988))に従 い、細胞融合時までに2×10<sup>7</sup>個以上の細胞数を確保する。

### [0047]

## (4)細胞融合

上記で得られた抗体産生細胞と骨髄腫細胞とを洗浄したのち、ポリエチレングライコール・1000(PEG・1000)などの細胞凝集性媒体を加え、細胞を融合させ、培地中に懸濁させる。細胞の洗浄にはMEM培地またはPBS(リン酸ニナトリウム1.83g、リン酸ーカリウム0.21g、食塩7.65g、蒸留水1リットル、pH7.2)などを用いる。また、融合細胞を懸濁させる培地としては、目的の融合細胞のみを選択的に得られるように、HAT培地{正常培地(RPMI-1640培地にグルタミン(1.5mM)、2-メルカプトエタノール(5×10 $^{-5}$ M)、ジェンタマイシン(10µg/m1)および牛胎児血清(FCS)(CSL社製、10%)を加えた培地)にヒポキサンチン(10 $^{-4}$ M)、チミジン(1.5×10 $^{-5}$ M)およびアミノプテリン(4×10 $^{-7}$ M)を加えた培地}を用いる。

培養後、培養上清の一部をとり、酵素免疫測定法により、抗原蛋白質に反応し、非抗原蛋白質に反応しないサンプルを選択する。ついで、限界希釈法によりクローニングを行い、酵素免疫測定法により安定して高い抗体価の認められたものをモノクローナル抗体産生ハイブリドーマ株として選択する。

## [0048]

(5) ハイブリドーマ産生抗 C C R 4 モノクローナル抗体の選択

抗CCR4モノクローナル抗体を産生するハイブリドーマの選択はAntibodies-A Laboratory Manual Cold Spring Harbor Laboratory (1988)に述べられている方法などに従い、以下に述べる測定法により行う。これらの方法により、後述する抗CCR4ヒト型キメラ抗体、該抗体断片を産生する形質転換株の培養上清中に含まれる抗CCR4抗体あるいはすべての精製抗CCR4抗体の結合活性を測定することができる。

### 酵素免疫測定法:

抗原を96穴ELISAプレートに固層化する。ハイブリドーマ培養上清もしくは上述の方法で得られる精製抗体を第一抗体として反応させる。

第一抗体反応後、プレートを洗浄して第二抗体を添加する。

第二抗体とは、第一抗体のイムノグロブリンを認識できる抗体を、ビオチン、酵素、化学発光物質あるいは放射線化合物等で標識した抗体である。具体的にはハイブリドーマ作製の際にマウスを用いたのであれば、第二抗体としては、マウスイムノグロブリンを認識できる抗体を用いる。

反応後、第二抗体を標識した物質に応じた反応を行ない、抗原に特異的に反応するモノクローナル抗体を生産するハイブリドーマとして選択する。

当該ハイブリドーマ株の具体例としては、ハイブリドーマ株KM2160があげられる

## [0049]

# (6)モノクローナル抗体の精製

プリスタン処理(2,6,10,14-テトラメチルペンタデカン(Pristane) 0.5 m l を腹腔内投与し、2週間飼育する)した8~10週令のマウスまたはヌードマウスに、上記1(4)で得られる抗CCR4モノクローナル抗体産生ハイブリドーマ細胞2×10 $^7$ ~5×10 $^6$  細胞 / 匹を腹腔内に注射する。10~21日間でハイブリドーマは腹水癌化する。該マウスまたはヌードマウスから腹水を採取し、遠心分離、40~50%飽和硫酸アンモニウムによる塩析、カプリル酸沈殿法、DEAE-セファロースカラム、プロテインA-カラムあるいはセルロファインGSL2000(生化学工業社製)のカラムなどを用いて、IgGあるいはIgM画分を回収し、精製モノクローナル抗体とする。

20

30

40

精製モノクローナル抗体のサブクラスの決定は、マウスモノクローナル抗体タイピングキットまたはラットモノクローナル抗体タイピングキットなどを用いて行うことができる。蛋白質量は、ローリー法あるいは280nmでの吸光度より算出することができる。

抗体のサブクラスとは、クラス内のアイソタイプのことで、マウスでは、IgG1、IgG2 a、IgG3、Lトでは、IgG1、IgG3、IgG4 があげられる。

マウスIgG2a、IgG2b、IgG3およびヒトIgG1、IgG3タイプは、比較的強いCDC活性およびADCC活性等の細胞傷害活性を有し、治療への応用上、有用である。

[0050]

10

20

30

40

50

- 2. ヒト化抗体の作製
- (1)ヒト化抗体発現用ベクターの構築

ヒト化抗体発現用ベクターとは、ヒト抗体のH鎖C領域およびL鎖C領域をコードする遺伝子が組み込まれた動物細胞用発現ベクターであり、動物細胞用発現ベクターにヒト抗体のH鎖C領域およびL鎖C領域をコードする遺伝子をそれぞれクローニングすることにより構築することができる。

ヒト抗体のC領域は任意のヒト抗体のH鎖C領域およびL鎖C領域であることができ、例えば、ヒト抗体のH鎖のIgG1サブクラスのC領域(以下、hC 1と表記する)およびヒト抗体のL鎖の クラスのC領域(以下、hC と表記する)等があげられる。ヒト抗体のH鎖C領域およびL鎖C領域をコードする遺伝子としてはエキソンとイントロンからなる染色体DNAを用いることができ、また、cDNAを用いることもできる。

[ 0 0 5 1 ]

[0052]

ヒト化抗体発現用ベクターは、抗体 H 鎖および L 鎖が別々のベクター上に存在するタイプ或いは同一のベクター上に存在するタイプ(以下、タンデム型と表記する)のどちらでも用いることができるが、ヒト化抗体発現ベクターの構築の容易さ、動物細胞への導入の容易さ、動物細胞内での抗体 H 鎖および L 鎖の発現量のバランスが均衡する等の点からタンデム型のヒト化抗体発現用ベクターの方が好ましい(J.Immunol.Methods,<u>167</u>,271(1994))。タンデム型のヒト化抗体発現用ベクターとしては、 p K A N T E X 9 3 (WO 9 7 / 1 0 3 5 4)、 p E E 1 8 (H Y B R I D O M A , <u>1</u>7,559(1998))等があげられる。

構築したヒト化抗体発現用ベクターは、ヒト型キメラ抗体およびヒト型CDR移植抗体の動物細胞での発現に使用できる。

[0053]

(2)ヒト以外の動物由来の抗体のV領域をコードする c D N A の取得およびアミノ酸配列の解析

ヒト以外の動物の抗体、例えば、マウス抗体のH鎖のV領域およびL鎖のV領域をコー

ドする c D N A は以下の様にして取得する。

マウス抗体などを産生するハイブリドーマ細胞よりmRNAを抽出し、cDNAを合成する。合成したcDNAをファージ或いはプラスミド等のベクターにクローニングしてcDNAライブラリーを作製する。該ライブラリーより、マウス抗体のC領域部分或いはV領域部分をプローブとして用い、H鎖V領域をコードするcDNAを有する組換えファージ或いは組換えプラスミドおよびL鎖V領域をコードするcDNAを有する組換えファージ或いは組換えプラスミドをそれぞれ単離する。組換えファージ或いは組換えプラスミドとし、塩基配列とするマウス抗体のH鎖V領域およびL鎖V領域の全定基配列を決定し、塩基配列よりH鎖V領域およびL鎖V領域の全アミノ酸配列を推定する。

ヒト以外の動物としては、マウス、ラット、ハムスター、ラビット等、ハイブリドーマ 細胞を作製することが可能であれば、いかなるものも用いることができる。

## [0054]

ハイブリドーマ細胞から全RNAを調製する方法としては、チオシアン酸グアニジン・トリフルオロ酢酸セシウム法(Methods in Enzymol., <u>154</u>,3(1987))、また全RNAからmRNAを調製する方法としては、オリゴ(dT)固定化セルロースカラム法(Molecular Cloning:A Laboratory Manual,Cold Spring Harbor Lab.Press New York(1989))等があげられる。また、ハイブリドーマ細胞からmRNAを調製するキットとしては、Fast Track mRNA Isolation Kit(Invitrogen社製)、Quick Prep mRNA Purification Kit(Pharmacia社製)等があげられる。

c D N A の合成および c D N A ライブラリー作製法としては、常法(M o 1 e c u 1 a r C 1 o n i n g : A L a b o r a t o r y Manual、Cold Spring Harbor Lab. Press New York (1989); Current Protocols in Molecular Biology, Supplement 1-34)、或いは市販のキット、例えば、Super Script Plasmid System for c D N A Synthesis and Plasmid Cloning (G I B C O B R L 社製)やZ A P - c D N A Synthesis Kit (Stratagene社製)を用いる方法等があげられる。

# [0055]

cDNAライブラリーの作製の際、ハイブリドーマ細胞から抽出したmRNAを鋳型として合成した <math>cDNAを組み込むベクターは、該 cDNAを組み込めるベクターであればいかなるものでも用いることができる。例えば、ZAP Express(Strategies, 5, 58(1992))、<math>pBluescript II SK(+)(Nucleic Acids Research, 17, 9494(1989))、<math>zap II(Stratagene社製)、<math>gt10、gt11(DNACloning: APractical Approach, I, 49(1985))、Lambda BlueMid(Clontech社製)、<math>ExCell, pT7T318U(Pharmacia社製)、<math>pcD2(Mol.Cell). Biol., 3, 280(1983)) およびpUC18(Gene, 33, 103(1985)) 等が用いられる。【0056】

# [0057]

40

20

30

50

c D N A ライブラリーからのヒト以外の動物の抗体のH鎖 V 領域およびL鎖 V 領域をコードする c D N A クローンの選択法としては、アイソトープ或いは蛍光標識したプローブを用いたコロニー・ハイブリダイゼーション法或いはプラーク・ハイブリダイゼーション法 ( M o l e c u l a r Cloning: A Laboratory Manual, Cold Spring Harbor Lab. Press New York (1989))により選択することができる。また、プライマーを調製し、mR N A から合成した c D N A 或いは c D N A ライブラリーを鋳型として、Polymerase Chain Reaction (以下、P C R 法と表記する; M o l e c u l a r Cloning: A Laboratory Manual, Cold Spring Harbor Lab. Press New York (1989); C u r r e n t Protocols in Molecular Biology, Supplement 1-34)により H鎖 V 領域およびL鎖 V 領域をコードする c D N A を調製することもできる。

[0058]

上記方法により選択された c D N A を、適当な制限酵素等で切断後、 p B l u e s c r i p t S K (-) (S t r a t a g e n e 社製)等のプラスミドにクローニングし、通常用いられる塩基配列解析方法、例えば、サンガー(S a n g e r , F . )らのジデオキシ法(P r o c . N a t l . A c a d . S c i . , U . S . A . , 74, 5463(1977))等の反応を行い、塩基配列自動分析装置、例えば、 A . L . F . D N A シークエンサー(P h a r m a c i a 社製)等を用いて解析することで該 c D N A の塩基配列を決定することができる。

[0059]

決定した塩基配列からH鎖V領域およびL鎖V領域の全アミノ酸配列を推定し、既知の 抗体のH鎖V領域およびL鎖V領域の全アミノ酸配列(Sequences of Pr oteins of Immunological Interest, US Dept .Health and Human Services(1991))と比較すること により、取得したcDNAが分泌シグナル配列を含む抗体のH鎖V領域およびL鎖V領域 の完全なアミノ酸配列をコードしているかを確認することができる。分泌シグナル配列を 含む抗体のH鎖V領域およびL鎖V領域の完全なアミノ酸配列に関しては、既知の抗体の H鎖V領域およびL鎖V領域の全アミノ酸配列 (Sequences of Prote ins of Immunological Interest, US Dept. He alth and Human Services (1991))と比較することにより 」分泌シグナル配列の長さおよびN末端アミノ酸配列を推定でき、更にはそれらが属する サブグループを知ることができる。また、 H 鎖 V 領域および L 鎖 V 領域の各 C D R のアミ ノ酸配列についても、既知の抗体のH鎖V領域およびL鎖V領域のアミノ酸配列(Seq uences of Proteins of Immunological Inte rest, US Dept. Health and Human Services (1 991))と比較することによって見出すことができる。

[0060]

更にH鎖V領域およびL鎖V領域の完全なアミノ酸配列を用いて任意のデータベース、例えば、SWISS-PROTやPIR-Protein等に対してBLAST法(J. 40 Mol. Biol., <u>215</u>,403(1990))等の配列の相同性検索を行い、配列の新規性を検討することができる。

[0061]

(3)ヒト型キメラ抗体発現ベクターの構築

上記 2 ( 1 )に記載のヒト化抗体発現用ベクターのヒト抗体のH鎖 C 領域およびL鎖 C 領域をコードする遺伝子の上流に、ヒト以外の動物の抗体のH鎖 V 領域およびL鎖 V 領域をコードする c D N A をクローニングし、ヒト型キメラ抗体発現ベクターを構築することができる。例えば、ヒト以外の動物の抗体のH鎖 V 領域およびL鎖 V 領域をコードする c D N A を、ヒト以外の動物の抗体 H 鎖 V 領域およびL鎖 V 領域の 3 '末端側の塩基配列とヒト抗体の H 鎖 C 領域および L 鎖 C 領域の 5 '末端側の塩基配列とから成り、かつ適当な

30

40

50

制限酵素の認識配列を両端に有する合成 DNAとそれぞれ連結し、それぞれを上記 2 ( 1 )に記載のヒト化抗体発現用ベクターのヒト抗体のH鎖 C 領域および L 鎖 C 領域をコードする遺伝子の上流にそれらが適切な形で発現する様にクローニングし、ヒト型キメラ抗体発現ベクターを構築することができる。また、ヒト以外の動物の抗体 H鎖 V 領域および L鎖 V 領域の c DNAを、適当な制限酵素の認識配列を両端に有する合成 DNAを用いて PCR法により増幅し、それぞれを上記 2 ( 1 )に記載のヒト化抗体発現用ベクターにクローニングすることもできる。

# [0062]

(4)ヒト型 C D R 移植抗体の V 領域をコードする c D N A の構築

ヒト型 C D R 移植抗体の H 鎖 V 領域および L 鎖 V 領域をコードする c D N A は、以下の 様にして構築することができる。まず、目的のヒト以外の動物の抗体のH鎖V領域および L鎖V領域のCDRのアミノ酸配列を移植するヒト抗体のH鎖V領域およびL鎖V領域の FRのアミノ酸配列を選択する。ヒト抗体のH鎖V領域およびL鎖V領域のFRのアミノ 酸配列としては、ヒト抗体由来のものであれば、いかなるものでも用いることができる。 例えば、Protein Data Bank等のデータベースに登録されているヒト抗 体の H 鎖 V 領域および L 鎖 V 領域の F R のアミノ酸配列、ヒト抗体の H 鎖 V 領域および L 鎖 V 領域の FRの各サブグループの共通アミノ酸配列(Seauences of Pr oteins of Immunological Interest, US Dept . Health and Human Services (1991)) 等があげられる が、その中でも、十分な活性を有するヒト型CDR移植抗体を作製するためには、目的の ヒト以外の動物の抗体のH鎖V領域およびL鎖V領域のFRのアミノ酸配列とできるだけ 高い相同性(少なくとも60%以上)を有するアミノ酸配列を選択することが望ましい。 次に、選択したヒト抗体のH鎖V領域およびL鎖V領域のFRのアミノ酸配列に目的のヒ ト以外の動物の抗体のH鎖V領域およびL鎖V領域のCDRのアミノ酸配列を移植し、ヒ ト型CDR移植抗体のH鎖V領域およびL鎖V領域のアミノ酸配列を設計する。設計した アミノ酸配列を抗体の遺伝子の塩基配列に見られるコドンの使用頻度(Seguence s of Proteins of Immunological Interest, Dept.Health and Human Services (1991)) U S を考慮してDNA配列に変換し、ヒト型CDR移植抗体のH鎖V領域およびL鎖V領域の アミノ酸配列をコードするDNA配列を設計する。設計したDNA配列に基づき、100 塩基前後の長さからなる数本の合成DNAを合成し、それらを用いてPCR法を行う。こ の場合、PCRでの反応効率および合成可能なDNAの長さから、H鎖、L鎖とも6本の 合成DNAを設計することが好ましい。

## [0063]

また、両端に位置する合成 DNAの5 、末端に適当な制限酵素の認識配列を導入することで、上記2(1)で構築したヒト化抗体発現用ベクターに容易にクローニングすることができる。PCR反応後、増幅産物をpBluescript SK(-)(Stratagene社製)等のプラスミドにクローニングし、上記2(2)に記載の方法により、塩基配列を決定し、所望のヒト型CDR移植抗体のH鎖V領域およびL鎖V領域のアミノ酸配列をコードするDNA配列を有するプラスミドを取得する。

# [0064]

(5)ヒト型CDR移植抗体のV領域のアミノ酸配列の改変

ヒト型CDR移植抗体は、目的のヒト以外の動物の抗体のH鎖V領域およびL鎖V領域のCDRのみをヒト抗体のH鎖V領域およびL鎖V領域のFRに移植しただけでは、その抗原結合活性は元のヒト以外の動物の抗体に比べて低下してしまうことが知られている(BIO/TECHNOLOGY,9,266(1991))。この原因としては、元のヒト以外の動物の抗体のH鎖V領域およびL鎖V領域では、CDRのみならず、FRのいくつかのアミノ酸残基が直接的或いは間接的に抗原結合活性に関与しており、それらアミノ酸残基がCDRの移植に伴い、ヒト抗体のH鎖V領域およびL鎖V領域のFRの異なるアミノ酸残基へと変化してしまうことが考えられている。この問題を解決するため、ヒト型

CDR移植抗体では、ヒト抗体のH鎖V領域およびL鎖V領域のFRのアミノ酸配列の中で、直接抗原との結合に関与しているアミノ酸残基やCDRのアミノ酸残基と相互作用したり、抗体の立体構造を維持し、間接的に抗原との結合に関与しているアミノ酸残基を同定し、それらを元のヒト以外の動物の抗体に見出されるアミノ酸残基に改変し、低下した抗原結合活性を上昇させることが行われている(BIO/TECHNOLOGY,9/1た、266(1991))。ヒト型CDR移植抗体の作製においては、それら抗原結合活性に関わるFRのアミノ酸残基を如何に効率よく同定するかが、最も重要な点であり、そのといる所にX線結晶解析(J.Mol.Biol.,112,535(1977))或いは1994))等による抗体の立体構造の構築および解析が行われている。これら抗体の立とは2つよる抗体の立体構造の構築および解析が行われている。これら抗体の立体構造の情報は、ヒト型CDR移植抗体の作製に多くの有益な情報をもたらして来たが、その一方、あらゆる抗体に適応可能なヒト型CDR移植抗体の作製法は未だ確立されておらず、現状ではそれぞれの抗体について数種の改変体を作製し、それぞれの抗原結合活性との相関を検討する等の種々の試行錯誤が必要である。

ヒト抗体のH鎖V領域およびL鎖V領域のFRのアミノ酸残基の改変は、改変用合成DNAを用いて上記2(4)に記載のPCR法を行うことにより、達成できる。PCR後の増幅産物について上記2(2)に記載の方法により、塩基配列を決定し、目的の改変が施されたことを確認する。

## [0065]

## (6)ヒト型 C D R 移植抗体発現ベクターの構築

上記 2 (1) に記載のヒト化抗体発現用ベクターのヒト抗体のH鎖 C 領域および L 鎖 C 領域をコードする遺伝子の上流に、上記 2 (4) および (5) で構築したヒト型 C D R 移植抗体のH鎖 V 領域および L 鎖 V 領域をコードする c D N A をクローニングし、ヒト型 C D R 移植抗体発現ベクターを構築することができる。

例えば、上記 2 ( 4 )および( 5 )でヒト型 C D R 移植抗体の H 鎖 V 領域および L 鎖 V 領域を構築する際に用いる合成 D N A のうち、両端に位置する合成 D N A の 5 '末端に適当な制限酵素の認識配列を導入することで、上記 2 ( 1 )に記載のヒト化抗体発現用ベクターのヒト抗体の H 鎖 C 領域および L 鎖 C 領域をコードする遺伝子の上流にそれらが適切な形で発現する様にクローニングすることができる。

### [0066]

# (7)ヒト化抗体の一過性発現

作製した多種類のヒト化抗体の抗原結合活性を効率的に評価するために、上記2(3)および(6)に記載のヒト化抗体発現ベクター、或いはそれらを改変した発現ベクターを用いてヒト化抗体の一過性発現を行うことができる。発現ベクターを導入する宿主細胞としては、ヒト化抗体を発現できる宿主細胞であれば、いかなる細胞でも用いることができるが、その発現量の高さから、COS-7細胞(ATCC CRL1651)が一般に用いられる(Methods in Nucleic Acids Res.,CRC press,283(1991))。COS-7細胞への発現ベクターの導入法としては、DEAE-デキストラン法(Methods in Nucleic Acids Res.,CRC press,283(1991))、リポフェクション法(Proc.Nat1.Acad.Sci.,U.S.A.,<u>84</u>,7413(1987))等があげられる。

## [0067]

発現ベクターの導入後、培養上清中のヒト化抗体の発現量および抗原結合活性は酵素免疫抗体法((ELISA法); Antibodies: A Laboratory Manual, Cold Spring Harbor Laboratory, Chapter 14 (1988)、Monoclonal Antibodies: Principles and Practice, Academic Press Limited (1996))等により測定できる。

# [0068]

40

20

### (8)ヒト化抗体の安定発現

上記2(3)および(6)に記載のヒト化抗体発現ベクターを適当な宿主細胞に導入することによりヒト化抗体を安定に発現する形質転換株を得ることができる。

宿主細胞への発現ベクターの導入法としては、エレクトロポレーション法(特開平 2 - 2 5 7 8 9 1、 C y t o t e c h n o l o g y , <u>3</u> , 1 3 3 ( 1 9 9 0 ) ) 等があげられる。

ヒト化抗体発現ベクターを導入する宿主細胞としては、ヒト化抗体を発現させることができる宿主細胞であれば、いかなる細胞でも用いることができる。例えば、マウスSP2 /0-Ag14細胞(ATCC CRL1581)、マウスP3X63-Ag8.653細胞(ATCC CRL1580)、ジヒドロ葉酸還元酵素遺伝子(以下、dhfrと表記する)が欠損したCHO細胞(Proc.Nat1.Acad.Sci.,U.S.A.,77,4216(1980))、ラットYB2/3HL.P2.G11.16Ag.20細胞(ATCC CRL1662、以下、YB2/0細胞と表記する)等があげられる。

#### [0069]

抗体依存性細胞<u>傷</u>害活性を有する抗体を製造するための宿主細胞としては、抗体のF c 領域に結合するN・アセチルグルコサミンにフコースを付加させる反応に関連する酵素活性の低いまたは当該酵素活性を有しない細胞を用いることが好ましい。具体的には、Y B 2 / 0 細胞があげられる。

N - アセチルグルコサミンにフコースを付加させる酵素としては、 1 ,6 結合に関与する酵素、具体的には 1 ,6 - フコシルトランスフェラーゼ、GDP - フコースの生合成に関係する酵素、具体的にはGDP - マンノース4 ,6 - デハイドラターゼ、GDP - L - フコースピロフォスフォリラーゼ、フコキナーゼなどがあげられる。したがって、宿主細胞として用いる細胞の、これらの酵素の遺伝子を欠損させたり、該遺伝子への変異を与えて酵素活性を低下させるかあるいは欠失させたりなどの人為的変異を行うことにより得られた細胞を、宿主細胞として用いることもできる。

# [0070]

宿主細胞としては、細菌、酵母、動物細胞、昆虫細胞、植物細胞など、本発明の遺伝子組換え抗体を生産させることが可能であればいかなる細胞でもよいが、動物細胞が好ましい。動物細胞としては、YB2/0細胞、マウスミエローマ細胞であるNSO細胞、Sp2/0細胞、チャイニーズハムスター卵巣細胞CHO/dhfr-細胞、CHO/DG44細胞、サルの細胞であるCOS細胞、ヒトミエローマ細胞であるナマルバ(Namalwa)細胞などがあげられる。

当該宿主細胞を用いることにより、抗体のFc領域に結合する糖鎖が、N-アセチルグルコサミンにフコースが結合しないN-グルコシド結合糖鎖含量が高い抗体を取得することができる。当該抗体は、CCR4発現細胞に対し、非ヒト動物由来ハイブリドーマが生産するモノクローナル抗体よりも高い抗体依存性細胞傷害活性を示す。

### [0071]

発現ベクターの導入後、ヒト化抗体を安定に発現する形質転換株は、特開平2-257891に開示されている方法に従い、G418 sulfate(以下、G418と表記する:Sigma社製)等の薬剤を含む動物細胞培養用培地で培養することにより選択できる。動物細胞培養用培地としては、RPMI1640培地(日水製薬社製)、GIT培地(日本製薬社製)、EX-CELL302培地(JRH社製)、IMDM培地(GIBCO BRL社製)、Hybridoma-SFM培地(GIBCO BRL社製)、またはこれら培地にFCS等の各種添加物を添加した培地等を用いることができる。得られた形質転換株を培地中で培養することで培養上清中にヒト化抗体を発現蓄積させることができる。培養上清中のヒト化抗体の発現量および抗原結合活性はELISA法等により測定できる。また、形質転換株は、特開平2-257891に開示されている方法に従い、dhfr増幅系等を利用してヒト化抗体の発現量を上昇させることができる。

# [0072]

40

20

30

40

50

ヒト化抗体は、形質転換株の培養上清よりプロテインAカラムを用いて精製することができる(Antibodies: A Laboratory Manual, Cold Spring Harbor Laboratory, Chapter 8 (1988)、Monoclonal Antibodies: Principles and Practice, Academic Press Limited (1996))。また、その他に通常、蛋白質の精製で用いられる精製方法を使用することができる。例えば、ゲル濾過、イオン交換クロマトグラフィーおよび限外濾過等を組み合わせて行い、精製することができる。精製したヒト化抗体のH鎖、L鎖或いは抗体分子全体の分子量は、ポリアクリルアミドゲル電気泳動(以下、SDS-PAGEと表記する: Nature, 227,680(1970))やウエスタンブロッティング法(Antibodies: A Laboratory Manual, Cold Spring Harbor Laboratory, Chapter 12 (1988)、Monoclonal Antibodies: Principles and Practice, Academic Press Limited (1996))等で測定することができる。

[0073]

(9)ヒト化抗体の活性評価

精製したヒト化抗体の抗原との結合活性、CCR4発現細胞株に対する結合活性はELISA法および蛍光抗体法(Cancer Immunol.Immunother., 36,373(1993))等により測定できる。抗原陽性培養細胞株に対する細胞傷害活性は、CDC活性、ADCC活性等を測定し、評価することができる(CancerImmunol.Immunother.,36,373(1993))。

[0074]

3. 抗 C C R 4 抗体を用いた C C R 4 の検出および定量法

本発明は、本発明の抗体を用いて、CCR4またはCCR4を細胞表面に発現した細胞を免疫学的に検出および定量する方法に関する。

本発明の抗体を用いて、CCR4、CCR4を細胞表面に発現した細胞を免疫学的に検出および定量する方法としては、蛍光抗体法、免疫酵素抗体法(ELISA法)、放射性物質標識免疫抗体法(RIA)、免疫組織染色法、免疫細胞染色法などの免疫組織化学染色法(ABC法、CSA法等)、上記に記した酵素免疫測定法、サンドイッチELISA法(単クローン抗体実験マニュアル、講談社サイエンティフィック(1987)、続生化学実験講座5免疫生化学研究法、東京化学同人(1986))などがあげられる。

蛍光抗体法とは、分離した細胞あるいは組織などに、本発明の抗体を反応させ、さらにフルオレシン・イソチオシアネート(FITC)などの蛍光物質でラベルした抗イムノグロブリン抗体あるいは結合断片を反応させた後、蛍光色素をフローサイトメーターで測定する方法である。

[0075]

免疫酵素抗体法(ELISA法)とは、分離した、細胞あるいはその破砕液、組織あるいはその破砕液、細胞培養上清、血清、胸水、腹水、眼液などに、本発明の抗体を反応させ、さらにペルオキシダーゼ、ビオチンなどの酵素標識などを施した抗イムノグロブリン抗体あるいは結合断片を反応させた後、発色色素を吸光光度計で測定する方法である。

放射性物質標識免疫抗体法(RIA)とは、分離した、細胞あるいはその破砕液、組織あるいはその破砕液、細胞培養上清、血清、胸水、腹水、眼液などに、本発明の抗体を反応させ、さらに放射線標識を施した抗イムノグロブリン抗体あるいは結合断片を反応させた後、シンチレーションカウンターなどで測定する方法である。

免疫細胞染色法、免疫組織染色法とは、分離した、細胞あるいは組織などに、本発明の 抗体を反応させ、さらにフルオレシン・イソチオシアネート(FITC)などの蛍光物質 、ペルオキシダーゼ、ビオチンなどの酵素標識を施した抗イムノグロブリン抗体あるいは 結合断片を反応させた後、顕微鏡を用いて観察する方法である。

[0076]

サンドイッチELISA法とは、本発明の抗体で、抗原認識部位の異なる2種類の抗体

のうち、あらかじめ一方の抗体はプレートに吸着させ、もう一方の抗体はFITCなどの 蛍光物質、ペルオキシダーゼ、ビオチンなどの酵素で標識しておき、抗体吸着プレートに 、分離した、細胞あるいはその破砕液、組織あるいはその破砕液、細胞培養上清、血清、 胸水、腹水、眼液などを反応させた後、標識した抗体を反応させ、標識物質に応じた反応 を行う方法である。

# [0077]

4. Th2介在性免疫疾患または癌疾患の診断及び治療

本発明のヒト化抗体は、培養細胞株に発現しているCCR4と特異的に結合し、かつCDC活性およびADCC活性等の細胞傷害活性を示すため、Th2介在性疾患等の診断、治療において有用であると考えられる。また、ヒト以外の動物の抗体に比べ、ヒト抗体のアミノ酸配列に由来する部分がほとんどであるため、ヒト体内において強い細胞傷害活性を示し、かつ免疫原性を示さず、その効果が長期間に渡り持続することが期待される。

また、本発明の抗体を、被験者の細胞あるいは組織に投与することにより、細胞が産生するTh2サイトカインであるIL-4、IL-5、IL-13等の産生を抑制することができる。

本発明に係るTh2細胞としては、好ましくは、活性化Th2細胞またはメモリーTh 2細胞などがあげられる。具体的には、CD45RA-およびCD4+の性質を有する細 胞があげられる。

# [0078]

本発明の遺伝子組換え抗体が有する細胞<u>傷</u>害活性は、Th2細胞に本発明の抗体が結合し、当該細胞にアポトーシスを誘導することなどにより生ずる。また、アポトーシスを誘導することにより当該細胞に傷害を与え、除去することができる。

また、Th2介在性免疫疾患または癌疾患の診断方法としては、被験者の細胞あるいは組織に存在するヒトCCR4陽性細胞を、上述した免疫学的に検出する方法があげられる

また、本発明の抗体は、Th2介在性免疫疾患または癌疾患、また異常なTh2細胞の 増加・減少により病態が進行する疾患の診断薬として用いることができる。

さらに、本発明の抗体はその細胞傷害活性によりヒトCCR4発現細胞を減少もしくは除去できるため、本発明の抗体を用いるTh2介在性免疫疾患または癌疾患の診断方法あるいは治療方法、本発明の抗体を有効成分とする、Th2介在性免疫疾患または癌疾患の治療薬および予防薬が提供される。

# [0079]

Th2介在性免疫疾患とは、軽度・重度に関わらず、急性あるいは慢性の気道過敏性や気管支喘息、アトピー性皮膚炎を含むアトピー性皮膚疾患、アレルギー性鼻炎または花粉症などの炎症性疾患、Th2細胞から放出されるサイトカイン・ケモカインによって増殖もしくは活性化し得る好酸球や肥満細胞などの炎症担当細胞、ならびにTh2細胞から放出されるサイトカイン・ケモカインによって産生されるIgE等の生体機能分子に基づく疾患、また異常なTh2細胞の変動により病態が進行する免疫疾患を示す。

本発明の抗体は、単独で投与することも可能ではあるが、通常は薬理学的に許容される 一つあるいはそれ以上の担体と一緒に混合し、製剤学の技術分野においてよく知られる任 意の方法により製造した医薬製剤として提供するのが望ましい。

### [0800]

投与経路は、治療に際して最も効果的なものを使用するのが望ましく、経口投与、または口腔内、気道内、直腸内、皮下、筋肉内および静脈内等の非経口投与をあげることができ、抗体またはペプチド製剤の場合、望ましくは静脈内投与をあげることができる。

投与形態としては、噴霧剤、カプセル剤、錠剤、顆粒剤、シロップ剤、乳剤、座剤、注射剤、軟膏、テープ剤等があげられる。

経口投与に適当な製剤としては、乳剤、シロップ剤、カプセル剤、錠剤、散剤、顆粒剤 等があげられる。

乳剤およびシロップ剤のような液体調製物は、水、ショ糖、ソルビトール、果糖等の糖

10

30

20

40

類、ポリエチレングリコール、プロピレングリコール等のグリコール類、ごま油、オリーブ油、大豆油等の油類、 p - ヒドロキシ安息香酸エステル類等の防腐剤、ストロベリーフレーバー、ペパーミント等のフレーバー類等を添加剤として用いて製造できる。

カプセル剤、錠剤、散剤、顆粒剤等は、乳糖、ブドウ糖、ショ糖、マンニトール等の賦形剤、デンプン、アルギン酸ナトリウム等の崩壊剤、ステアリン酸マグネシウム、タルク等の滑沢剤、ポリビニルアルコール、ヒドロキシプロピルセルロース、ゼラチン等の結合剤、脂肪酸エステル等の界面活性剤、グリセリン等の可塑剤等を添加剤として用いて製造できる。

### [0081]

非経口投与に適当な製剤としては、注射剤、座剤、噴霧剤等があげられる。

注射剤は、塩溶液、ブドウ糖溶液、あるいは両者の混合物からなる担体等を用いて調製される。

座剤はカカオ脂、水素化脂肪またはカルボン酸等の担体を用いて調製される。

また、噴霧剤は該抗体またはペプチドそのもの、ないしは受容者の口腔および気道粘膜を刺激せず、かつ該抗体またはペプチドを微細な粒子として分散させ吸収を容易にさせる 担体等を用いて調製される。

担体として具体的には乳糖、グリセリン等が例示される。該抗体またはペプチドおよび 用いる担体の性質により、エアロゾル、ドライパウダー等の製剤が可能である。また、これらの非経口剤においても経口剤で添加剤として例示した成分を添加することもできる。

投与量または投与回数は、目的とする治療効果、投与方法、治療期間、年齢、体重等により異なるが、通常成人1回当たり10μg/kg~8mg/kgである。

【発明を実施するための最良の形態】

## [0082]

以下に、本発明の実施例を示すが、これにより本発明の範囲が限定されるものではない

## 実施例1

マウス抗CCR4モノクローナル抗体を生産するハイブリドーマ細胞の作製:

以下の手順に従い、マウス抗CCR4モノクローナル抗体、KM2160(Int.Immunol.,<u>11</u>,81(1999))を産生するハイブリドーマ細胞を作製した。 (1)抗原の調製

ヒトCCR4(以下、hCCR4と記す)蛋白質のアミノ酸配列(配列番号17)をGenetyx Macを用いて解析し、親水性の高い部分、N末端、C末端のなかから抗原として適当と考えられる部分配列として、化合物1(配列番号1)を選択した。また、マウスCCR4(以下、mCCR4と記す)(BBRC,<u>218</u>,337(1996))蛋白質のアミノ酸配列中、化合物1に相当する部分を化合物2(配列番号2)として選択した。配列番号1および2は、それぞれヒトおよびマウスCCR4のN末端アミノ酸から2~29番目に相当する。

## [0083]

略号本発明において使用したアミノ酸およびその保護基に関する略号は、生化学命名に関するIUPAC-IUB委員会(IUPAC-IUB Joint Commission on Biochemical Nomenclature)の勧告(European Journal of Biochemistry, 138,9(1984))に従った。

以下の略号は、特に断わらない限り対応する下記のアミノ酸を表す。

### [0084]

A l a : L - アラニン

Asn:L-アスパラギン

Asp:L-アスパラギン酸

Asx: L - アスパラギン酸または L - アスパラギン

C y s : L - システイン

10

20

30

50

```
Gln:L-グルタミン
Glu:L-グルタミン酸
G1x:L-グルタミン酸またはL-グルタミン
G 1 y : グリシン
Ile:L-イソロイシン
Leu: L - ロイシン
L y s : L - リジン
Met: L - メチオニン
Phe: L - フェニルアラニン
Pro: L - プロリン
                                                10
Ser:L-セリン
Thr: L - スレオニン
Tyr: L - チロシン
Val: L - バリン
[0085]
 以下の略号は、対応する下記のアミノ酸の保護基および側鎖保護アミノ酸を表す。
[0086]
Fmoc: 9 - フルオレニルメチルオキシカルボニル
tBu:t-ブチル
Trt:トリチル
                                                20
Boc: t - ブチルオキシカルボニル
Fmoc-Thr(tBu)-OH:N - 9 - フルオレニルメチルオキシカルボニル -
O - t - ブチル - L - スレオニン
Fmoc-Ser(tBu)-OH:N - 9 - フルオレニルメチルオキシカルボニル -
O - t - ブチル - L - セリン
Fmoc-Tyr(tBu)-OH:N - 9 - フルオレニルメチルオキシカルボニル -
O-t-ブチル-L-チロシン
Fmoc-Lys(Boc)-OH:N-9-フルオレニルメチルオキシカルボニル-
N - t - ブチルオキシカルボニル - L - リジン
Fmoc-Asn(Trt)-OH:N - 9 - フルオレニルメチルオキシカルボニル -
                                                30
N - トリチル - L - アスパラギン
Fmoc-Gln(Trt)-OH:N-9-フルオレニルメチルオキシカルボニル-
N - トリチル - L - グルタミン
Fmoc-Asp(OtBu)-OH:N -9-フルオレニルメチルオキシカルボニル
- L - アスパラギン酸 - - t - ブチルエステル
Fmoc-Glu(OtBu)-OH:N - 9 - フルオレニルメチルオキシカルボニル
-L-グルタミン酸 - -t-ブチルエステル
Fmoc-Cys(Trt)-OH:N - 9 - フルオレニルメチルオキシカルボニル -
S-トリチル-L-システイン
[0087]
                                                40
 以下の略号は、対応する下記の反応溶媒、反応試薬等を表す。
[0088]
PyBOP:ベンゾトリアゾール・1・イルオキシトリピロリジノホスフォニウムヘキサ
フルオロホスフェート
HOBt: N - ヒドロキシベンゾトリアゾール
DMF: N, N-ジメチルホルムアミド
D C M: ジクロロメタン
TFA:トリフルオロ酢酸
NMM:N-メチルモルホリン
```

DTT: ジチオスレイトール

20

30

40

50

### [0089]

(1)化合物 1 (配列番号 1) (H-Asn-Pro-Thr-Asp-Ile-Ala-Asp-Thr-Thr-Leu-Asp-Glu-Ser-Ile-Tyr-Ser-Asn-Tyr-Tyr-Leu-Tyr-Glu-Ser-Ile-Pro-Lys-Pro-Cys-OH)の合成

H - C y s ( T r t )、 1 6 . 8  $\mu$  m o l が結合した担体樹脂(クロロトリチル樹脂、A n a S p e c 社製) 3 0 m g を自動合成機(島津製作所社製)の反応容器に入れ、 1 m l の D C M / D M F ( 1 : 1 )を加えて 1 0 分間攪拌し溶液を排出し、さらに 1 m l の D M F を加えて 1 分間攪拌し溶液を排出した後、島津製作所の合成プログラムに従い次の操作を行った。

[0090]

(a) Fmoc-Pro-OH(168μmol)、PyBOP(168μmol)、HOBt・1水和物(168μmol)およびNMM(252μmol)をDMF(588.2μl)中で5分間攪拌し、得られた溶液を樹脂に加えて混合物を60分間攪拌し、溶液を排出した。

(b)担体樹脂を 7 0 7 μ 1 の D M F で 1 分間洗浄し、これを 5 回繰り返した。こうして、 F m o c - P r o - C y s (T r t )が担体上に合成された。

次に以下のFmoc基脱保護工程を行った。

( c ) 3 0 % ピペリジン - D M F 溶液 7 0 7 µ 1 を加えて混合物を 4 分間攪拌し、該溶液を排出し、この操作をもう 1 回繰り返した。

(d)担体樹脂を 7 0 7 μ l の D M F で 1 分間洗浄し、該溶液を排出し、この操作を 5 回繰り返した。

こうして、Fmoc基を除去したH-Pro-Cys(Trt)の結合した担体樹脂を得た。

## [0091]

次に、(a)の工程でFmoc‐Lys(Boc)‐OHを用いて縮合反応を行い、( b)の洗浄工程、次いで(c)、(d)の脱保護工程を経て、H-Lys(Boc)-P ro-Cys(Trt)が担体上に合成された。以下、工程(a)において、Fmoc-Pro-OH、Fmoc-Ile-OH、Fmoc-Ser(tBu)-OH、Fmoc - Glu (OtBu) - OH、Fmoc - Tyr (tBu) - OH、Fmoc - Leu -OH、Fmoc-Tyr(tBu)-OH、Fmoc-Tyr(tBu)-OHを順次用 いて、(a)~(d)を繰り返した。次に工程(a)においてFmoc‐Asn(Trt ) - O H を用いて縮合反応を行い、(b)の洗浄工程を経て、再び工程(a)の F m o c - Asn(Trt) - OHを用いた縮合反応、(b)の洗浄工程を繰り返してから、(c )、(d)の脱保護工程を行った。引き続き、Fmoc-Ser(tBu)-OH、Fm oc-Tyr(tBu)-OH、Fmoc-Ile-OH、Fmoc-Ser(tBu) - O H、F m o c - G l u (O t B u ) - O H、F m o c - A s p (O t B u ) - O Hを 順次用いて、(a)~(d)を繰り返した。次に工程(a)においてFmoc-Leu-OHを用いて縮合反応を行い、(b)の洗浄工程を経て、再び工程(a)のFmoc-L eu-OHを用いた縮合反応、(b)の洗浄工程を繰り返してから、(c)、(d)の脱 保護工程を行った。以降、工程(a)で、Fmoc-Thr(tBu)-OH、Fmoc - Thr (tBu) - OH, Fmoc - Asp (OtBu) - OH, Fmoc - Ala-OH、Fmoc-Ile-OH、Fmoc-Asp(OtBu)-OH、Fmoc-Th r(tBu) - O H、Fmoc - Pro - O H、Fmoc - Asn(Trt) - O Hを順 次用いて、(a)、(b)の縮合反応工程を2度繰り返した後に(c)、(d)の脱保護 工程を行うという一連の操作を繰り返した後、メタノール、ブチルエーテルで順次洗浄し 、減圧下12時間乾燥して、側鎖保護ペプチドの結合した担体樹脂を得た。これに、TF A ( 9 0 % )、チオアニソール ( 5 % )、 1 , 2 - エタンジチオール ( 5 % ) からなる混 合溶液1mlを加えて室温で2時間放置し、側鎖保護基を除去するとともに樹脂よりペプ チドを切り出した。樹脂を濾別後、得られた溶液にエーテル約10mlを加え、生成した

30

40

50

沈澱を遠心分離およびデカンテーションにより回収し、減圧下乾燥させて、粗ペプチドとして 63.7 m g を取得した。この粗生成物を 60 m g の D T T 存在下 2 m 1 の D M F に溶解後、逆相カラム(資生堂社製、 C A P C E L L P A K C 18.30 m m I . D . × 25 m m ) を用いた H P L C で精製した。 0.1% T F A 水溶液に、 T F A 0.1% を含む 90% アセトニトリル水溶液を加えていく直線濃度勾配法で溶出し、 220 n m で検出し、化合物 1 を含む画分を得た。この画分を凍結乾燥して、化合物 1 を 2.5 m g 得た。

# [0092]

質量分析(FABMS); m / z = 3 2 2 7 . 5 (M + H <sup>+</sup> )
アミノ酸分析; Asx 4 . 8 (5), Glx 2 . 7 (2), Ser 3 . 1 (3),
Thr 2 . 0 (3), Ala 1 . 1 (1), Pro 3 . 1 (3), Tyr 3 . 8
(4), Leu 2 . 2 (2), Lys 1 . 2 (1), Ile 3 . 0 (3), Cys
1 . 2 (1)

# [0093]

(2)化合物 2(配列番号 2)(H - A s n - A l a - T h r - G l u - V a l - T h r - A s p - T h r - T h r - G l n - A s p - G l u - T h r - V a l - T y r - A s n - S e r - T y r - P h e - T y r - G l u - S e r - M e t - P r o - L y s - P r o - C y s - O H)の合成

H - C y s ( T r t ) 、 2 8 . 0 μ m o l が結合した担体樹脂 ( クロロトリチル樹脂 、 AnaSpec社製)50mgを出発原料として、(1)と同様に、工程(a)において、 Fmoc-Pro-OH、Fmoc-Lys(Boc)-OH、Fmoc-Pro-OH 、Fmoc-Met-OH、Fmoc-Ser(tBu)-OH、Fmoc-Glu(O tBu)-OH、Fmoc-Tyr(tBu)-OH、Fmoc-Phe-OH、Fmo c-Tyr(tBu)-OH、Fmoc-Tyr(tBu)-OHを順次用いて、(a) ~(d)を繰り返した。次に工程(a)においてFmoc-Ser(tBu)-OHを用 いて縮合反応を行い、(b)の洗浄工程を経て、再び工程(a)のFmoc-Ser(t Bu) - O H を用いた縮合反応、(b)の洗浄工程を繰り返してから、(c)、(d)の 脱保護工程を行った。続いて工程(a)においてFmoc-Asn(Trt)-OHを用 いて縮合反応を行い、(b)の洗浄工程を経て、再び工程(a)のFmoc-Asn(T rt) - O H を用いた縮合反応、( b )の洗浄工程を繰り返してから、( c )、( d )の 脱保護工程を行った。引き続き、Fmoc-Tyr(tBu)-OH、Fmoc-Val - OH、Fmoc - Thr (tBu) - OH、Fmoc - Glu (OtBu) - OH、F moc-Asp(OtBu) - OHを順次用いて、(a) ~ (d)を繰り返した。次に工 程(a)においてFmoc-Gln(Trt)-OHを用いて縮合反応を行い、(b)の 洗浄工程を経て、再び工程(a)のFmoc-Gln(Trt)-OHを用いた縮合反応 、 (b) の洗浄工程を繰り返してから、 (c) 、 (d) の脱保護工程を行った。以降、エ 程(a)で、Fmoc‐Thr(tBu)‐OH、Fmoc‐Thr(tBu)‐OH、 Fmoc-Asp(OtBu)-OH、Fmoc-Thr-(tBu)-OH、Fmoc - Val - OH、Fmoc - Glu (OtBu) - OH、Fmoc - Thr (tBu) -OH、Fmoc-Ala-OH、Fmoc-Asn(Trt)-OHを順次用いて、(a )、(b)の縮合反応工程を2度繰り返した後に(c)、(d)の脱保護工程を行うとい う一連の操作を繰り返した後、洗浄、乾燥を経て、側鎖保護ペプチドの結合した担体樹脂 を得た。(1)と同様にして側鎖保護基の切断ならびに樹脂からの切り出しを行い、粗ペプ チド96.3mgを取得し、逆相カラムを用いたHPLCで精製し、化合物2を5.8m g得た。

# [0094]

質量分析(TOFMS); m / z = 3 2 9 7 . 7 (M + H <sup>+</sup> )
アミノ酸分析; A s x 4 . 1 (4), G l x 4 . 3 (4), S e r 2 . 0 (2),
Thr 4 . 6 (5), A l a 1 . 0 (1), Pro 2 . 2 (2), Tyr 3 . 9
(4), Val 1 . 9 (2), Met 1 . 0 (1), Phe 1 . 0 (1), Lys

1.1(1), Cys 1,1(1)

# [0095]

### (2)免疫原の調製

実施例1の(1)で得られたhCCR4部分ペプチドは、免疫原性を高める目的で以下の方法でKLH(カルビオケム社)とのコンジュゲートを作製し、免疫原とした。すなわち、KLHをPBSに溶解して10mg/mlに調整し、1/10容量の25mg/mlMBS(ナカライテスク社)を滴下して30分間撹拌反応させた。あらかじめPBSで平衡化したセファデックスG-25カラムなどのゲルろ過カラムでフリーのMBSを除いて得られたKLH-MB 2.5mgを0.1Mリン酸ナトリウムバッファー(pH7.0)に溶解したペプチド1mgと混合し、室温で3時間、攪拌反応させた。反応後、PBSで透析した。

### [0096]

## (3)動物の免疫と抗体産生細胞の調整

実施例 1 の(2)で調製したペプチド・KLHコンジュゲート 1 0 0  $\mu$  gをアルミニウムゲル 2 m g および百日咳ワクチン(千葉県血清研究所製) 1  $\times$  1 0  $^9$  細胞とともに 5 週令雌マウス(B a 1 b / c )に投与し、 2 週間後より 1 0 0  $\mu$  g のコンジュゲートを 1 週間に 1 回、計 4 回投与した。眼底静脈叢より採血し、その血清抗体価を以下に示す酵素免疫測定法で調べ、十分な抗体価を示したマウスから最終免疫 3 日後に脾臓を摘出した。最終投与後 3 日目のマウスより脾臓を摘出し、M E M 培地(日水製薬社製)中で裁断し、ピンセットを用いて解した後、遠心分離( 1 2 0 0 r p m、 5 分間)して上清を除去後、 3 m 1 のトリス - 塩化アンモニウム緩衝液( p H 7 . 6 5 )で 1  $\sim$  2 分間処理し、赤血球を除いた。更に、M E M 培地で 3 回洗浄した後、細胞融合に供した。

# (4)マウス骨髄腫細胞の調製

8 - アザグアニン耐性マウス骨髄腫細胞株 P 3 X 6 3 A g 8 U . 1 ( A T C C C R L 1 5 9 7、以下、 P 3 - U 1 と表記する)を培養し、細胞融合における親株として用いた

## [0097]

## (5)ハイブリドーマ細胞の作製

実施例 1 の(3) および(4) で得られた脾細胞と骨髄腫細胞を 1 0: 1 になる様に混合し、遠心分離(1 2 0 0 r p m、 5 分間)して上清を除去後、沈殿した細胞群に 3 7 の条件下でポリエチレングリコール溶液(2 g のポリエチレングリコール・1 0 0 0 、2 m 1 の M E M 培地および 0 . 7 m 1 の D M S O からなる溶液)を 1 0  $^8$  個の脾細胞あたり 0 . 5 m 1 加え、よく懸濁した。更に、 1 ~ 2 分間毎に M E M 培地を 1 ~ 2 m 1 ずつ数回 加え、最終的に M E M 培地で全量を 5 0 m 1 とした。遠心分離(9 0 0 r p m、 5 分間)して上清を除去後、 1 0 0 m 1 の H A T 培地に懸濁し、 9 6 ウェルマイクロタイタープレート(住友ベークライト社製)に 1 0 0  $\mu$  1 / ウェルずつ分注して 5 % C O  $_2$  インキュベーター内で 3 7 で 1 0 ~ 1 4 日間培養した。融合細胞の増殖が見られたウェルについて、培養上清中 h C C R 4 部分ペプチド(化合物 1)に対する結合活性を実施例 2 の 2 項(3)に記載の E L I S A 法により測定した。活性の認められたウェルについては、培地を H T 培地に変えて 1 回、更に、培地を正常培地に変えて 1 回、の計 2 回の限界希釈法によるクローン化を行った。この様にして、マウス抗体 K M 2 1 6 0 を生産するハイブリドーマ細胞 K M 2 1 6 0 を得た。第 1 図に示すように K M 2 1 6 0 は h C C R 4 部分ペプチド (化合物 1)に特異的に反応した。

# [0098]

### 実施例2

(1)抗CCR4マウス抗体生産ハイブリドーマ細胞からのmRNAの調製

 20

30

40

30

40

50

(Invitrogen社製)を用いて、添付の使用説明書に従い、ハイブリドーマ細胞  $KM216008 \times 10^{7}$  細胞よりmRNAを約48  $\mu$  g 調製した。

## [0099]

( 2 ) 抗 C C R 4 マウス抗体の H 鎖 お よ び L 鎖 c D N A ラ イ ブ ラ リ ー の 作 製

実施例 2 の 1 項 ( 1 ) で取得した K M 2 1 6 0 の m R N A の 5 μ g から、 c D N A ynthesis Kit(Amersham Pharmacia Biotech社 製)を用いて、添付の使用説明書に従い、両端にEcoRI-NotIアダプターを有す る c D N A を合成した。作製した c D N A を 2 0 µ 1 の滅菌水に溶解後、アガロースゲル 電気泳動にて分画し、IgG型抗体のH鎖に対応する約1.5kbのcDNA断片と 型 の L鎖に対応する約1.0kbのcDNA断片をQIAquick Gel Extra ction Kit(QIAGEN社製)を用いてそれぞれ回収した。次に、 I Predigested EcoRI/CIAP-Treated Vector Kit (Stratagene社製)を用いて、各々の約1.5kbのcDNA断片0. 1 μ g および約1.0 k b の c D N A 断片 0.1 μ g と、制限酵素 E c o R I で消化後、 Calf Intestine Alkaline Phosphataseで未端を脱 リン酸化した ΖΑΡΙΙベクター 1 μgを、添付の使用説明書に従い、連結した。連結 後の各々の反応液のうち2.5 µ lをGigapack III Gold Packag ing Extract (Stratagene社製)を用いて、添付の使用説明書に従 い、 ファージにパッケージングした後、適当量を大腸菌株 XL1 - Blue (Biot e c h n i q u e s , 5 , 3 7 6 ( 1 9 8 7 ) ) に感染させて、 K M 2 1 6 0 の H 鎖 c D N A ライブラリーとして 9 .  $3 \times 10^4$  個、 L 鎖 c D N A ライブラリーとして 7 .  $4 \times 1$ 0 4 個のファージクローンを取得した。次に各々のファージを、添付の使用説明書に従っ て、ナイロンメンブレンフィルターHybond-N+(Amersham Pharm acia Biotech社製)上に固定した。

## [0100]

(3)抗CCR4マウス抗体のH鎖およびL鎖cDNAのクローニング

実施例2の1項(2)で作製したКM2160のH鎖 c D N A ライブラリーおよびL鎖 c D N A ライブリーのナイロンメンブレンフィルターを、E C L Direct leic Acid Labelling and Detection System (Amersham Phamacia Biotech社製)を用いて、添付の使用説 明書に従い、マウス抗体のC領域のcDNA(H鎖はマウスC 1cDNAのBamHI - EcoRI断片(EMBO J., <u>3</u>, 2047(1984))、L鎖はマウスC c DNAのHpaI-EcoRI断片(Cell, <u>22</u>, 197(1980))をプローブ として検出し、プローブに強く結合したファージクローンをH鎖、L鎖各10クローン取 得した。次に、 ZAPII Cloning Kit(Stratagene社製)の 使用説明書に従い、in vivo excision法により各ファージクローンをプ ラスミドに変換した。こうして得られた各プラスミドに含まれるcDNAの塩基配列を、 BigDye Terminator Cycle Sequencing FS Re ady Reaction Kit(PE Biosystems社製)を用いて、同社 のDNAシーケンサABI PRISM 377により解析した。その結果、cDNAの 5 <sup>7</sup> 末端に開始コドンと推定されるATG配列が存在する完全長の機能的なH鎖cDNA を含むプラスミドp K M 2 1 6 0 H 4 および L 鎖 c D N A を含むプラスミドp K M 2 1 6 0 L 6 を得た。

# [0101]

(4)抗ССR4マウス抗体のV領域のアミノ酸配列の解析

プラスミド p K M 2 1 6 0 H 4 に含まれていた H 鎖 V 領域の全塩基配列を配列番号 3 に、それから推定された H 鎖 V 領域の全アミノ酸配列を配列番号 1 5 に、プラスミド p K M 2 1 6 0 L 6 に含まれていた L 鎖 V 領域の全塩基配列を配列番号 4 に、それから推定された L 鎖 V 領域の全アミノ酸配列を配列番号 1 6 にそれぞれ示す。なお、配列番号 1 5 および 1 6 に記載したアミノ酸配列にそれぞれ対応する塩基配列は、配列番号 3 および 4 に記

載したもの以外に無数に存在するが、それらはすべて本発明の範囲に包含される。既知のマウス抗体の配列データ(Seuuences of Proteins of Immunological Interest,US Dept.Health and Human Services(1991))との比較および精製した抗CCR4マウス抗体KM2160のH鎖およびL鎖のN末端アミノ酸配列をプロテインシーケンサー(島津製作所社製:PPSQ-10)を用いて解析した結果との比較から、単離した各々のcDNAは分泌シグナル配列を含む抗CCR4マウス抗体KM2160をコードする完全長cDNAであり、H鎖については配列番号15に示したアミノ酸配列の1から19番目が分泌シグナル配列であることが明らかとなった。

[0102]

次に、抗CCR4マウス抗体KM2160のH鎖およびL鎖のV領域のアミノ酸配列の新規性について検討した。配列解析システムとしてGCG Package(version 9.1、Genetics Сomputer Group社製)を用い、既存の蛋白質のアミノ酸配列データベースをBLASTP法(Nucleic Acids Res.,25,3389(1997))により検索した。その結果、H鎖、L鎖ともに完全に一致する配列は認められず、抗CCR4マウス抗体KM2160のH鎖V領域およびL鎖V領域は新規なアミノ酸配列であることが確認された。

また、抗 C C R 4 マウス抗体 K M 2 1 6 0 の H 鎖 V 領域および L 鎖 V 領域の C D R を、既知の抗体のアミノ酸配列と比較することにより同定した。抗 C C R 4 マウス抗体 K M 2 1 6 0 の H 鎖の V 領域の C D R 1、 C D R 2 および C D R 3 のアミノ酸配列を配列番号 5、6 および 7 に、 L 鎖の V 領域の C D R 1、 C D R 2 および C D R 3 のアミノ酸配列を配列を配列番号 8、9 および 1 0 にそれぞれ示した。

[0103]

2. 抗 C C R 4 キメラ抗体の動物細胞を用いた安定発現

(1)抗CCR4キメラ抗体発現ベクター p K A N T E X 2 1 6 0 の構築 W O 9 7 / 1 0 3 5 4 に記載のヒト I g G 1、 型の抗体を発現できるヒト化抗体発現用ベクター p K A N T E X 9 3 と実施例 2 の 1 項 (3)で得られたプラスミド p K M 2 1 6 0 H 4 および p K M 2 1 6 0 L 6 を用いて抗CCR4キメラ抗体発現ベクター p K A N T E X 2 1 6 0 を以下の様にして構築した。

K M 2 1 6 0 の H 鎖 V 領域 c D N A を P C R 法によって得るために配列番号 1 1 と 1 2 に示した塩基配列を有する合成DNAを、L鎖V領域cDNAを得るために配列番号13 と14に示した塩基配列を有する合成DNAを設計した。それぞれの合成DNAは5′末 端にpKANTEX93へクローニングするための制限酵素認識配列を含んでおり、DN A の合成はジェンセット社に委託した。実施例 2 の 1 項( 3 )で得られたプラスミド p K M 2 1 6 0 H 4 の 2 0 n g を 5 0 µ l の K O D D N A P o l y m e r a s e 添付 P C Buffer #1(東洋紡績社製)、0.2mM dNTPs、1mM塩化マグネ シウム、 0 . 5 μ M の配列番号 1 1 と 1 2 に示した塩基配列を有する合成 D N A を含む緩 衝液に添加し、DNAサーマルサイクラーGeneAmp PCR System 96 00(PERKIN ELMER社製)を用いて、94 にて3分間加熱した後、2.5 単位のKOD DNA Polymerase(東洋紡績社製)を添加し、94 にて3 0秒間、58 にて30秒間、74 にて1分間のサイクルを25サイクル行った。同様 に、実施例2の1項(3)で得られたプラスミドρ K M 2 1 6 0 L 6 の 2 0 n g を 5 0 μ lのKOD DNA Polymerase添付PCR Buffer #1(東洋紡績 社製)、 0 . 2 m M d N T P s 、 1 m M 塩化マグネシウム、 0 . 5 μ M の配列番号 1 3 と14に示した塩基配列を有する合成DNAを含む緩衝液に添加し、上記の方法でPCR 反応を行なった。該反応液 1 0 μ l をアガロースゲル電気泳動した後、 Q I A q u i c k Extraction Kit(QIAGEN社製)を用いて、約0.46k bの H 鎖 V 領域 P C R 産物、約 0 . 4 3 k bの L 鎖 V 領域 P C R 産物をそれぞれ回収した 10

20

30

40

30

50

## [0104]

次に、プラスミド p B l u e s c r i p t S K ( - ) ( S t r a t a g e n e 社製 ) を制限酵素 S m a I ( 宝酒造社製 ) で消化して得られた D N A 0 . 1 μ g と、上記で得られたそれぞれの P C R 産物約 0 . 1 μ g を滅菌水に加えて 7 . 5 μ l とし、 T A K A R A D N A L i g a t i o n K i t V e r . 2 の s o l u t i o n I ( 宝酒造社製 ) 7 . 5 μ l 、制限酵素 S m a I 0 . 3 μ l を加えて 2 2 で一晩反応させた。この様にして得られた組換えプラスミド D N A 溶液を用いて大腸菌 D H 5 株 (東洋紡績社製 ) を形質転換した。形質転換株のクローンより各プラスミド D N A を調製し、 B i g D y e T e r m i n a t o r C y c l e S e q u e n c i n g F S R e a d y R e a c t i o n K i t ( P E B i o s y s t e m s 社製 ) を用いて添付の説明書に従って反応後、同社の D N A シーケンサ A B I P R I S M 3 7 7 により塩基配列を解析した。こうして目的の塩基配列を有する第 2 図に示したプラスミド p K M 2 1 6 0 V H 4 1 および p K M 2 1 6 0 V L 6 1 を得た。

# [0105]

## [0106]

次に上記で得られた p K A N T E X 2 1 6 0 H と p K M 2 1 6 0 V L 6 1 の 3 µ g を 5 0 m M トリス - 塩酸 ( p H 7 . 5 ) 、 1 0 0 m M 塩化ナトリウム、 1 0 m M 塩化マグネシ ウム、1 m M D T T および 1 0 0 μ g / m l B S A からなる緩衝液に加え全量を 3 0 μlとし、10単位の制限酵素 BsiWI (New England Biolabs社 製)を加えて55 で1時間反応させた後、更に制限酵素EcoRI(宝酒造社製)を加 えて37 で1時間反応させた。該反応液をアガロースゲル電気泳動にて分画し、pKA NTEX2160Hの約13.20kb、pKM2160VL61の約0.41kbのE coRI-BsiWI断片をそれぞれ回収した。得られた2種類の断片をTAKARA DNA Ligation Kit Ver.2を用いて添付の説明書に従って連結し、 得られた組換えプラスミドDNA溶液を用いて大腸菌DH5 株(東洋紡績社製)を形質 転換した。形質転換株のクローンより各プラスミドDNAを調製して制限酵素処理により 確認し、目的の約0.41kbのEcoRI-BsiWI断片が挿入された第4図に示し たプラスミドpKANTEX2160を得た。該プラスミドに関して、BigDye T erminator Cycle Sequencing FS Ready Reac Kit(PE Biosystems社製)を用いて添付の説明書に従って反 応後、同社のDNAシーケンサABI PRISM 377により塩基配列を解析した結 果、目的のKM2160H鎖およびL鎖V領域cDNAがクローニングされたプラスミド が得られたことを確認した。

## [0107]

(2) 抗 С С R 4 キメラ抗体の動物細胞を用いた安定発現

30

40

50

実施例2の2項(1)で得られた抗CCR4キメラ抗体発現ベクターpKANTEX2 160を用いて抗CCR4キメラ抗体の動物細胞での発現を以下の様にして行った。

プラスミド p K A N T E X 2 1 6 0 を制限酵素 A a t I I (東洋紡績社製)で消化して直線状化した後、10  $\mu$  g を  $4 \times 10^6$  細胞のラットミエローマ細胞株 Y B 2 / 0 細胞(A T C C C R L 1 6 6 2 ) ヘエレクトロポレーション法(C y t o t e c h n o 1 o g y , 3 , 1 3 3 ( 1 9 9 0 ) )により導入後、40 m 1 の H - S F M ( G I B C O - B R L 社製)培地(F C S を 5 %添加)に懸濁し、9 6 ウェルマイクロタイタープレート(住友ベークライト社製)に200  $\mu$  1 / ウェルずつ分注した。5% C O  $_2$  インキュベーター内で37 、24時間培養した後、G 4 1 8 を 1 m g / m 1 になる様に添加して1 ~ 2週間培養した。G 4 1 8 耐性を示す形質転換株のコロニーが出現し、コンフルエントになったウェルより培養上清を回収し、上清中の抗 C C R 4 キメラ抗体の抗原結合活性を実施例2の2項(3)に示す E L I S A 法(二次抗体としてペルオキシダーゼ標識ヤギ抗ヒト I g G ( ) 抗体を使用)により測定した。

## [0108]

培養上清中に抗CCR4キメラ抗体の発現が認められたウェルの形質転換株については 、dhfr遺伝子増幅系を利用して抗体発現量を増加させる目的で、G418を1mg/ ml、dhfr遺伝子産物のジヒドロ葉酸還元酵素(以下、DHFRと表記する)の阻害 剤であるメソトレキセート(以下、MTXと表記する:Sigma社製)を50nM含む H - S F M 培地に 1 ~ 2 × 1 0  $^{5}$  細胞 / m  $^{1}$  になる様に懸濁し、 2 4 ウェルプレート( G reiner社製)に1mlずつ分注した。5%CO2インキュベーター内で37で1 ~ 2週間培養して、50 nM MTX耐性を示す形質転換株を誘導した。形質転換株がウ ェルにコンフルエントになった時点で培養上清中の抗CCR4キメラ抗体の抗原結合活性 を実施例2の2項(3)に示すELISA法により測定した。培養上清中に抗CCR4キ メラ抗体の発現が認められたウェルの形質転換株については、上記と同様の方法により、 M T X 濃度を 1 0 0 n M 、 2 0 0 n M と順次上昇させ、最終的に G 4 1 8 を 1 m g / m l 、MTXを200nMの濃度で含むH-SFM培地で増殖可能かつ、抗CCR4キメラ抗 体を高発現する形質転換株を得た。得られた形質転換株については、2回の限界希釈法に よる単一細胞化(クローン化)を行い、抗CCR4キメラ抗体の発現の最も高い形質転換 細胞クローンをKM2760と命名した。KM2760の抗CCR4キメラ抗体の発現量 は約5 µ g / 10 6 細胞 / 2 4 時間であった。また、 K M 2 7 6 0 の抗体 H 鎖 C 領域はヒ ト I g G 1 サブクラスである。なお、 K M 2 7 6 0 は平成 1 2 年 2 月 2 4 日付で、通商産 業省 工業技術院生命工学工業技術研究所(現·経済産業省 産業技術総合研究所 生命 工学工業技術研究所)(日本国茨城県つくば市東1丁目1番3号)にFERM BP-7 054として国際寄託されている。

# [0109]

(3)抗体の C C R 4 部分ペプチドに対する結合活性の測定(E L I S A 法)

アッセイ用の抗原には実施例1の(1)で得られたhCCR4部分ペプチド(化合物1)をサイログロブリン(以下、THYと表記する)とコンジュゲートしたものを用いた。作製方法は実施例1の(2)に記した通りであるが、架橋剤にはMBSの代わりに4‐(N‐マレイミドメチル)シクロヘキサン‐1‐カルボキシリックアシッドN‐ヒドロナート(グライナー社)に、上述のように調製したコンジュゲートを10μg/m1、50m(カー・で一晩放置して吸着させた。PBSで洗浄後、1%BSA‐PBSと表記する)を100μ1/ウェルで加え、室画で1時間反応させて残存する活性基をブロックした。1%BSA‐PBSを捨て、形質を50μ1/ウェルで加え、室温で1時間反応させた。反応後、各ウェルを0・05%Tween20を含むPBS(以下、Tween‐PBSと表記する)で洗浄後、マウス抗体を添加したウェルには1%BSA‐PBSで400倍に希釈したペルオキシダーゼ標識ウサギ抗マウスIg抗体溶液(DAKO社製)を、ヒト型キメラ抗体を添加したウェルには1%

30

40

50

% B S A - P B S で 3 0 0 0 倍に希釈したペルオキシダーゼ標識ヤギ抗ヒトIgG( ) 抗体溶液(A m e r i c a n Q u a l e x 社製)を二次抗体溶液として、それぞれ 5 0  $\mu$  l / ウェルで加え、室温で 1 時間反応させた。反応後、Tw e e n - P B S で洗浄後、A B T S 基質液(2 , 2 ' - アジノ・ビス(3 - エチルベンゾチアゾリン - 6 - スルホン酸)アンモニウムの 0 . 5 5 g を 1 L の 0 . 1 M クエン酸緩衝液( p H 4 . 2 )に溶解し、使用直前に過酸化水素を 1  $\mu$  l / m l で添加した溶液)を 5 0  $\mu$  l / ウェルで加えて発色させ、 4 1 5 n m の吸光度(以下、 O D 4 1 5 と表記する)を測定した。

# [0110]

(4)抗ССR4キメラ抗体の培養上清からの精製

実施例2の2項(2)で得られた抗CCR4キメラ抗体を発現する形質転換細胞クロー ン K M 2 7 6 0 を M T X を 2 0 0 n M 、 D a i g o 's G F 2 1 (和光純薬製)を 5 % の濃度で含むH-SFM(GIBCO-BRL社製)に1~2×10<sup>5</sup> 細胞/mlとなる 様に懸濁し、175cm²フラスコ(Greiner社製)に100mlずつ分注した。 5%CO2インキュベーター内で37 で5~7日間培養し、コンフルエントになった時 点で培養上清を回収した。培養上清約200mlよりProsep-A(Bioproc e s s i n g 社製 ) カラムを用いて、添付の説明書に従い、抗 C C R 4 キメラ抗体 K M 2 760を精製し、約1.9mgの精製蛋白質を取得した。得られた抗CCR4キメラ抗体 KM2760の約3μgを、公知の方法(Nature, 227, 680(1970)) に従って電気泳動し、分子量および精製度を調べた。その結果を第5図に示した。第5図 に示した様に、精製した抗CCR4キメラ抗体KM2760は、非還元条件下は約150 キロダルトン(以下、Kdと表記する)であり、還元条件下では約50Kdと約25Kd の2本のバンドが認められた。これらの蛋白質の大きさは、KM2760のH鎖およびL 鎖のcDNAの塩基配列から推定される分子量(H鎖:49,226、L鎖:24,16 8)とほぼ一致し、更に、IgG型の抗体は、非還元条件下では分子量は約150Kdで あり、還元条件下では分子内のジスルフィド結合(以下、S-S結合と表記する)が切断 され、約50Kdの分子量を持つH鎖と約25Kdの分子量を持つL鎖に分解されるとい う報告(Antibodies: A Laboratory Manual, Cold Spring Harbor Laboratory, Chapter 14 (1988 )、Monoclonal Antibodies:Principles and P ractice, Academic Press Limited (1996))と一致 し、抗CCR4キメラ抗体KM2760が正しい構造の抗体分子として発現されているこ とが確認された。また、精製した抗CCR4キメラ抗体KM2760のH鎖およびL鎖の N末端アミノ酸配列をプロテインシーケンサー(島津製作所社製:PPSQ-10)を用 いて解析した結果、抗CCR4マウス抗体KM2160のH鎖およびL鎖のN末端アミノ 酸配列と一致することを確認した。

## [0111]

3.hCCR4高発現細胞の確立

(1)動物細胞用発現ベクターCAG- pcDNA3の構築

動物細胞用発現ベクターpcDNA3(INVITROGEN社)のプロモーター領域をサイトメガロウィルス(CMV)からCAG(AG(モディファイド チキン アクチン)プロモーターウィズCMV・IEエンハンサー)に変更した発現ベクター(CAG-pcDNA3)を作製し、CCR4遺伝子を組み込むことで発現ベクターを以下のように構築した。

 $5 \mu g の p c D N A 3 を制限酵素 N r u I (宝酒造社製)で37 、1時間反応させた後、エタノール沈殿により D N A 断片を回収した。次に制限酵素 H i n d I I I (宝酒造社製)で37 、1時間反応させ、アガロースゲル電気泳動にて分画後、C M V プロモーター領域を含まない約5.8 k b の D N A 断片を回収した。3 <math>\mu$  g の C A G プロモーター (Nuc. A cid. Res., 23, 3816(1995))領域を有するプラスミド C A G - p B l u e s c r i p t I I K S (+)をS a l I (宝酒造社製)で37 、1 時間反応後、エタノール沈殿により D N A 断片を回収した。D N A B l u n t i n g

Kit(宝酒造社製)にて平滑末端化し、さらにHindIIIで37 1時間反応してアガロースゲル電気泳動にて分画し、CAGプロモーター領域を含む約1.8kbのDNA断片を回収した。それぞれ回収したDNA断片をDNA Ligation Kit(宝酒造社製)を用いてligationし、得られた組換えプラスミドDNAを用いて大腸菌DH5 株を形質転換し、プラスミドCAG-pcDNA3を得た。

#### [0112]

(2) h C C R 4 発現ベクターの構築

#### [0113]

(3)動物細胞におけるhCCR4の発現

動物細胞へのプラスミドの導入は、実施例 2 の 2 項( 2 )と同様にエレクトロポレーション法にて行った。 E L - 4 細胞(A T C C T I B - 3 9 )を P B S ( - )( G I B C O B R L 社製)にて  $1 \times 10^7$  個  $/ 500 \mu 1$  に懸濁し、実施例 2 の 3 項( 2 )で得られた C A G - C C R 4 / p c D N A 3 を  $10 \mu$  g 加えて氷中で  $10 \mu$  分間放置した後、専用キュベット(バイオラッド社製)に入れ、 260 V、  $500 \mu$  F D で遺伝子導入を行った。 さらに  $10 \mu$  分間氷中にて放置した後、  $10 \mu$  F C S - R P M I 培地  $10 \mu$  2 の 0 m 1 に懸濁し、  $10 \mu$  6 ウェル細胞培養用プレートに  $10 \mu$  2 0 0 m 1 の  $10 \mu$  3 を含む  $10 \mu$  7 に培養上清を  $100 \mu$  1  $10 \mu$  7 ウェルづつ分注し、  $10 \mu$  8 を含む  $10 \mu$  7 に  $10 \mu$  8 を含む  $10 \mu$  7 に  $10 \mu$  8 を含む  $10 \mu$  8 を含む  $10 \mu$  7 に  $10 \mu$  8 を含む  $10 \mu$  8 を含む  $10 \mu$  8 に  $10 \mu$  9 に  $10 \mu$  8 を含む  $10 \mu$  9 に  $10 \mu$  9

# [0114]

(4) h C C R 4 高発現細胞の選択

実施例 1 の(5)で作製された K M 2 1 6 0 を用いて、蛍光抗体法で選択した。選択した数十株の遺伝子導入細胞各 2 × 1 0  $^5$  個を 9 6 ウェル U 字プレートに分注した。 公知の方法(酵素抗体法:学際企画刊(1 9 8 5 ))でビオチン標識した K M 2 1 6 0 を F A C S 用緩衝液(1 % B S A - P B S、 0 . 0 2 % E D T A、 0 . 0 5 % N a N  $_3$  、 p H 7 . 4 )で 5 µ g / m 1 に、また非特異的な染色を防ぐために、ヒトIgG(ウェルファイド社製)を 3 . 7 5 m g / m 1 にそれぞれ希釈した抗体溶液を 2 0 0 µ 1 / ウェルとして加え、氷中で 3 0 分間反応させた。陰性対象としては、ビオチン化抗 I L - 5 R 抗体(W O 9 7 / 1 0 3 5 4 )を同濃度で用いた。緩衝液にて 2 0 0 µ 1 / ウェルで 2 回洗浄後、ストレプトアビジン - P E (日本ベクトン・ディッキンソン社製)を 2 0 µ 1 / ウェル加えた。遮光し氷中で 3 0 分間反応後、 2 0 0 µ 1 / ウェルで 3 回洗浄し、最終的に 5 0 0 µ 1 に懸濁して、フローサイトメーターで蛍光強度を測定し、最も強い蛍光強度の株を 1 種類選択した。

#### [0115]

### 実施例3

抗 С С R 4 キメラ抗体の機能解析:

1.抗CCR4キメラ抗体の活性評価

(1)抗CCR4キメラ抗体のヒトおよびマウスCCR4に対する反応性(ELISA法)

精製した抗CCR4キメラ抗体KM2760のヒトおよびマウスCCR4に対する反応性を実施例2の2項(3)に示すELISA法により測定した。抗原としては実施例1の(1)で得られたhCCR4部分ペプチド(化合物1)およびmCCR4部分ペプチド(

10

20

30

40

化合物 2 )をTHYとコンジュゲートしたものを用いた。作製方法は実施例 1 の( 2 )に記した通りであるが、架橋剤にはMBSの代わりにSMCC(Sigma社)を用いた。第6図はELISA用のプレートの各ウェルに吸着させるCCR4ペプチドコンジュゲートの量を 1 0  $\mu$  g / m 1 、 5 0  $\mu$  1 / ウェルに固定し、添加する抗CCR4 + メラ抗体 KM2 7 6 0 の濃度を変化させて反応性を検討した結果である。第6図に示したように、抗CCR4 + メラ抗体 KM2 7 6 0 は、hCCR4 部分ペプチドとmCCR4 部分ペプチドに対して、ほぼ同等の結合活性を有していた。この結果により、抗CCR4 + メラ抗体 KM2 7 6 0 は、ヒトおよびマウスのCCR4 のN末端アミノ酸から 2 ~ 2 9番目に存在するエピトープを認識することが明らかになった。

#### [0116]

(2)抗CCR4キメラ抗体のhCCR4高発現細胞との反応性(蛍光抗体法)

精製した抗CCR4キメラ抗体KM2760と実施例2の3項(4)で作製したhCCR4高発現細胞(以下、CCR4/EL-4と表記する)との反応性は、実施例2の3項(4)と同様の方法で測定した。第7図に示した様に、抗CCR4キメラ抗体KM2760はCCR4/EL-4細胞に対して強い反応を示した。

#### [0117]

2.抗CCR4キメラ抗体のin vitro細胞傷害活性(ADCC活性)

実施例2の2項(4)で得られた精製CCR4キメラ抗体のin vitro細胞傷害活性を評価するため、以下に示す方法に従い、ADCC活性を測定した。

# (1)標的細胞溶液の調製

実施例 2 の 3 項 (4) で得られた h C C R 4 高発現細胞 C C R 4 / E L - 4 を 0 . 5 m g / m 1 の G 4 1 8 を含む 1 0 % F C S - R P M I 1 6 4 0 培地で培養し、  $1 \times 1$  0 6 細胞 / 0 . 5 m 1 となる様に調製し、放射性物質であるクロム酸ナトリウム(N  $a_2$   $^{5-1}$  C r O  $_4$  )(第一化学薬品社製)を 1 . 8 5 M B q 当量加えて 3 7 で 1 . 5 時間反応させ、細胞を放射標識した。反応後、R P M I 1 6 4 0 培地で懸濁および遠心分離操作により 3 回洗浄し、培地に再懸濁し、 4 で 3 0 分間氷中に放置して放射性物質を自然解離させた。遠心分離後、 1 0 % F C S - R P M I 1 6 4 0 培地を 5 m 1 加え、  $2 \times 1$  0 5 細胞 / m 1 に調製し、標的細胞溶液とした。

# [0118]

#### (2)エフェクター細胞溶液の調製

へパリンナトリウム注射液(武田薬品社製)を 200 単位(200 μ 1)入れた注射筒を用いて、健常人ヒト末梢血 60 m 1 を採取した。その全量を等量の生理食塩液(大塚製薬社製)にて 2 倍に希釈し、 120 m 1 とした。 15 m 1 容量の遠心管(住友ベークライト社製) 12 本にリンフォプレップ(NYCOMED社製)を 5 m 1 ずつ分注し、その上から希釈した末梢血を 10 m 1 ずつ重層し、 800 x g、 20 分間、室温で遠心分離した。血漿層とリンフォプレップ層の間にある P B M C 画分をすべての遠心管より採取して 1 % P C S を含む P P M 1 1640 培地(P G 1 B C O 社製)(以下、 1 % P C S 1 C R 1 M 1 C と表記する)に懸濁し、 10 x g、 10 分間、 10 で 10 回遠心洗浄して 10 5 x 10 6 細胞 10 m 10 の濃度で再懸濁し、エフェクター細胞とした。

### [0119]

# (3) A D C C 活性の測定

96ウェルU字底プレート(Falcon社製)の各ウェルに実施例3の2項(1)で調製した標的細胞溶液の50  $\mu$  l (1 × 10  $^4$  細胞 / ウェル)を分注した。次いで実施例3の2項(2)で調製したエフェクター細胞溶液を100  $\mu$  l (5 × 10  $^5$  細胞 / ウェル、エフェクター細胞と標的細胞の比は50:1となる)添加した。更に、各種抗CCR4 キメラ抗体を各最終濃度0.01~10  $\mu$  g / m l となる様に加え、37 で4時間反応させた。反応後、プレートを遠心分離し、1ウェルあたり100  $\mu$  l の上清の  $^5$  l Cr量を - カウンターにて測定した。自然解離  $^5$  l Cr量は、エフェクター細胞溶液、抗体溶液の代わりに培地のみを用いて上記と同様の操作を行い、上清の  $^5$  l Cr量を測定することにより求めた。全解離  $^5$  l Cr量は、抗体溶液の代わりに培地のみを、エフェクター細

10

20

30

40

胞溶液の代わりに 1 規定塩酸を添加し、上記と同様の操作を行い、上清の $^{5-1}$  C r 量を測定することにより求めた。 A D C C 活性は下式により求めた。

[0120]

【数1】

検体上清中の <sup>51</sup>Cr 量 - 自然解離 <sup>51</sup>Cr 量

細胞障害活性 (%) = -----× 100

全 <sup>51</sup>Cr 量 - 自然解離 <sup>51</sup>Cr 量

# [0121]

その結果を第8図に示した。第8図に示した様に、抗CCR4キメラ抗体は0.01から10μg/mlの範囲で抗体濃度依存的に強い細胞傷害活性を示した。陰性対象として遺伝子非導入株であるEL-4細胞のADCC活性を同様に測定したが、活性は確認されなかったため、この細胞億害活性はCCR4特異的であることが示された。以上の結果は、抗CCR4キメラ抗体KM2760が効率よくヒトのエフェクター細胞を活性化してCCR4を発現したTh2細胞を減少もしくは除去でき、気管支喘息やアトピー性皮膚炎などのヒトのTh2介在性免疫疾患の診断もしくは治療に有用であることを示している。

#### [0122]

# 実施例4

抗 С С R 4 キメラ抗体のヒト末梢血に及ぼす影響:

(1)ヒトPBMCに対するADCC活性の測定

実施例3の2項(2)と同様の方法でPBMCを分離し、最終的に1×10<sup>7</sup>細胞/m 1の濃度で懸濁した。実施例3の2項(3)で用いたU字プレートに100µ1/ウェル ずつ分注し、 1 × 1 0 <sup>6</sup> 細胞 / ウェルとした。 K M 2 7 6 0 と陰性対照である抗 I L - 5 受容体抗体 K M 8 3 9 9 (WO 9 7 / 1 0 3 5 4 )を 2 0 μ g / m l の濃度に希釈し、細 胞を分注したウェルに100μ1/ウェルずつ分注した。5% CO ₂気流下、37 で2 4時間培養後、細胞を回収した。細胞傷害性の検出はAnnexin V-EGFP A poptosis Detection Kit (MBL社製)を用いて、アネキシンV 陽性細胞を死細胞とした。400×g、3分間、4 で遠心分離し、5×10<sup>5</sup>細胞に対 して 2 0 0 μ l の キットに付属している Binding bufferに懸濁した。その 中に1μlのAnnexin V-EGFP試薬を添加し、数回ピペッティング後、遮光 して5分間反応させた。反応終了後、400×g、3分間、4 で遠心分離し、上清を除 いた。軽くボルテックスをかけてペレットを崩し、氷上にて冷却した2.5mM CaC  $1_2$  を含むメタノールを  $100\mu$  1添加し、 4 、 <math>10 分間静置した。  $8000\times g$  、 30秒間で遠心分離し、上清を除去した。Binding buffer 200μlにて 懸濁し、遠心洗浄を2回行った。上清を除去したペレットにPC5標識抗CD4抗体(c oulter社製)を10μl、PE標識抗CD45RA抗体(coulter社製)を 2 0 μ 1 、 2 . 5 m M C a C 1 っを含む F A C S 用緩衝液を 2 0 μ 1 添加 し、 4 、 3 0分間反応させた。その後2.5mM Caclっを含むFACS用緩衝液で3回遠心洗 浄し、フローサイトメーター(coulter社製)で解析した。まずCD4とCD45 RAの染色性の違いにより細胞集団を4つに分画した(CD4+CD45RA+、CD4 + C D 4 5 R A - 、 C D 4 - C D 4 5 R A + 、 C D 4 - C D 4 5 R A - )。次に各分画で のアネキシンV陽性率を測定し、細胞傷害%とした。その結果を第9図に示した。PBM CはKM2760と共培養した場合にのみ細胞傷害性が観察され、またその傷害性はCC R 4 陽性細胞の属する C D 4 + C D 4 5 R A - 分画に特異的に検出された。

# [0123]

(2) ヒトPBMCからのサイトカイン産生抑制効果

実施例 3 の 2 項 ( 3 ) と同様にして P B M C と K M 2 7 6 0 (最終濃度 1 0 μ g / m l )を 2 4 時間共培養し、 A D C C 活性を誘導した。培養後、上清を 1 0 0 μ l 除去し、代わりに 1 μ g / m l の P M A (ホルボール・ミリステート・アセテート)と 2 0 0 n g / m l の A 2 3 1 8 7 (カルシマイシン) (R B I 社製)を含んだ培地 1 0 0 μ l を加え、最終濃度を P M A が 0 . 5 μ g / m l 、 A 2 3 1 8 7 が 1 0 0 n g / m l とし、細胞を刺

10

20

30

激してサイトカイン産生を誘導させた(条件(1))。別の刺激条件として、A 2 3 1 8 7 の代わりに抗C D 3 抗体であるO K T - 3(A T C C C R L - 8 0 0 1)を最終濃度 5 0 n g / m l でサイトカイン産生を誘導させた(条件(2))。各刺激剤導入後、2 4 時間培養した後に培養上清を回収してサイトカイン測定キット(バイオソース社製)にて I L - 4、 I L - 5、 I L - 1 3、インターフェロン(I F N) - を測定した。第 1 0 図に示すように、K M 2 7 6 0 添加群では著明にT h 2 サイトカインである I L - 4、 I L - 5、 I L - 1 3 の産生が抑制されたが、T h 1 サイトカインである I F N - は影響なかった。

### [0124]

#### 実施例5

抗 С С R 4 キメラ抗体のヒトT細胞系白血病細胞株への反応性:

(1)膜表面上への結合性(蛍光抗体法)

### [0125]

(2) ADCC活性

実施例5の1項で抗CCR4キメラ抗体KM2760での反応性が確認された細胞株5株に対するADCC活性の測定を実施例3の2項と同様の方法で測定した。第12図に示したように、全細胞について抗CCR4キメラ抗体KM2760は濃度依存的に<u>傷</u>害した

### [0126]

実施例6

抗 C C R 4 キメラ抗体 K M 2 7 6 0 のインビボ (in vivo)における活性評価 (Th 2 サイトカインの産生抑制):

# [0127]

 10

20

30

40

20

30

40

%空気、37 で24時間培養した。なお、用いた培地は、RPMI1640(GIBC O BRL社製)100mlに対し、ペニシリン・ストレプトマイシン液(GIBCO BRL社製) 0.5 ml、非働化済牛胎児血清(PAA laboratories社製 )5.6mlを添加したものである。培養終了後、各ウェルより血球ごと培養液を回収し 、遠心分離(6700xg,5分,4 )によって上清を得た。このようにして得られた 培養上清に含まれるIL-4、IL-13、およびIFN- は、それぞれのサイトカイ ン測定キット(IL-4:OptEIA Human IL-4 Kit,PharMi ngen社製; IL-13: Cyto screen Human IL-13 unoassay Kit, BioSource International社製; I FN-: Cyto screen Human IFN- Immunoassay Kit, BioSource International社製)を用いて定量した。 各個体のサイトカインの産生量は、刺激剤を添加した量から刺激剤を添加しなかった量を 差し引いた値である(0.1mg/kg群 個体番号L-1,L-2,1.0mg/kg 群 個体番号 M - 1 , M - 2 , 10 m g / k g 群 個体番号 H - 1 , H - 2 )。その結果 を第13図から第15図に示した。これらの図は、各個体毎にIL-4、IL-13、お よびIFN- のそれぞれについて投与前の値を100%として、投与後の産生量を百分 率で表したものである。Th2サイトカインであるIL-4(第13図)およびIL-1 3 (第14図)はすべての投与群において、投与後1週目から著明に減少し、投与後4週 目においてもその抑制は継続した。一方、Th1サイトカインであるIFN- (第15 図)への影響は極めて小さいものであった。

[0128]

以上の結果から、抗CCR4キメラ抗体KM2760をカニクイサルに投与すると、少なくとも4週間は末梢血単核球からのTh2サイトカインの産生が抑制されることが明らかとなった。また、抗CCR4キメラ抗体KM2760がカニクイザル生体内において、CCR4を発現した末梢血中のTh2細胞を減少もしくは除去したことが示された。

[0129]

実施例<u>7</u>

抗CCR4キメラ抗体のin vivo抗腫瘍活性:

(1) 同系・腹腔内移植モデルに対する抗CCR4キメラ抗体KM2760の抗腫瘍効果実施例2の2項(4)で得られたhCCR4高発現マウス由来細胞CCR4/EL-4細胞を、マウスに腹腔内移植したマウス同系腫瘍モデルに対する抗CCR4キメラ抗体KM2760の抗腫瘍効果を測定した。マウスは8週令、雄のC57BL/6マウス(日本クレア)を用いた。C57BL/6マウス10匹の腹腔内にPBS(-)(GibcoBRL社製)で1×10<sup>5</sup>個/m1に懸濁したCCR4/EL-4細胞を200μ1/匹で移植した。その内の5匹に移植4時間後、3日後、6日後、10日後にクエン酸緩衝液(pH6に調整した10mmo1/1クエン酸、150mmo1/1塩化ナトリウム水溶液)で2mg/m1に希釈したKM2760を腹腔内に200μ1投与した。残りの5匹はキメラ抗体を投与しない陰性対照群とした。移植当日より各群のマウスが腹水を伴う癌の増殖によって死亡するまでの日数を表1に示す。陰性対照群の平均生存日数が16.4日であったのに対し、KM2760投与群の平均生存日数は26.2日であった。KM2760投与により59.8%の生存期間の延長が認められ、KM2760はCCR4発現白血病細胞の同系・腹腔内移植モデルに対して延命効果を示した。

[0130]

【表1】

表 1

	生存日数(日)	平均値(日)	延命率 (%)
陰性対照群	14/14/16/18/20	16. 4	
KM2760 投与群	21/22/23/29/36	26. 2	59. 8

### [0131]

(2)同系・皮下移植モデルに対する抗CCR4キメラ抗体KM2760の抗腫瘍効果 実施例2の2項(4)で得られたhCCR4高発現マウス由来細胞CCR4/EL-4 細胞を、マウスに皮下移植したマウス同系腫瘍モデルに対する抗CCR4キメラ抗体KM 2 7 6 0 の抗腫瘍効果を測定した。マウスは 8 週令、雄の C 5 7 B L / 6 マウス (日本ク レア)を用いた。C57BL/6マウス18匹の腹側部の皮下にPBS(-)(Gibc o BRL社製)で1×10<sup>6</sup>個/mlに懸濁したCCR4/EL-4細胞を50μ1/ 匹で移植した。うち5匹には移植4時間後、1日1回、5日間連続で、クエン酸緩衝液( p H 6 に調整した 1 0 m m o 1 / 1 クエン酸、 1 5 0 m m o 1 / 1 塩化ナトリウム水溶液 )で 2 m g / m l に希釈した K M 2 7 6 0 を尾静脈より 1 0 0 μ l 投与した。この時 1 回 あたりの投与量は 2 0 0 μ g / 匹となる。また別の 6 匹には移植 4 時間後、 7 日後、 1 4 日後にクエン酸緩衝液で2mg/m1に希釈したKM2760を尾静脈より200μ1投 与した。この時 1 回あたりの投与量は 4 0 0 μ g / 匹となる。残りの 7 匹はキメラ抗体を 投与しない陰性対照群とした。移植後6日目より経時的にノギスによる腫瘍径の測定を行 い、抗腫瘍効果の判定は、各投与群の腫瘍体積の平均値と非投与群の腫瘍体積の平均値に 対する比、および投与開始後の生存日数で判定した。 腫瘍体積は下式にて算出した。

#### [0132]

腫瘍体積 = (短径) $^2 \times$  長径 × 0 . 5

### [0133]

各群の腫瘍体積の平均値を表 2 及び第 1 6 図、各群の腫瘍体積の平均値と非投与群の腫瘍体積の平均値の比の結果を表 3 及び第 1 7 図に示す。移植後 1 8 日目における各 K M 2 7 6 0 投与群の腫瘍体積の平均値と非投与群の腫瘍体積の平均値に対する比は、 2 0 0 μ g の 5 日間連続投与群が 0 . 3 5 6 、 4 0 0 μ g の 3 回投与群が 0 . 2 5 7 であり、いずれの投与スケジュールにおいても K M 2 7 6 0 は C C R 4 陽性白血病細胞の同系・皮下移植モデルに対して増殖抑制効果を示した。

# [0134]

# 【表2】

表 2

#W ### . Lv	移植後の日数							
群構成	0	6	10	12	15	18		
陰性対照群	50 <u>±</u> 0	46±28	294±114	778±263	1825±708	3581±1279		
KM2760 200μgx5 日間連続投与群	50±0	16±20	115 <del>±6</del> 0	299±194	601±429	1274±886		
KM2760 400μgx3回投与群	50±0	0 <u>+</u> 0	73±49	198±158	431±467	920±1163		

単位: === ± 標準偏差

【 0 1 3 5 】 【表 3 】 40

20

表 3

277 TH17	移植後の日数						
群構成	0	6	10	12	15	18	
陰性対照群	1, 000	1. 000	1, 000	1.000	1.000	1. 000	
KM2760 200 μ g×5 日間連続投与群	1. 000	0, 348	0. 393	0. 384	0. 330	0. 356	
KM2760 400μg×3 回投与群	1. 000	0, 000	0, 250	0. 254	0. 236	0. 257	

### [0136]

(3)異種移植モデルに対する抗CCR4キメラ抗体KM2760の抗腫瘍効果

CCR4を発現しているヒトT細胞白血病株 CCRF-CEM 細胞(ATCC CCL119)をヌードマウスの皮下に移植したマウス異種移植・皮下腫瘍モデルに対する抗 CCR4 キメラ抗体 KM2760 の抗腫瘍効果を測定した。マウスは 8 週令、雄の Balb / cヌードマウス(日本クレア)を用いた。 Balb / cヌードマウス 2 0 匹の腹側部の皮下に RPM I 1 6 4 0 培地(Gibco BRL社製)で 1 × 1 0 8 個 / m 1 に懸濁した CCRF-CEM 細胞を 2 0 0 μ 1 / 匹で移植した。その後 5 匹ずつ 4 群に分け、うち 3 群には移植 4 時間後、 3 日後、 6 日後にそれぞれクエン酸緩衝液で 2 m g / m 1 、 0 ・ 5 m g / m 1 あるいは 0 ・ 2 m g / m 1 に希釈した KM 2 7 6 0 を尾静脈より 2 0 0 μ 1 投与した。この時、各群の KM 2 7 6 0 投与量は 4 0 0 μ g / 匹 / 日、 1 0 0 μ g / 匹 / 日、 4 0 μ g / 匹 / 日となる。残りの 1 群はクエン酸緩衝液で 2 m g / m 1 に希釈した ヒトイム J グロブリン G (以下 h I g G、ウェルファイド社製)を尾静脈より 2 0 0 μ 1 投与し(400 μ g / 匹 / 日)、陰性対照群とした。移植後 4 日目より経時的に J ギスによる腫瘍径の測定を行い、抗腫瘍効果の判定は各群の腫瘍体積で判定した。腫瘍体積は下式にて算出した。

### [0137]

# 腫瘍体積 = (短径) $^{2}$ × 長径 × 0 . 5

### [0138]

各群の腫瘍体積の平均値の経時的変化をを表4及び第18図に示す。 KM2760のいずれの投与群においても腫瘍増殖の完全な抑制が認められ、 KM2760はCCR4陽性白血病細胞の異種移植・皮下腫瘍モデルに対する増殖抑制効果を示した。

[0139]

# 【表4】

表 4

mst. Litte . D.	移植後の日数						
群構成	0	6	10	12	15	18	
陰性対照群	0±0	44±63	204±159	233±157	364±86	448±142	
KM2760 40μg 投与群	0±0	0±0	0±0	0±0	0±0	0±0	
KM2760 100μg 投与群	0±0	0±0	0±0	0±0	0±0	0±0	
KM2760 400μg投与群	0±0	0±0	0±0	0±0	0±0	0±0	

単位;mm³ ± 標準偏差

# 【産業上の利用可能性】

#### [0140]

本発明により、ヒトCCR4に特異的に結合し、CCR4に対する新規なCDRを含む、遺伝子組換え抗体およびその抗体断片が提供される。本発明の抗体は免疫細胞染色におけるヒトTh2細胞の免疫学的検出、気管支喘息、アトピー性皮膚炎などを始めとするすべてのTh2介在性免疫疾患や異常なTh2細胞のバランスにより病態が進行する疾患、白血病のような血液癌を始めとする癌疾患の診断あるいは治療に有用である。

40

20

```
【配列フリーテキスト】
[0141]
  配列番号11-人工配列の説明:合成DNA
  配列番号12-人工配列の説明:合成DNA
  配列番号13-人工配列の説明:合成DNA
  配列番号14-人工配列の説明:合成DNA
【配列表】
                          SEQUENCE LISTING
<110> KYOWA HAKKO KOGYO CO., LTD.
<120> Gene recombinant antibody and antibody fragment thereof
                                                                              10
<140> JP2001-564247
<141> 2001-03-02
<150> JP 2000-59508
<151> 2000-03-03
<150> JP 2000-401563
<151> 2000-12-28
<160> 17
<170> Patentin Ver. 2.0
<210> 1
<211> 28
                                                                              20
<212> PRT
<213> Homo sapiens
<400> 1
Asn Pro Thr Asp IIe Ala Asp Thr Thr Leu Asp Glu Ser IIe Tyr Ser
                5
                                  10
Asn Tyr Tyr Leu Tyr Glu Ser Ile Pro Lys Pro Cys
            20
                               25
<210> 2
<211> 28
<212> PRT
                                                                              30
<213> Mus musculus
Asn Ala Thr Glu Val Thr Asp Thr Thr Gln Asp Glu Thr Val Tyr Asn
                5
                                                      15
                                  10
Ser Tyr Tyr Phe Tyr Glu Ser Met Pro Lys Pro Cys
            20
                               25
<210> 3
<211> 414
<212> DNA
                                                                              40
<213> Mus musculus
<220>
<221> CDS
<222> (1)..(414)
<400> 3
atg aac ctc ggg ctc agt ttg att ttc ctt gcc ctc att tta aaa ggt
                                                              48
Met Asn Leu Gly Leu Ser Leu IIe Phe Leu Ala Leu IIe Leu Lys Gly
                                   10
gtc cag tgt gag gtg cag ctg gtg gag tct ggg gga gac tta atg aag
Val Gln Cys Glu Val Gln Leu Val Glu Ser Gly Gly Asp Leu Met Lys
```

25

30

cct gga ggg tcc ctg aaa atc tcc tgt gca gcc tct gga ttc att ttc Pro Gly Gly Ser Leu Lys IIe Ser Cys Ala Ala Ser Gly Phe IIe Phe	
Pro Gly Gly Ser Leu Lys IIe Ser Cys Ala Ala Ser Gly Phe IIe Phe	144
35 40 45	
agt aat tat ggc atg tct tgg gtt cgc cag act cca gac atg agg ctg	192
Ser Asn Tyr Gly Met Ser Trp Val Arg Gln Thr Pro Asp Met Arg Leu	
50 55 60	
gaa tgg gtc gca acc att agt agt gct agt act tat tcc tat tat cca	240
Glu Trp Val Ala Thr lle Ser Ser Ala Ser Thr Tyr Ser Tyr Tyr Pro	
65 70 75 80	
gac agt gtg aag gga cga ttc acc ata tcc agg gac aac gcc gag aac	288 10
Asp Ser Val Lys Gly Arg Phe Thr Ile Ser Arg Asp Asn Ala Glu Asn	
85 90 95	
tcc cta tat ctg caa atg aat agt ctg agg tct gag gac aca ggc ata	336
Ser Leu Tyr Leu Gln Met Asn Ser Leu Arg Ser Glu Asp Thr Gly Ile	
100 105 110	204
tat tac tgt gga aga cat agc gat gga aac ttc gcg ttt ggt tat tgg	384
Tyr Tyr Cys Gly Arg His Ser Asp Gly Asn Phe Ala Phe Gly Tyr Trp  115 120 125	
ggc cga ggg act ctg gtc act gtc tct gca	414
Gly Arg Gly Thr Leu Val Thr Val Ser Ala	20
130 135	20
<210> 4	
<211> 396	
<212> DNA	
<213> Mus musculus	
<220>	
<221> CDS	
<222> (1)(396)	
<400> 4	
atg aag ttg cct gtt agg ctg ttg gtg ctg atg ttc tgg att cct gct	48 30
atg aag ttg cct gtt agg ctg ttg gtg ctg atg ttc tgg att cct gct Met Lys Leu Pro Val Arg Leu Leu Val Leu Met Phe Trp Ile Pro Ala	48 30
	48 30
Met Lys Leu Pro Val Arg Leu Leu Val Leu Met Phe Trp Ile Pro Ala	48 30 96
Met Lys Leu Pro Val Arg Leu Leu Val Leu Met Phe Trp IIe Pro Ala 1 5 10 15	
Met Lys Leu Pro Val Arg Leu Leu Val Leu Met Phe Trp IIe Pro Ala  1 5 10 15  tcc agc agt gat gtt ttg atg acc caa act cca ctc tcc ctg cct gtc	
Met Lys Leu Pro Val Arg Leu Leu Val Leu Met Phe Trp IIe Pro Ala  1 5 10 15 15  tcc agc agt gat gtt ttg atg acc caa act cca ctc tcc ctg cct gtc  Ser Ser Ser Asp Val Leu Met Thr Gln Thr Pro Leu Ser Leu Pro Val  20 25 30  agt ctt gga gat caa gcc tcc atc tct tgc aga tct agt cgg aac att	
Met Lys Leu Pro Val Arg Leu Leu Val Leu Met Phe Trp IIe Pro Ala  1 5 10 15  tcc agc agt gat gtt ttg atg acc caa act cca ctc tcc ctg cct gtc  Ser Ser Ser Asp Val Leu Met Thr Gln Thr Pro Leu Ser Leu Pro Val  20 25 30  agt ctt gga gat caa gcc tcc atc tct tgc aga tct agt cgg aac att  Ser Leu Gly Asp Gln Ala Ser IIe Ser Cys Arg Ser Ser Arg Asn IIe	96
Met Lys Leu Pro Val Arg Leu Leu Val Leu Met Phe Trp IIe Pro Ala  1 5 10 15  tcc agc agt gat gtt ttg atg acc caa act cca ctc tcc ctg cct gtc  Ser Ser Ser Asp Val Leu Met Thr Gln Thr Pro Leu Ser Leu Pro Val  20 25 30  agt ctt gga gat caa gcc tcc atc tct tgc aga tct agt cgg aac att  Ser Leu Gly Asp Gln Ala Ser IIe Ser Cys Arg Ser Ser Arg Asn IIe  35 40 45	96
Met Lys Leu Pro Val Arg Leu Leu Val Leu Met Phe Trp IIe Pro Ala  1 5 10 10 15  tcc agc agt gat gtt ttg atg acc caa act cca ctc tcc ctg cct gtc  Ser Ser Ser Asp Val Leu Met Thr GIn Thr Pro Leu Ser Leu Pro Val  20 25 30  agt ctt gga gat caa gcc tcc atc tct tgc aga tct agt cgg aac att  Ser Leu Gly Asp GIn Ala Ser IIe Ser Cys Arg Ser Ser Arg Asn IIe  35 40 45  gtt cat att aat ggt gac aca tat tta gaa tgg tac ctg cag aga ccg	96 144 192
Met Lys Leu Pro Val Arg Leu Leu Val Leu Met Phe Trp IIe Pro Ala 1 5 10 15 15 15 16 Asg age age age gat get tig atg acc caa act cca ctc tcc ctg cct gtc Ser Ser Asp Val Leu Met Thr Gln Thr Pro Leu Ser Leu Pro Val 20 25 30 agt ctt gga gat caa gcc tcc atc tct tgc aga tct agt cgg aac att Ser Leu Gly Asp Gln Ala Ser IIe Ser Cys Arg Ser Ser Arg Asn IIe 35 40 45 Asg tct aatt aat ggt gac aca tat tta gaa tgg tac ctg cag aga ccg Val His IIe Asn Gly Asp Thr Tyr Leu Glu Trp Tyr Leu Gln Arg Pro	96
Met Lys Leu Pro Val Arg Leu Leu Val Leu Met Phe Trp IIe Pro Ala 1 5 10 15 15 15 16 Ash Ash Jan Ber Jan	96 144 192 40
Met Lys Leu Pro Val Arg Leu Leu Val Leu Met Phe Trp IIe Pro Ala 1 5 10 15 15 15 16 Age age age gat gat ttg atg acc caa act cca ctc tcc ctg cct gtc Ser Ser Asp Val Leu Met Thr Gln Thr Pro Leu Ser Leu Pro Val 20 25 30 30 agt ctt gga gat caa gcc tcc atc tct tgc aga tct agt cgg aac att Ser Leu Gly Asp Gln Ala Ser IIe Ser Cys Arg Ser Ser Arg Asn IIe 35 40 45 35 40 45 45 45 45 46 45 46 46 46 46 46 46 46 46 46 46 46 46 46	96 144 192
Met Lys Leu Pro Val Arg Leu Leu Val Leu Met Phe Trp IIe Pro Ala 1 5 10 15 15 15 16 Age age age gat gat ttg atg acc caa act cca ctc tcc ctg cct gtc Ser Ser Asp Val Leu Met Thr Gln Thr Pro Leu Ser Leu Pro Val 20 25 30 agt ctt gga gat caa gcc tcc atc tct tgc aga tct agt cgg aac att Ser Leu Gly Asp Gln Ala Ser IIe Ser Cys Arg Ser Ser Arg Asn IIe 35 40 45 45 45 45 46 45 46 46 46 46 46 46 46 46 46 46 46 46 46	96 144 192 40
Met Lys Leu Pro Val Arg Leu Leu Val Leu Met Phe Trp IIe Pro Ala 1	96 144 192 40 240
Met         Lys         Leu         Pro         Val         Arg         Leu         Leu         Val         Leu         Met         Phe         Trp         Ile         Pro         Ala           1         5         6         10         10         15         15         15           1         6         35         10         10         10         15         15           1         5         10         10         10         10         15         15           1         5         10	96 144 192 40
Met         Lys         Leu         Pro         Val         Arg         Leu         Leu         Val         Leu         Met         Phe         Trp         Ile         Pro         Ala           1         5         6         10         15         15           1         5         10         15         15           1         5         10         15         15           1         20         11         11         11         15           20         20         25         25         20         20         20         20           30         3	96 144 192 40 240
Met         Lys         Leu         Pro         Val         Arg         Leu         Leu         Val         Phe         Trp         Ile         Pro         Ala           1         5         6         10         15         16         15         16         15         16         16         16         16         16         16         16         16         16         16         17         17         17         17         17	96 144 192 40 240 288
Met         Lys         Leu         Pro         Val         Arg         Leu         Leu         Val         Leu         Met         Phe         Trp         Ile         Pro         Ala           1         5         10         15         15           1         5         10         15         15           1         5         10         10         15         15           1         20         10         10         15         10 <t< td=""><td>96 144 192 40 240</td></t<>	96 144 192 40 240
Met         Lys         Leu         Pro         Val         Arg         Leu         Leu         Val         Phe         Trp         Ile         Pro         Ala           1         5         6         10         15         16         15         16         15         16         16         16         16         16         16         16         16         16         16         17         17         17         17         17	96 144 192 40 240 288

```
ttt caa ggt tca ctt ctt ccg tgg acg ttc ggt gga ggc acc agg ctg
                                                                    384
Phe Gln Gly Ser Leu Leu Pro Trp Thr Phe Gly Gly Gly Thr Arg Leu
                             120
        115
                                                 125
gaa atc aga cgg
                                                                    396
Glu lle Arg Arg
    130
<210> 5
<211> 5
<212> PRT
<213> Mus musculus
                                                                                     10
<400> 5
Asn Tyr Gly Met Ser
 1
<210> 6
<211> 17
<212> PRT
<213> Mus musculus
<400> 6
Thr IIe Ser Ser Ala Ser Thr Tyr Ser Tyr Tyr Pro Asp Ser Val Lys
 1
                  5
                                     10
                                                          15
                                                                                     20
Gly
<210> 7
<211> 10
<212> PRT
<213> Mus musculus
<400> 7
His Ser Asp Gly Asn Phe Ala Phe Gly Tyr
                  5
<210> 8
<211> 16
                                                                                     30
<212> PRT
<213> Mus musculus
Arg Ser Ser Arg Asn Ile Val His Ile Asn Gly Asp Thr Tyr Leu Glu
 1
                  5
                                      10
                                                          15
<210> 9
<211> 7
<212> PRT
<213> Mus musculus
<400> 9
                                                                                     40
Lys Val Ser Asn Arg Phe Ser
                  5
 1
<210> 10
<211> 9
<212> PRT
<213> Mus musculus
<400> 10
Phe GIn Gly Ser Leu Leu Phe Trp Thr
 1
<210> 11
                                                                                     50
```

```
<211> 39
<212> DNA
<213> Artificial Sequence
<223> Description of Artificial Sequence:synthetic DNA
<400> 11
                                                                     39
aaggaaaaaa gcggccgcga cccctcacca tgaacctcg
<210> 12
<211> 39
<212> DNA
                                                                                     10
<213> Artificial Sequence
<220>
<223> Description of Artificial Sequence:synthetic DNA
<400> 12
cgatgggccc ttggtggagg ctgcagagac agtgaccag
                                                                     39
<210> 13
<211> 31
<212> DNA
<213> Artificial Sequence
<220>
                                                                                     20
<223> Description of Artificial Sequence:synthetic DNA
ccggaattcg cctcctcaaa atgaagttgc c
                                                                     31
<210> 14
<211> 31
<212> DNA
<213> Artificial Sequence
<220>
<223> Description of Artificial Sequence:synthetic DNA
                                                                                     30
agccaccgta cgtctgattt ccagcctggt g
                                                                     31
<210> 15
<211> 138
<212> PRT
<213> Mus musculus
<400> 15
Met Asn Leu Gly Leu Ser Leu IIe Phe Leu Ala Leu IIe Leu Lys Gly
Val Gln Cys Glu Val Gln Leu Val Glu Ser Gly Gly Asp Leu Met Lys
                                                                                     40
             20
                                  25
Pro Gly Gly Ser Leu Lys Ile Ser Cys Ala Ala Ser Gly Phe Ile Phe
                             40
Ser Asn Tyr Gly Met Ser Trp Val Arg Gln Thr Pro Asp Met Arg Leu
                         55
Glu Trp Val Ala Thr Ile Ser Ser Ala Ser Thr Tyr Ser Tyr Tyr Pro
65
                    70
                                         75
                                                             80
Asp Ser Val Lys Gly Arg Phe Thr Ile Ser Arg Asp Asn Ala Glu Asn
Ser Leu Tyr Leu Gln Met Asn Ser Leu Arg Ser Glu Asp Thr Gly Ile
            100
                                 105
                                                     110
                                                                                     50
```

```
Tyr Tyr Cys Gly Arg His Ser Asp Gly Asn Phe Ala Phe Gly Tyr Trp
        115
                            120
Gly Arg Gly Thr Leu Val Thr Val Ser Ala
    130
                        135
<210> 16
<211> 132
<212> PRT
<213> Mus musculus
<400> 16
Met Lys Leu Pro Val Arg Leu Leu Val Leu Met Phe Trp IIe Pro Ala
                                                                                   10
                  5
                                     10
Ser Ser Ser Asp Val Leu Met Thr Gln Thr Pro Leu Ser Leu Pro Val
                                 25
Ser Leu Gly Asp Gln Ala Ser Ile Ser Cys Arg Ser Ser Arg Asn Ile
                             40
Val His Ile Asn Gly Asp Thr Tyr Leu Glu Trp Tyr Leu Gln Arg Pro
                        55
Gly Gln Ser Pro Lys Leu Leu IIe Tyr Lys Val Ser Asn Arg Phe Ser
                    70
Gly Val Pro Asp Arg Phe Ser Gly Ser Gly Ser Gly Thr Asp Phe Thr
                                                                                   20
Leu Lys IIe Ser Arg Val Glu Ala Glu Asp Leu Gly Val Tyr Tyr Cys
                                105
Phe Gln Gly Ser Leu Leu Pro Trp Thr Phe Gly Gly Gly Thr Arg Leu
       115
                            120
Glu lle Arg Arg
    130
<210> 17
<211> 360
<212> PRT
                                                                                   30
<213> Homo sapiens
Met Asn Pro Thr Asp IIe Ala Asp Thr Thr Leu Asp Glu Ser IIe Tyr
                5
                                    10
Ser Asn Tyr Tyr Leu Tyr Glu Ser Ile Pro Lys Pro Cys Thr Lys Glu
                                 25
Gly Ile Lys Ala Phe Gly Glu Leu Phe Leu Pro Pro Leu Tyr Ser Leu
Val Phe Val Phe Gly Leu Leu Gly Asn Ser Val Val Leu Val Leu
                                                                                   40
                         55
                                             60
Phe Lys Tyr Lys Arg Leu Arg Ser Met Thr Asp Val Tyr Leu Leu Asn
                    70
                                        75
Leu Ala IIe Ser Asp Leu Leu Phe Val Phe Ser Leu Pro Phe Trp Gly
                                     90
Tyr Tyr Ala Ala Asp Gln Trp Val Phe Gly Leu Gly Leu Cys Lys Met
            100
                                105
lle Ser Trp Met Tyr Leu Val Gly Phe Tyr Ser Gly Ile Phe Phe Val
                            120
Met Leu Met Ser Ile Asp Arg Tyr Leu Ala Ile Val His Ala Val Phe
```

50

130

50

Ser Leu Arg Ala Arg Thr Leu Thr Tyr Gly Val Ile Thr Ser Leu Ala 145 150 155 Thr Trp Ser Val Ala Val Phe Ala Ser Leu Pro Gly Phe Leu Phe Ser 165 170 Thr Cys Tyr Thr Glu Arg Asn His Thr Tyr Cys Lys Thr Lys Tyr Ser 180 185 190 Leu Asn Ser Thr Thr Trp Lys Val Leu Ser Ser Leu Glu Ile Asn Ile 200 Leu Gly Leu Val IIe Pro Leu Gly IIe Met Leu Phe Cys Tyr Ser Met 215 10 lle lle Arg Thr Leu Gln His Cys Lys Asn Glu Lys Lys Asn Lys Ala 225 230 235 240 Val Lys Met IIe Phe Ala Val Val Leu Phe Leu Gly Phe Trp Thr 245 250 Pro Tyr Asn IIe Val Leu Phe Leu Glu Thr Leu Val Glu Leu Glu Val 265 Leu Gln Asp Cys Thr Phe Glu Arg Tyr Leu Asp Tyr Ala Ile Gln Ala 275 280 285 Thr Glu Thr Leu Ala Phe Val His Cys Cys Leu Asn Pro Ile Ile Tyr 295 300 20 Phe Phe Leu Gly Glu Lys Phe Arg Lys Tyr Ile Leu Gln Leu Phe Lys 310 315 Thr Cys Arg Gly Leu Phe Val Leu Cys Gln Tyr Cys Gly Leu Leu Gln 330 325 lle Tyr Ser Ala Asp Thr Pro Ser Ser Ser Tyr Thr Gln Ser Thr Met 340 345 350 Asp His Asp Leu His Asp Ala Leu 355

# 【図面の簡単な説明】

第1図はKM2160の化合物に対するELISA法における反応性を示した図である 30

第 2 図はプラスミド p K M 2 1 6 0 V H 4 1 と p K M 2 1 6 0 V L 6 1 の造成工程を示した図である。

第3図はプラスミド р К А N Т Е Х 2 1 6 0 Н の造成工程を示した図である。

第4図はプラスミドpKANTEX2160の造成工程を示した図である。

第5図は精製した抗CCR4キメラ抗体KM2760のSDS-PAGE(5~20%グラジエントゲルを使用)の電気泳動パターンを示した図である。左側が非還元条件、右側が還元条件でそれぞれ電気泳動を行った図である。レーン1が高分子量マーカー、2がKM2760、3が低分子量マーカー、4がKM2760の泳動パターンをそれぞれ示す

第6図は精製した抗CCR4キメラ抗体KM2760のCCR4部分ペプチドとの結合活性を抗体濃度を変化させて測定した図である。縦軸はCCR4との結合活性、横軸は抗体濃度をそれぞれ示す。

第7図は蛍光抗体法を用いた、CCR4高発現細胞(CCR4/EL-4)に対するKM2760の反応性を示した図である。

第8図は上図がCCR4/EL-4細胞、下図がEL-4細胞に対するADCC活性による細胞傷害性を示した図である。

第9図はCD4とCD45RAの染色性の違いによる4つの分画でのアネキシンV陽性率による、ヒトPBMCに対するADCC活性による細胞傷害性を示した図である。

第10図はヒトPBMCからのIL-4、IL-5、IL-13、IFN- 産生抑制

20

効果を示した図である。

第11図は抗CCR4キメラ抗体KM2760のヒトT細胞系白血病細胞株への反応性を示した図である。

第12図は抗CCR4キメラ抗体KM2760との反応性が確認されたヒトT細胞系白血病細胞株に対する抗CCR4キメラ抗体KM2760による細胞<u>傷</u>害性を示した図である。

第 1 3 図は抗 C C R 4 キメラ抗体 K M 2 7 6 0 をカニクイザルに投与した時の I L - 4 産生量の経時的変化を示した図である。

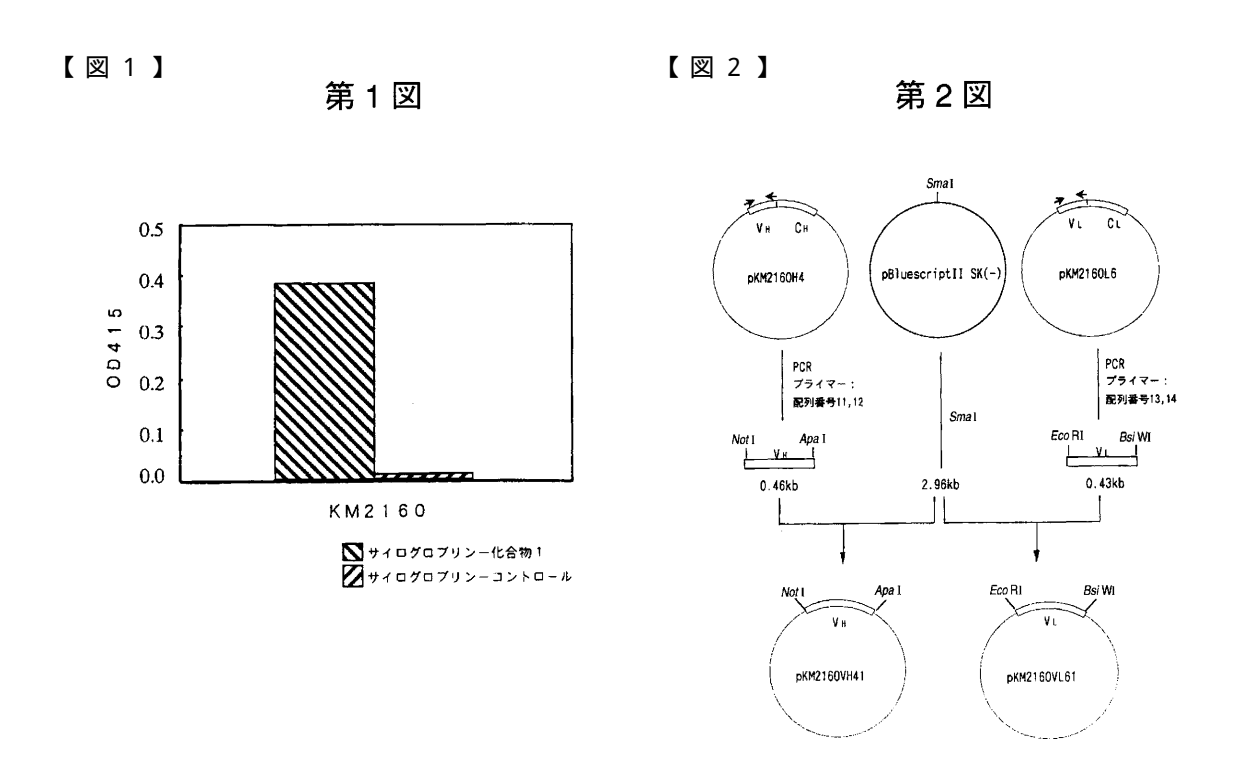
第 1 4 図は抗 C C R 4 キメラ抗体 K M 2 7 6 0 をカニクイザルに投与した時の I L - 1 3 産生量の経時的変化を示した図である。

第 1 5 図は抗 C C R 4 キメラ抗体 K M 2 7 6 0 をカニクイザルに投与した時の <u>I F N</u> - 産生量の経時的変化を示した図である。

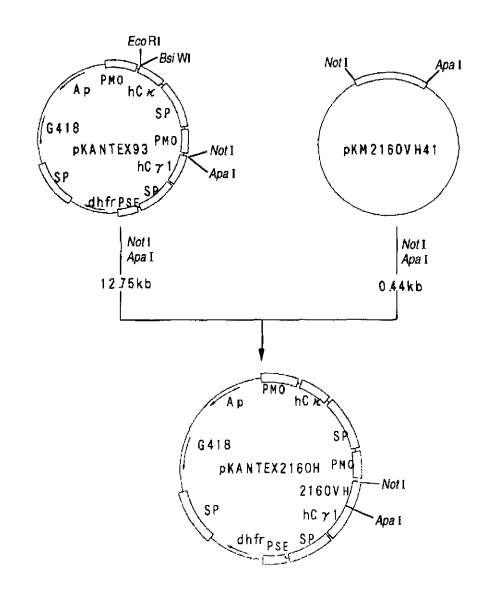
第16図はhCCR4高発現マウス由来細胞CCR4/EL-4細胞が皮下移植されたマウスに、抗CCR4キメラ抗体KM2760を投与した時の腫瘍体積の平均値の経時的変化を示した図である。

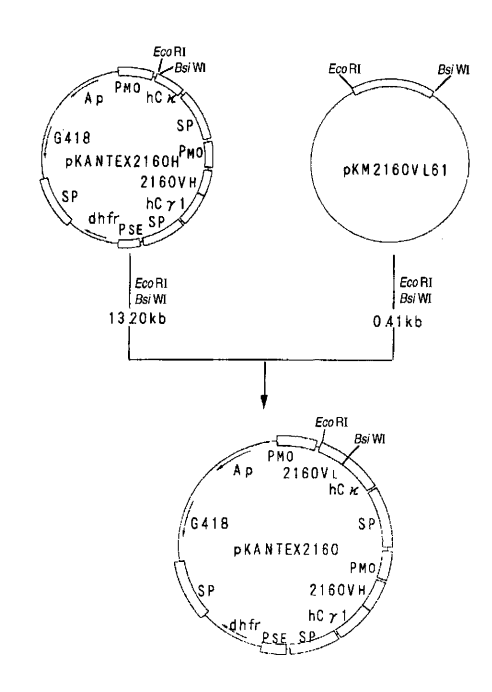
第17図はhCCR4高発現マウス由来細胞CCR4/EL-4細胞が皮下移植されたマウスに、抗CCR4キメラ抗体KM2760を投与した時の投与群の腫瘍体積の平均値と非投与群の腫瘍体積の平均値の比の結果示した図である。

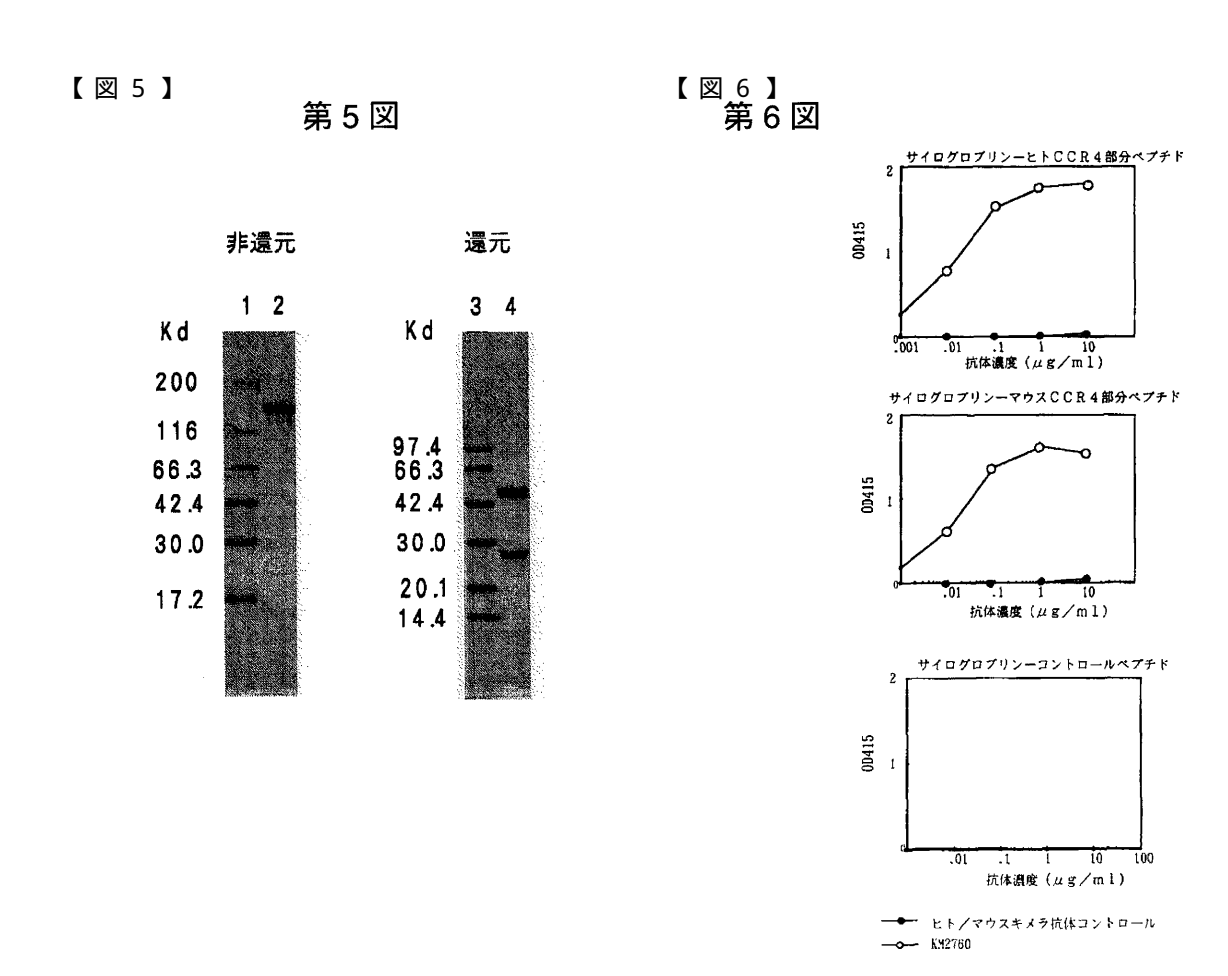
第18図はCCR4を発現しているヒトT細胞白血病株CCRF-CEM細胞(ATCCCL119)が皮下移植されたマウスに、抗CCR4キメラ抗体KM2760を投与した時の腫瘍体積の平均値の経時的変化を示した図である。



【図3】 【図4】 第3図 第4図







【図7】 第7図

SINGLE PARAMETER

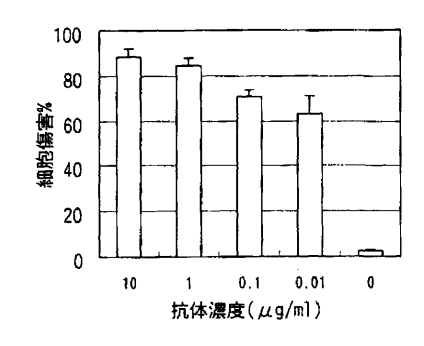
抗IL-5R抗体

KM2760

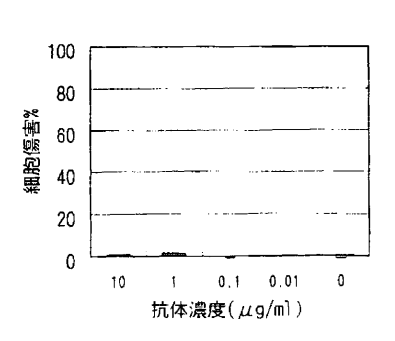
量光強度

【図8】 第8図

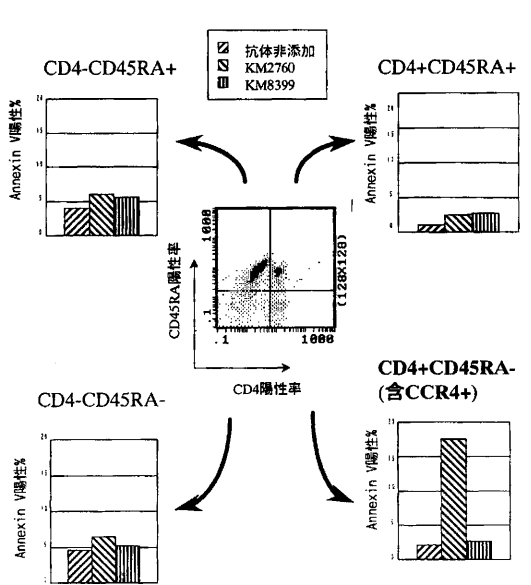
CCR4/EL-4細胞



EL-4細胞

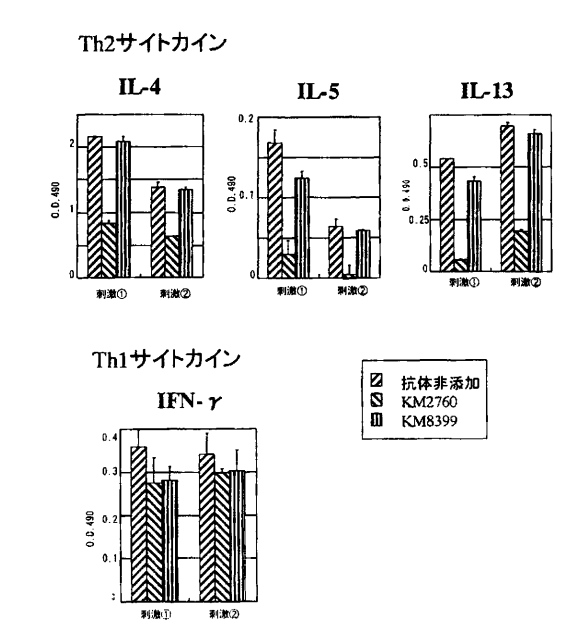


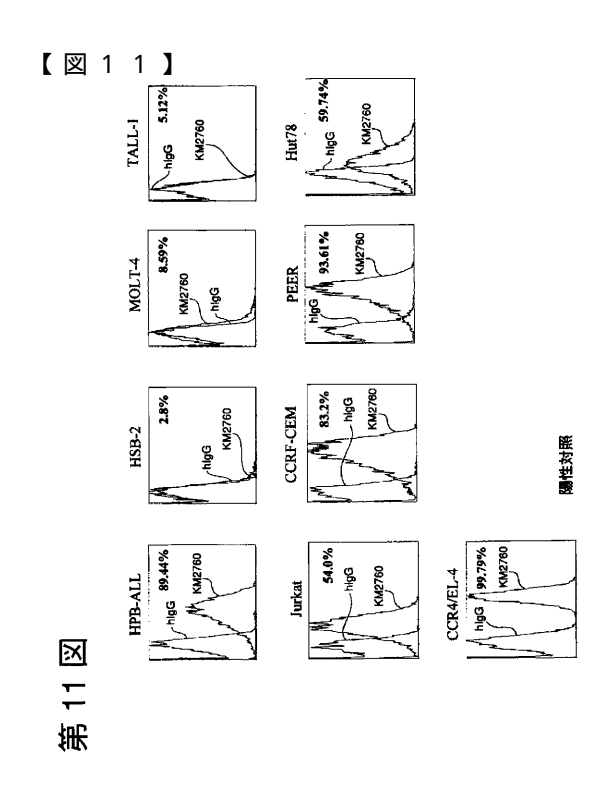
第9図

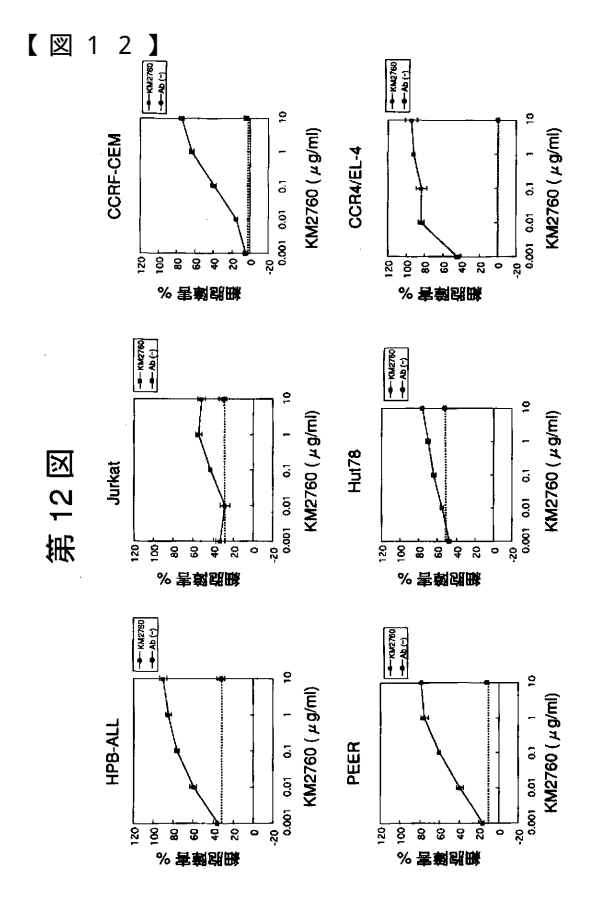


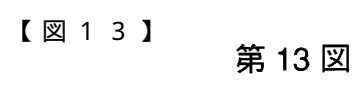
【図10】

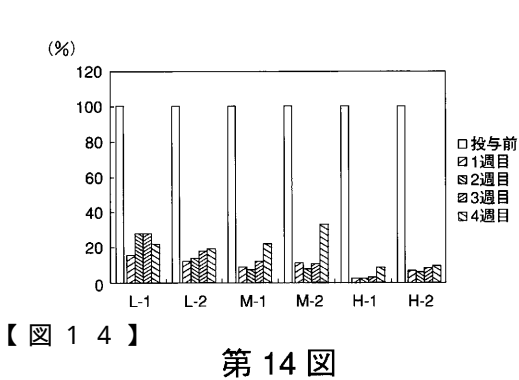
第 10 図

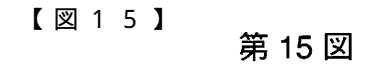


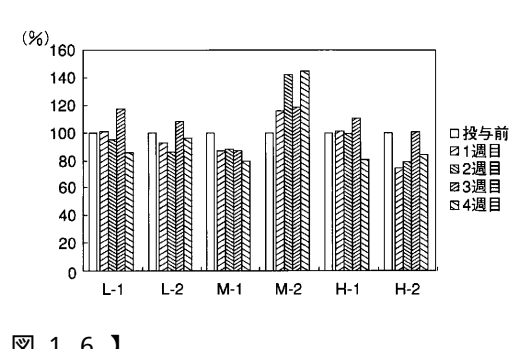




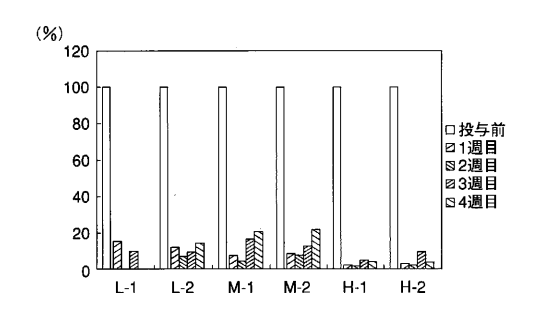


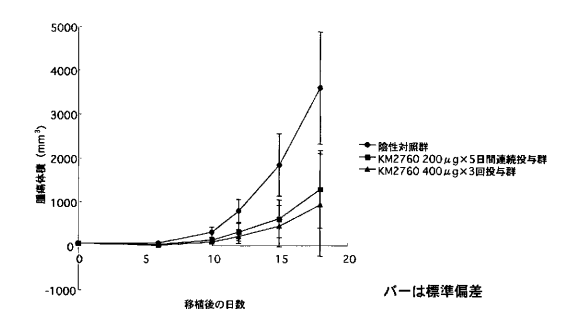






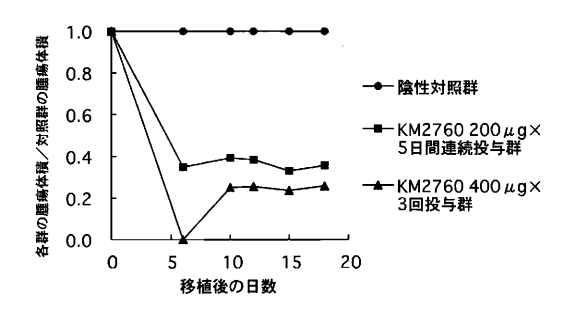
4】 【図16】 第 14 図 第 16 図





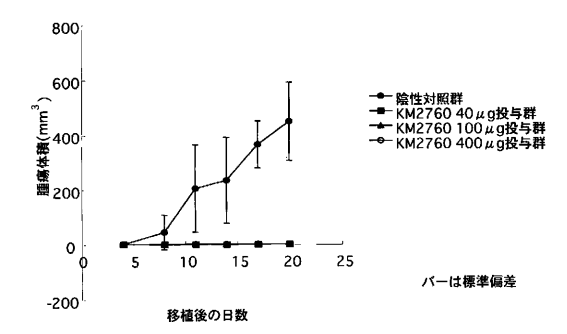
【図17】

第 17 図



【図18】

第 18 図



### フロントページの続き

(51) Int .CI .			FΙ		
G 0 1 N	33/53	(2006.01)	G 0 1 N	33/53	D
G 0 1 N	33/574	(2006.01)	G 0 1 N	33/574	Α
G 0 1 N	33/577	(2006.01)	G 0 1 N	33/574	D
A 6 1 K	39/395	(2006.01)	G 0 1 N	33/577	В
A 6 1 P	35/02	(2006.01)	A 6 1 K	39/395	Ν
A 6 1 P	37/08	(2006.01)	A 6 1 P	35/02	
			A 6 1 P	37/08	

(72)発明者 花井 陳雄

東京都町田市旭町三丁目6番6号 協和醗酵工業株式会社 東京研究所内

(72)発明者 庄司 絵美

東京都町田市旭町三丁目6番6号 協和醗酵工業株式会社 東京研究所内

(72)発明者 桜田 幹子

東京都町田市旭町三丁目6番6号 協和醗酵工業株式会社 東京研究所内

(72)発明者 古谷 安希子

東京都町田市旭町三丁目6番6号 協和醗酵工業株式会社 東京研究所内

(72)発明者 中村 和靖

東京都町田市旭町三丁目6番6号 協和醗酵工業株式会社 東京研究所内

(72)発明者 丹羽 倫平

東京都町田市旭町三丁目6番6号 協和醗酵工業株式会社 東京研究所内

(72)発明者 柴田 健志

東京都町田市旭町三丁目6番6号 協和醗酵工業株式会社 東京研究所内

(72)発明者 山 崎 基生

東京都町田市旭町三丁目6番6号 協和醗酵工業株式会社 東京研究所内

# 審査官 飯室 里美

# (56)参考文献 特表2002-539079(JP,A)

特表2002-544171(JP,A)

The Journal of Biological Chemistry, 1995, Vol.270, no.33, pp.19495-19500

免疫・Immunology Frontier, 1998, Vol.8, No.5, pp.311-325

Biotherapy, 1996, Vol.10, No.11, pp.1384-1391

臨床免疫, 1998, Vol.30, No.7, pp.947-955

Blood, 2000 July, Vol.96, No.2, pp.685-690

# (58)調査した分野(Int.CI., DB名)

C12N 15/09

C07K 16/28

C07K 19/00

C12Q 1/02

C12N 5/10

G01N 33/53

004N 00 /57

G01N 33/574

G01N 33/577

A61K 39/395

A61P 35/02

A61P 37/08

BIOSIS/MEDLINE/WPIDS(STN)
JSTPlus(JDream2)



专利名称(译)	基因工程抗体及其抗体片段		
公开(公告)号	JP3926153B2	公开(公告)日	2007-06-06
申请号	JP2001564247	申请日	2001-03-02
申请(专利权)人(译)	协和醗酵工业株式会社		
当前申请(专利权)人(译)	协和醗酵工业株式会社		
[标]发明人	設楽研也 花井陳雄 庄司絵美 桜田幹子 古谷安希子 中村和靖 丹羽倫平 柴田健志 山崎基生		
发明人	設楽 研也 花井 陳雄 庄司 絵美 古谷 幹子 古村 和靖 丹羽 倫平 柴田 健志 山▲崎▼ 基生		
IPC分类号	C12N15/09 C07K16/28 C07K19/00 A61K39/395 A61P35/02 A61P37/0 G01N33/543		
CPC分类号	A61K2039/505 A61P11/00 A61P11 C07K2317/565 C07K2317/732 C07		1P27/14 C07K16/2866 C07K2317/24 2333/78
FI分类号	C12N15/00.ZNA.A C07K16/28 C07 G01N33/574.D G01N33/577.B A61		
优先权	2000059508 2000-03-03 JP 2000401563 2000-12-28 JP		
其他公开文献	JPWO2001064754A1 JPWO2001064754A5		
外部链接	Espacenet		

# 摘要(译)

与人CCR4的胞外域特异性反应的重组抗体或其抗体片段; 编码重组抗体或其抗体片段的DNA; 生产重组抗体或其抗体片段的方法; 免疫学检测CCR4的方法,免疫学检测在细胞表面表达CCR4的细胞的方法,耗尽在细胞表面表达CCR4的细胞的方法和抑制 Th2细胞因子产生的方法,包括使用 重组抗体或其抗体片段; Th2介导的免疫疾病的治疗剂或诊断剂; 以及血液癌症的治疗剂或诊断剂。

	生存日数 (日)	平物植(日)	延命率 (%)
会性対照群	14/14/16/18/20	16.4	
NA2760 投与群	21/22/23/29/36	26,2	59,8